

Fusión de datos Geoespaciales: Revisión y estado actual



© Paul C. Smits & Paolo Gamba
Material cedido por NASA & ESA

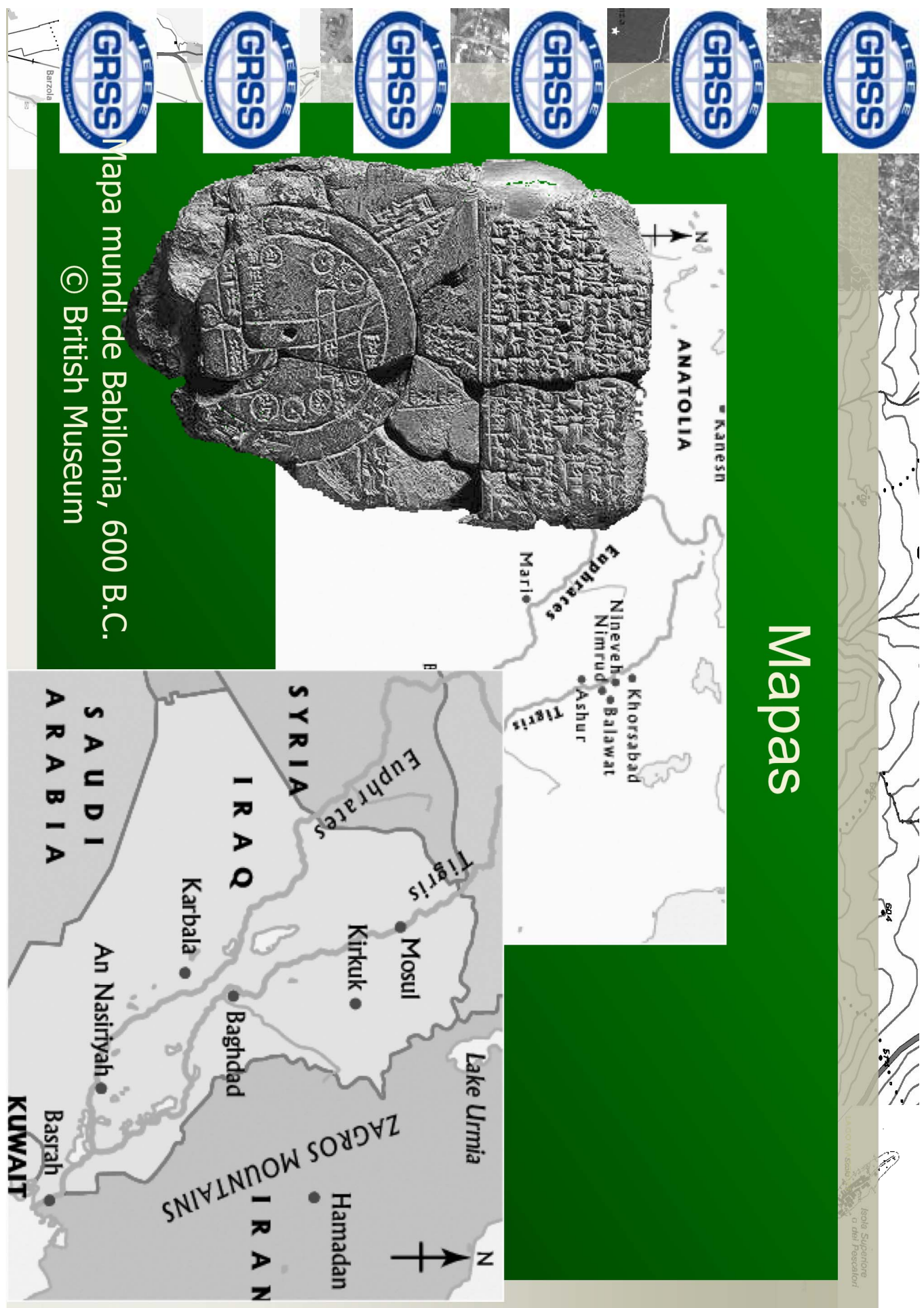
Acerca de la presentación

- La presentación esta principalmente basada en el trabajo de Paul C. Smits, Scientific Officer en la European Commission, Joint Research Centre, Institute for Environment and Sustainability, en Ispra (Varese), Italia
- Posteriormente cambiada y actualizada por Paolo Gamba, profesor asociado a la Universidad de Pavia, Italia
- Traducida al castellano por Francisco Nadales. Estudiante ERASMUS en el laboratorio de TLC y Remote Sensing de la Universidad de Pavia en 2006-2007.

Mapas

- Breve historia acerca de los mapas [26]
- 6200 B.C. – Disposición de Catal Huyuk, Centro-Sur de Turkia
- 600 B.C. – Esbozo de mapa mundial con Babilonia y el río Eufrates
- A.D. 21 – Augusto ordena hacer un mapa mundial basado en los trazados de las carreteras del Imperio Romano.
- 150 - Claudius Ptolemaeus reúne siglos de conocimientos geográficos en su libro *Geografía*.
- 1136 – Mapa de China y tierras extrangeras.

Mapas



Mapas

- La quizás, no tan corta historia de los mapas (continuación)

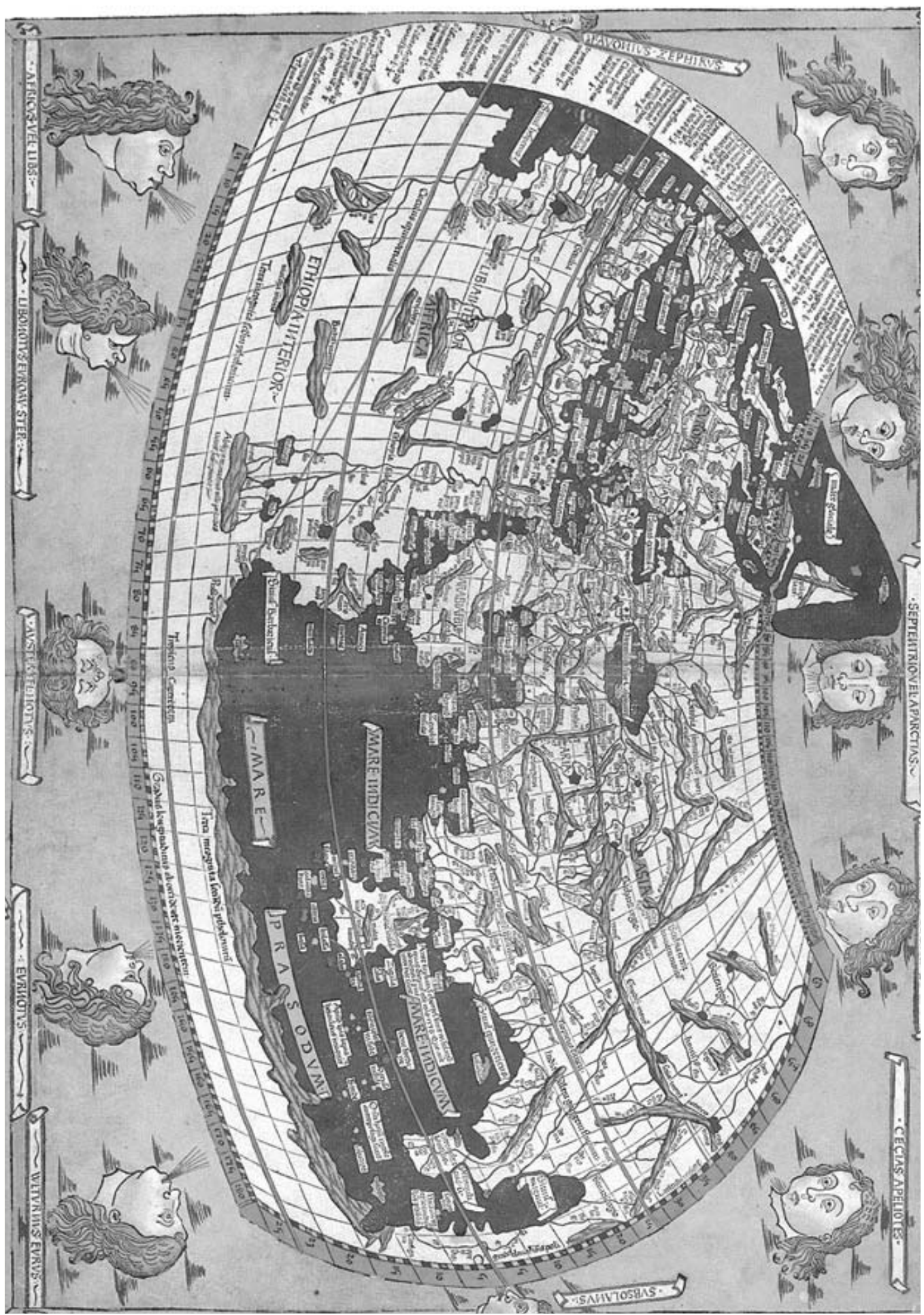


1482 – Mapa mundi basado en Ptolemy publicado en Ulm, Alemania

- 1858 - Gaspard-Félix Tournachon capturan la primera fotografía aérea
- 1950 – Primer mapa realizado con computador

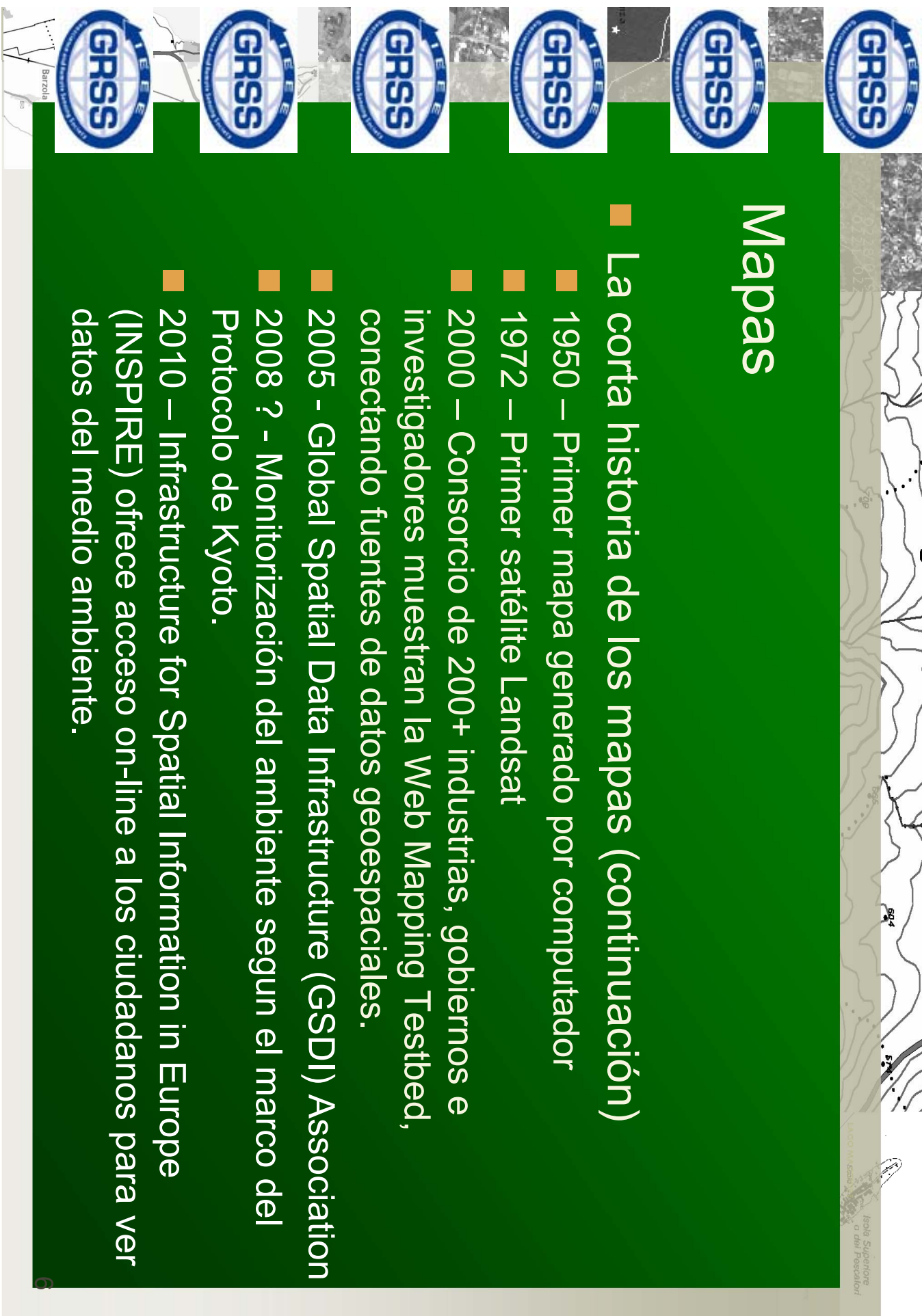
569 - Gerardus Mercator publica nueva proyección mundial.





Mapas

- La corta historia de los mapas (continuación)
- 1950 – Primer mapa generado por computador
- 1972 – Primer satélite Landsat
- 2000 – Consorcio de 200+ industrias, gobiernos e investigadores muestran la Web Mapping Testbed, conectando fuentes de datos geoespaciales.
- 2005 - Global Spatial Data Infrastructure (GSDI) Association
- 2008 ? - Monitorización del ambiente segun el marco del Protocolo de Kyoto.
- 2010 – Infrastructure for Spatial Information in Europe (INSPIRE) ofrece acceso on-line a los ciudadanos para ver datos del medio ambiente.





© OpenGIS Consortium Ltd

[Help](#)

Legend:

Susquehanna River orthophoto II

Streams

Schools
Hospitals
Churches

Streets

[Details](#) [Reset](#)

Selected Layers:

Data Stores: USLPP

Themes: DRAINAGE

Layers: Streams
Schools
Hospitals
Churches

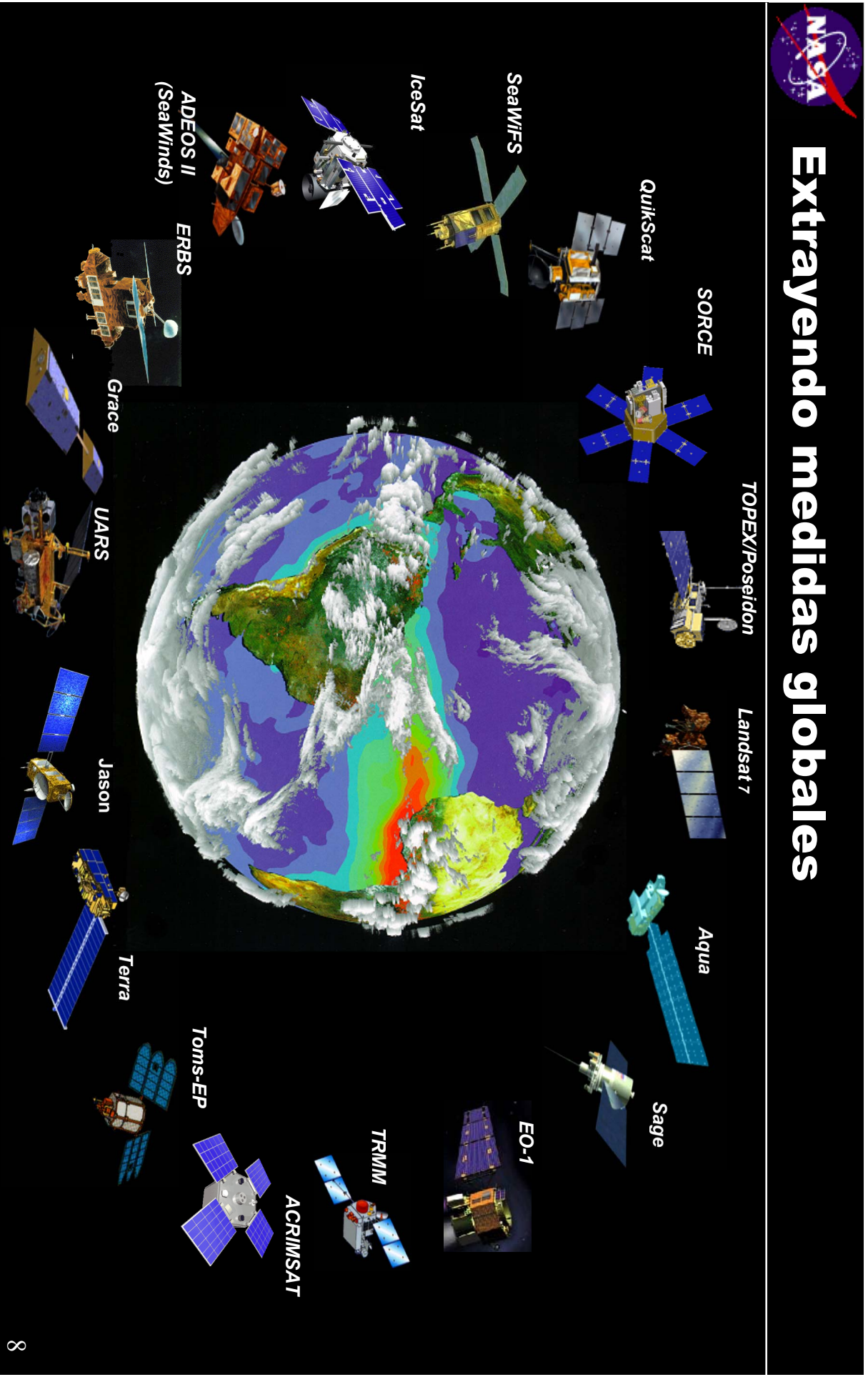
zoom in zoom out recenter query on: (none)

x=-75.8966, y=41.2403

Document: Done



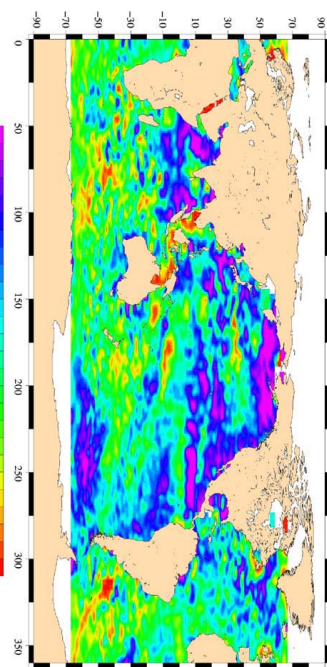
Extrayendo medidas globales





El resultado: Nuevos datos y conocimiento

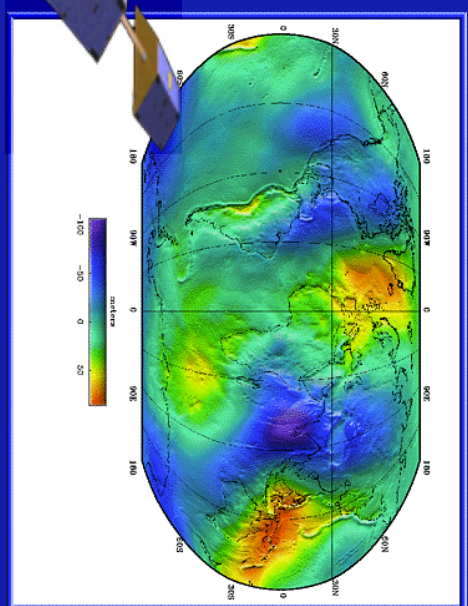
Period : 25/01/2002 – 04/02/2002



Jason



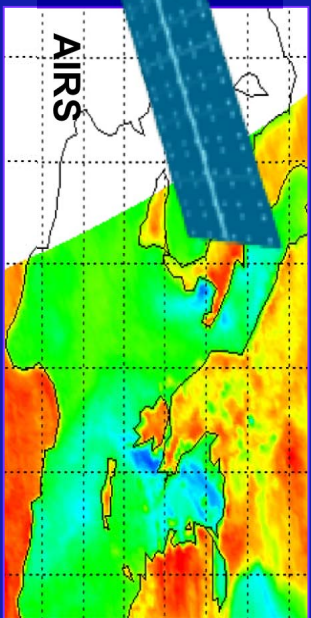
Grace



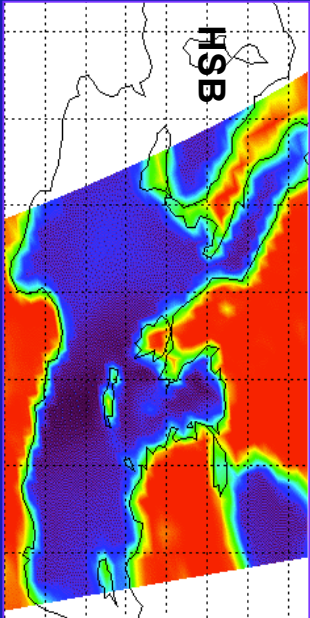
Aqua



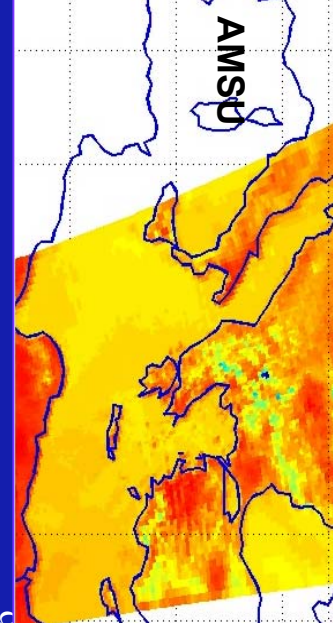
AIRS



HSB



AMSU

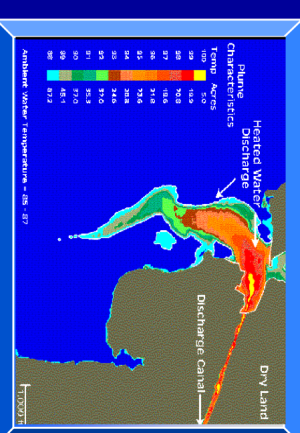
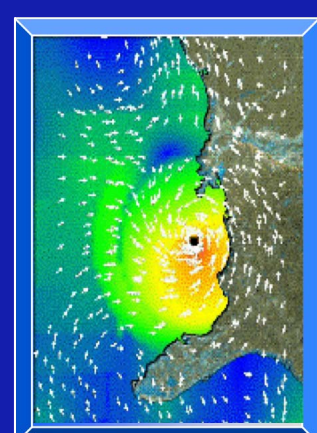
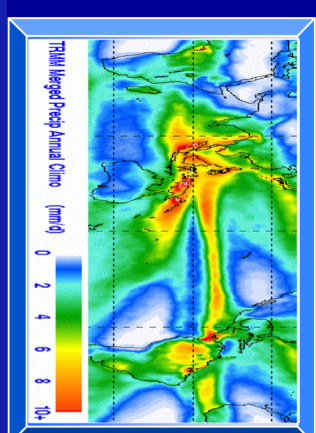
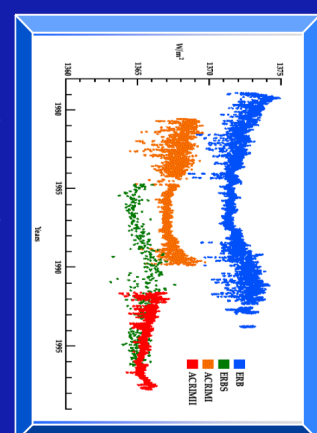
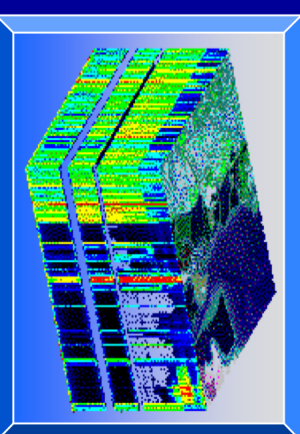
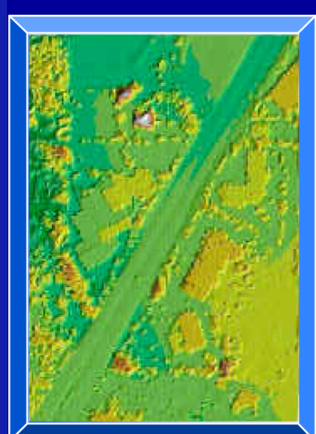
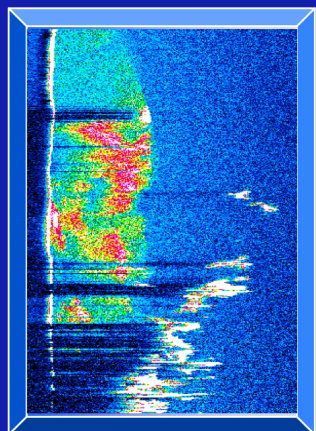
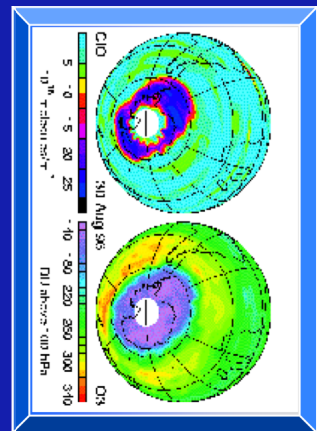


AIRS





Usos de las tecnologías de teledetección



Limb Sounding

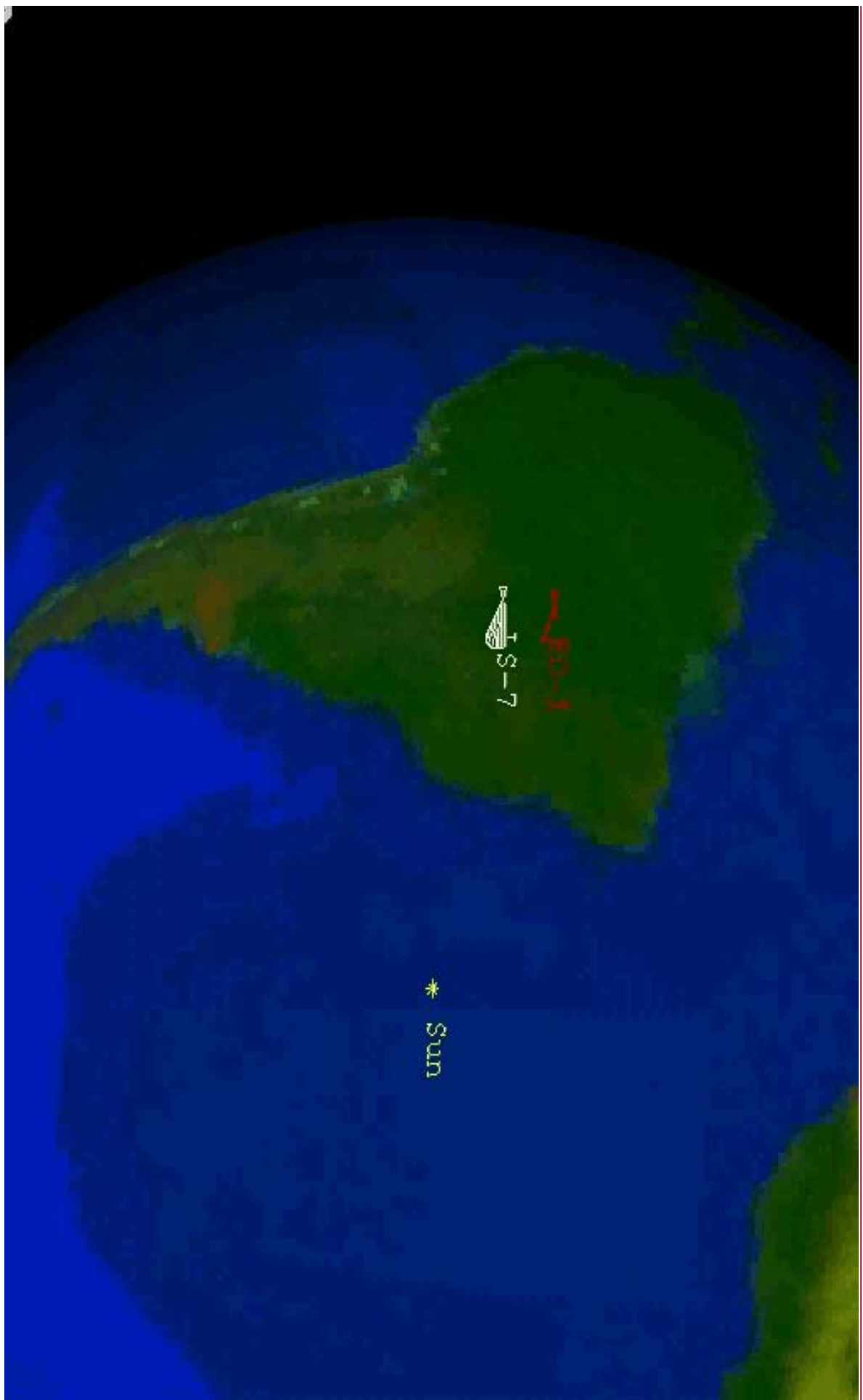
Microwave Ranging

Irradiance/Photometry

Scatterometry



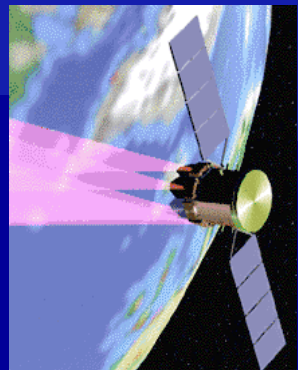
Satélites operativos en órbita





Desarrollo de la Tecnología

Aumento de capacidad →



Atmospheric Chemistry,
Clouds/Aerosols

Scanning H₂O DIAL

Direct CO₂

Multi-kHz
microlaser
altimeter
~cm 3D res.

UV DIAL
O₃ & trace
gases

Doppler Winds
(Direct Detection)

X2 lifetime
>efficiency
<mass, cost

P-C
clouds & aerosols
H/V res.
250 m/30 m

0.1 - 0.5 m
hgt. res.

3 J @ 355 nm
10 m ø telescope
50% eff det.

ICESAT
100mJ, 40Hz
.8 m optics
<1m hgt. res.
300 mJ @ 355 nm
1 m ø telescope
25% eff. det.

Doppler Winds
(Coherent Detection)

NPOESS
1 J, 12.5 Hz
.75 - 1 m
optics

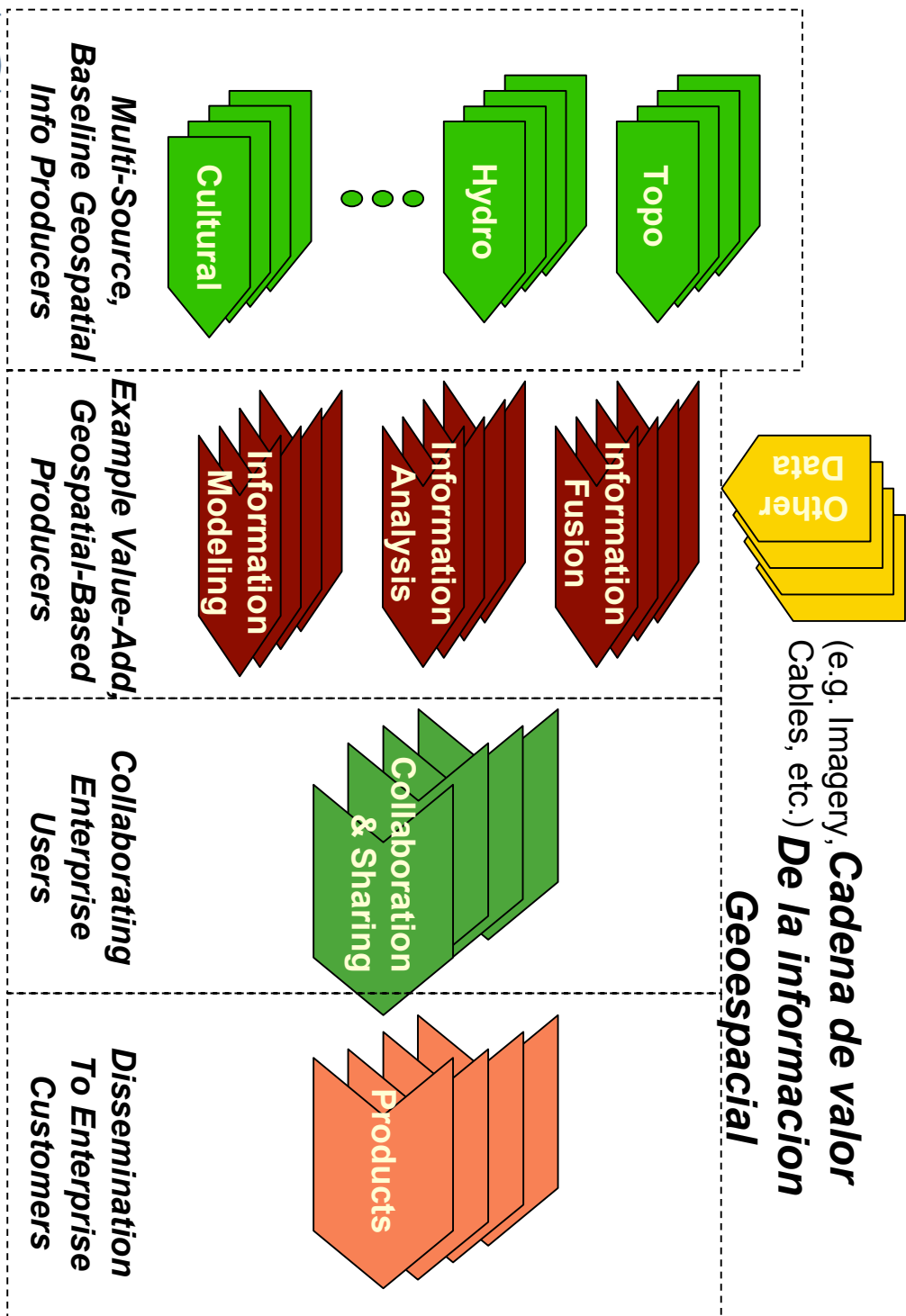
2000 2007 2015
Tiempo →



What has mapping to do with data fusion?

- Historicamente los mapas daban informacion de dirección y permitian la navegación
 - Acceso a valiosos medios
 - Vencer en batallas militares
 - Descubrir nuevos territorios
- Un mapa es una generalización de la realidad, una aproximación subjetiva
- Ahora, los mapas dan información espacial y temporal
 - Planificación de ciudades (espacio como medio de información)
 - Decisión ambiental (naturaleza intacta como medio)
- La Fusion de Datos Geoespaciales inherits los objetivos funcionales y las propiedades del desarrollo de mapas.

Cadena de valor de la información Geoespacial



Las partes de la fusión de datos geoespaciales

Objetivos de la
presentación

Personas

Software

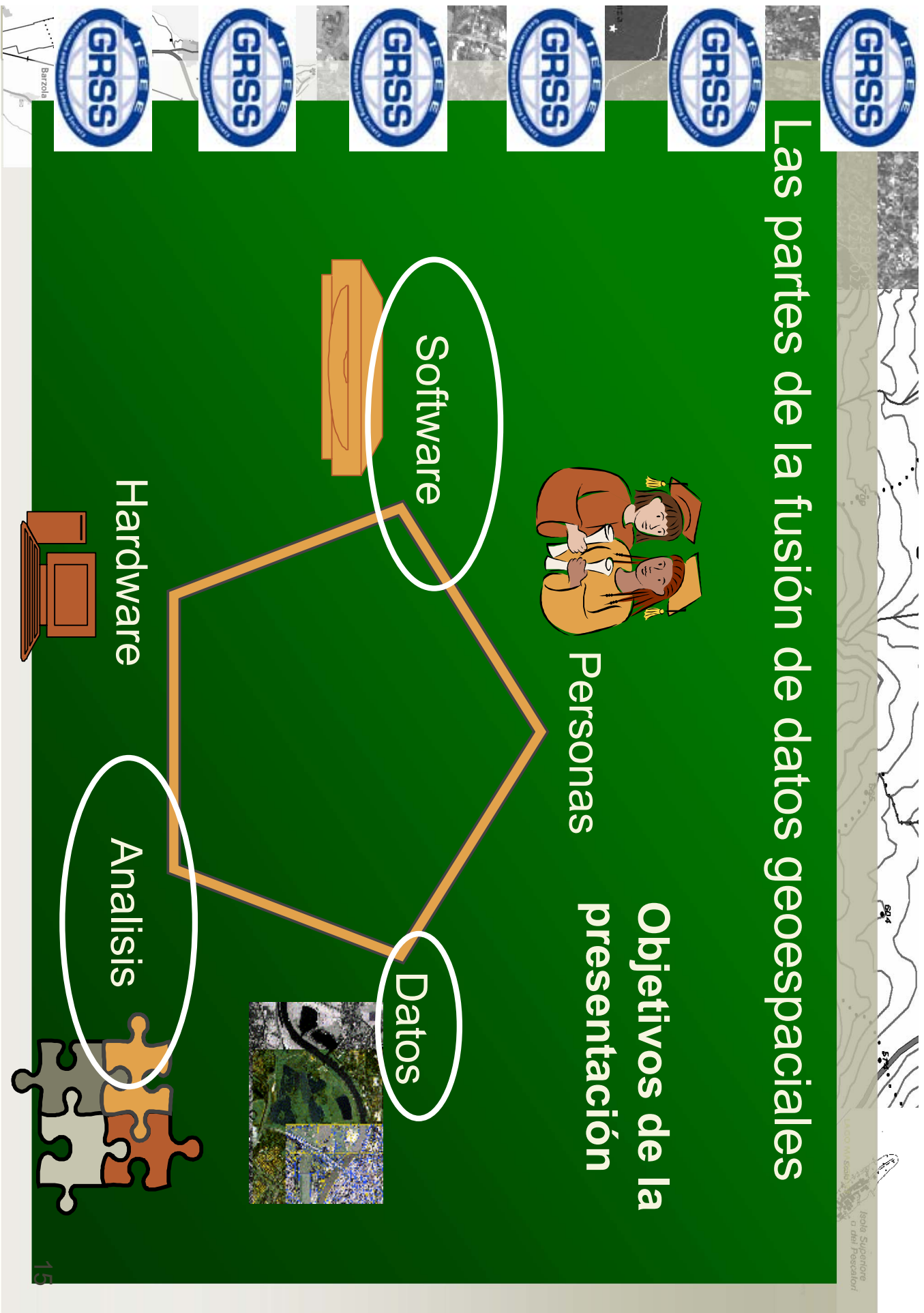
Datos

Hardware

Análisis



15

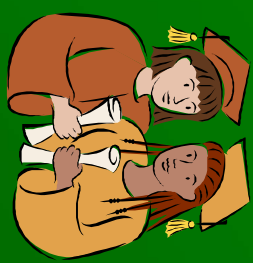


Objetivos de la presentación

- Parte 1: Teoría de la Fusión de Datos Geoespaciales
 - Dar una visión general de los puntos clave en Fusión de Datos
 - Explicar los conceptos importantes en técnicas de Fusión de Datos
 - Dar o mejorar el uso de técnicas de Fusión de Datos Geoespaciales
- Parte 2: Interoperatividad geoespacial
 - Familiarizarnos en el concepto de interoperatividad en el campo de información geográfica / geomatics
 - Ser capaces de hacer elecciones de sistemas y opciones
 - Servir como enlace a otros materiales

Las partes de la Fusión de Datos Geoespaciales

Parte 1

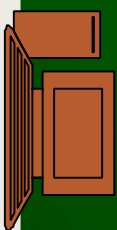


Personas

Software



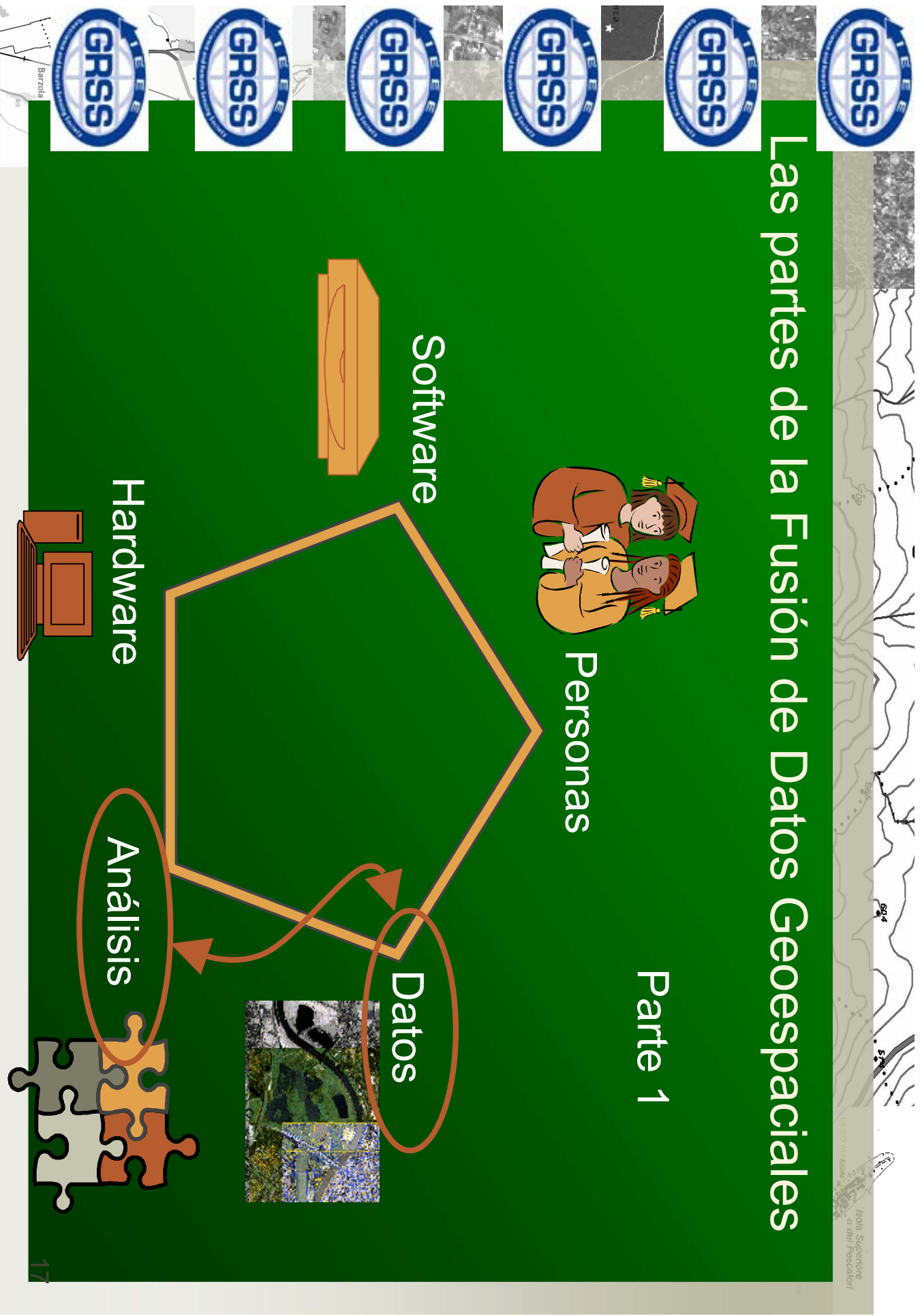
Hardware



Análisis



Datos

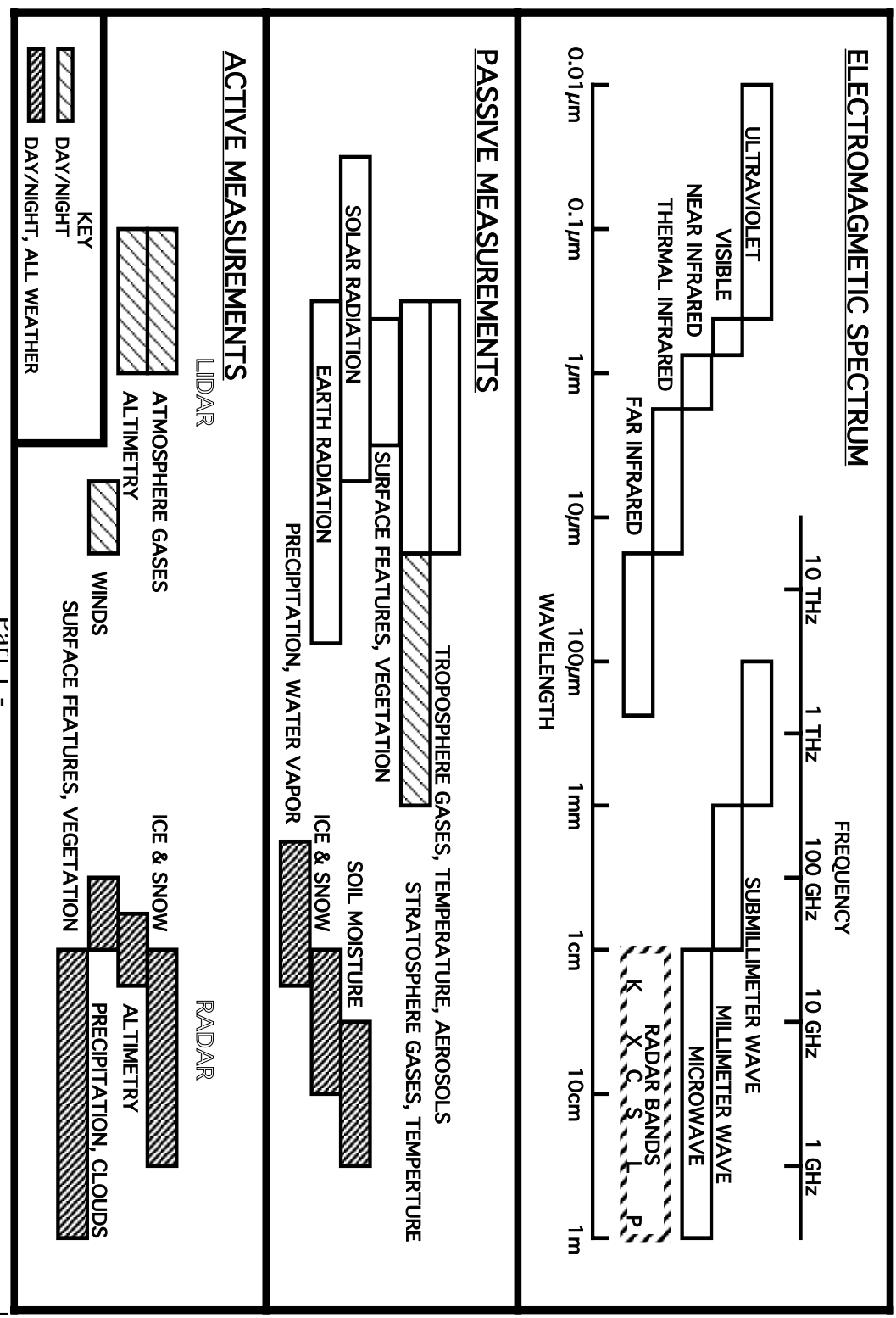


Índice parte 1

- Introducción
- ¿Qué es la fusión de datos geoespaciales?
- Condiciones necesarias para la fusión de datos
- Fusión de datos de bajo nivel
- Nivel de fusión de características
- Nivel de decisión de fusión de datos
- Modelado
- Conclusiones

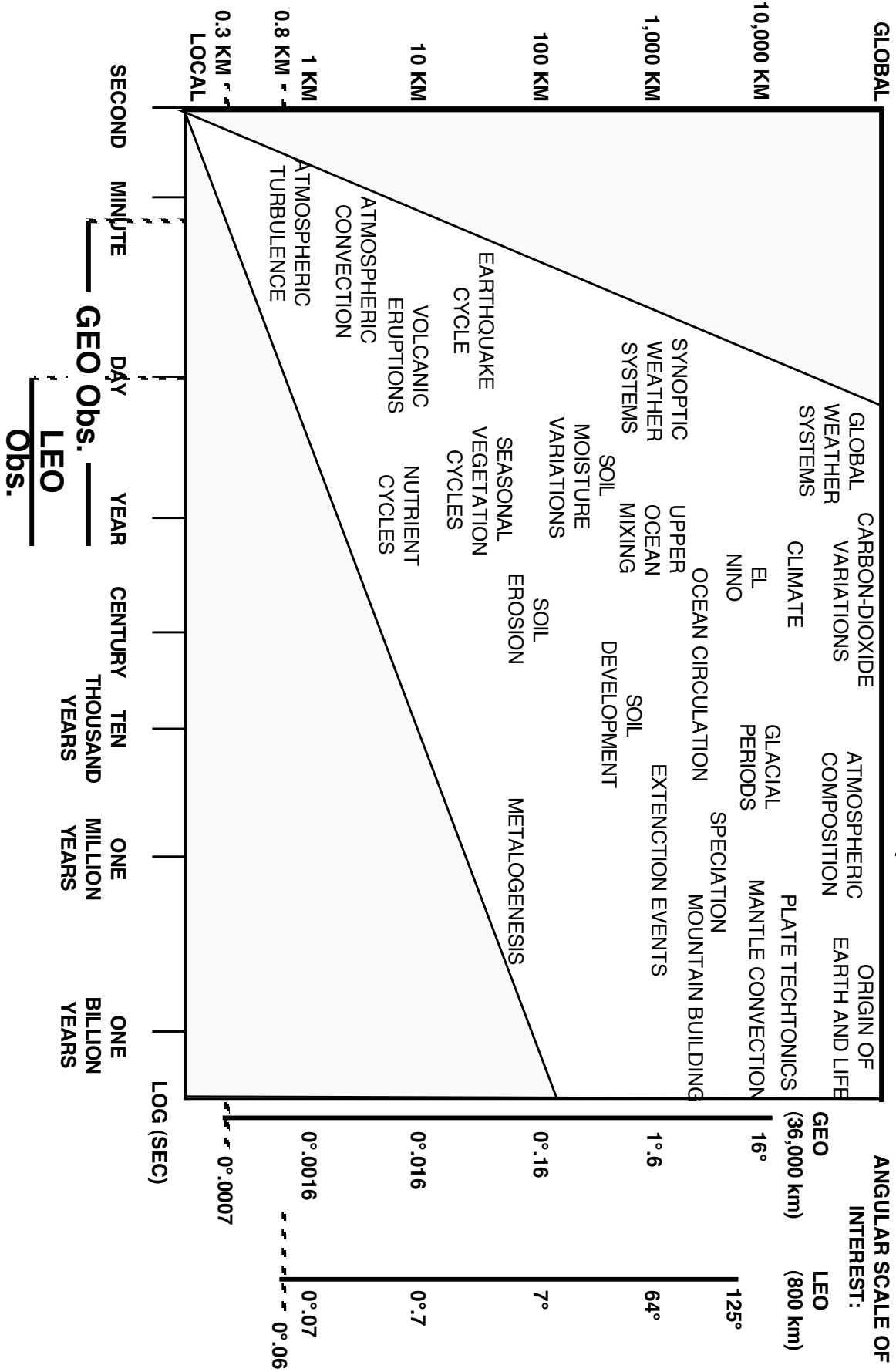


Especro & Regimenes de medidas





Características Espaciales y Escalas

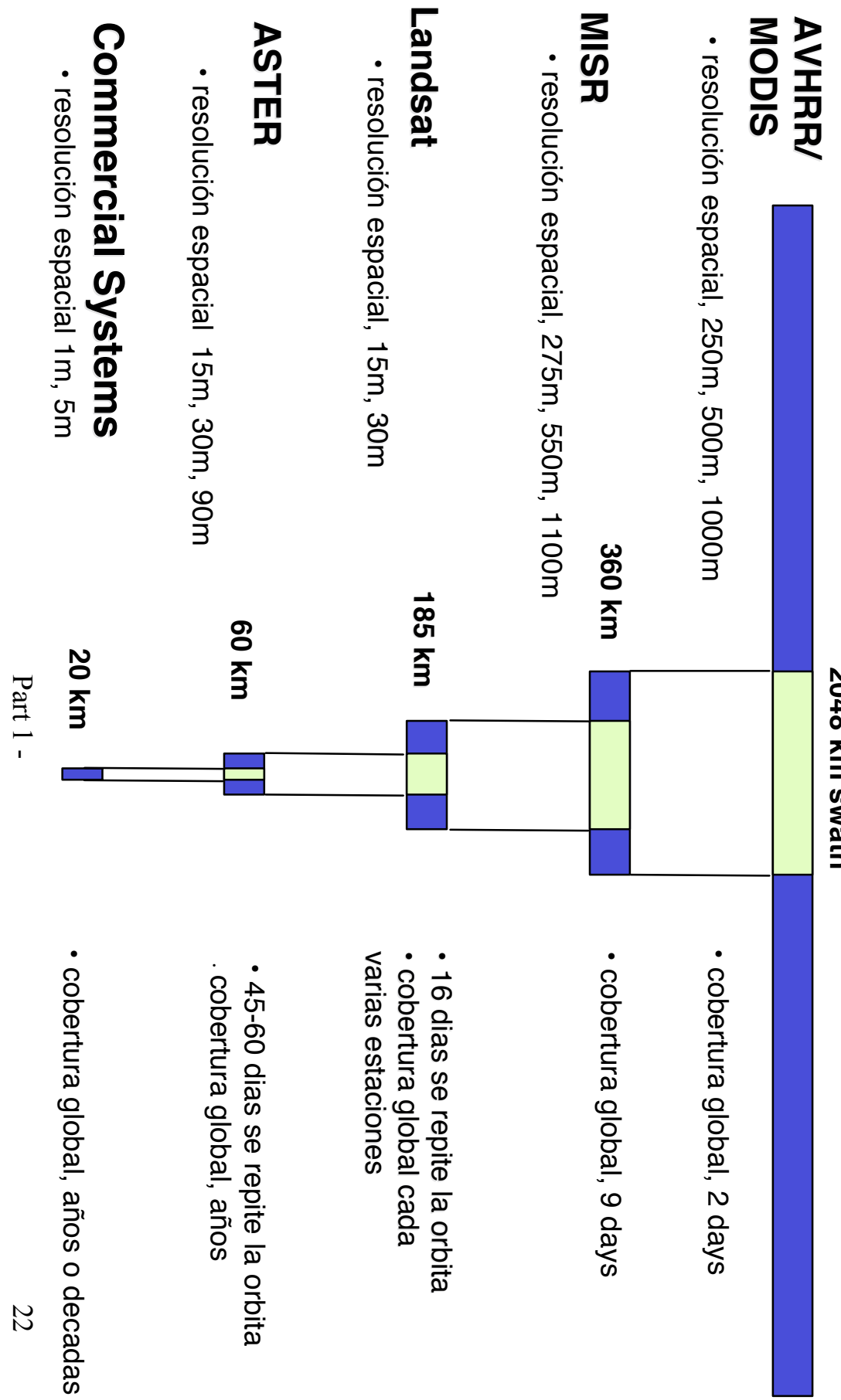


Introducción

- Los sensores de imágenes están diseñados con variables enfrentadas.
- Ej: compromiso entre resolución espacial y relación señal a ruido
- Por la naturaleza de cada sensor, tiene límites físicos relativos a longitud de onda y margen dinámico.
- Normalmente los sensores miden fenómenos para los cuales no están optimizados.
 - Los científicos no tienen la posibilidad de diseñar el sensor o en su defecto de elegirlo.



Sistemas de observación de la Tierra Espacio-Tiempo





Misiones de medidas de la Tierra

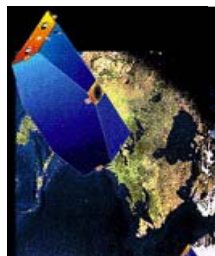
Spaceborne Measurement Systems



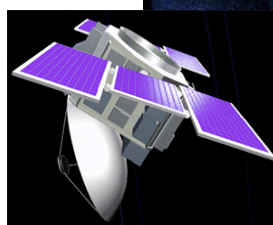
Terra



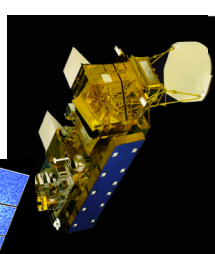
SeaWinds



GRACE



Cloudsat



Aqua



Jason-1



Aura



ICESat

Airborne & In Situ Measurement Systems



AVIRIS



MAMS



MASTER



AERONET



GTE/TRACE-P



MOBY



STARLink



AOCI

Introducción

- Metodos y algoritmos necesarios para conseguir la mayoría de los datos disponibles
- Combinando datos de diferentes tipos de sensores puede ayudar a mejorar la caracterización del fenómeno
- Fusión de datos: marco para abordarlo

Introducción

■ Aplicaciones militares

- Reconocimiento automático de objetivos
- Dirección para vehículos autónomos
- Teledetección
- Vigilancia del campo de batalla
- Sistemas de reconocimiento automático de amenazas

Introducción

■ Aplicaciones civiles

- Monitorización de procesos industriales
- Mantenimiento de maquinaria
- Robotica
- Aplicaciones medicas
- Agricultura
- Medio ambiente
- Teledetección & GIS

Introducción

- Técnicas
 - Procesamiento digital de señal
 - Estimación estadística
 - Reconocimiento de modelos
 - Teoría de control
 - Inteligencia artificial
 - Métodos numéricos
- Es necesario un objetivo...

Introducción

- Objetivos de la primera parte
- Técnicas de fusión de datos geoespaciales para extracción de datos de imágenes teledetectadas
- Visión general, explicación de algunos métodos
- Un poco de Inteligencia Artificial
- Mayor atención a reconocimiento de patrones y modelado

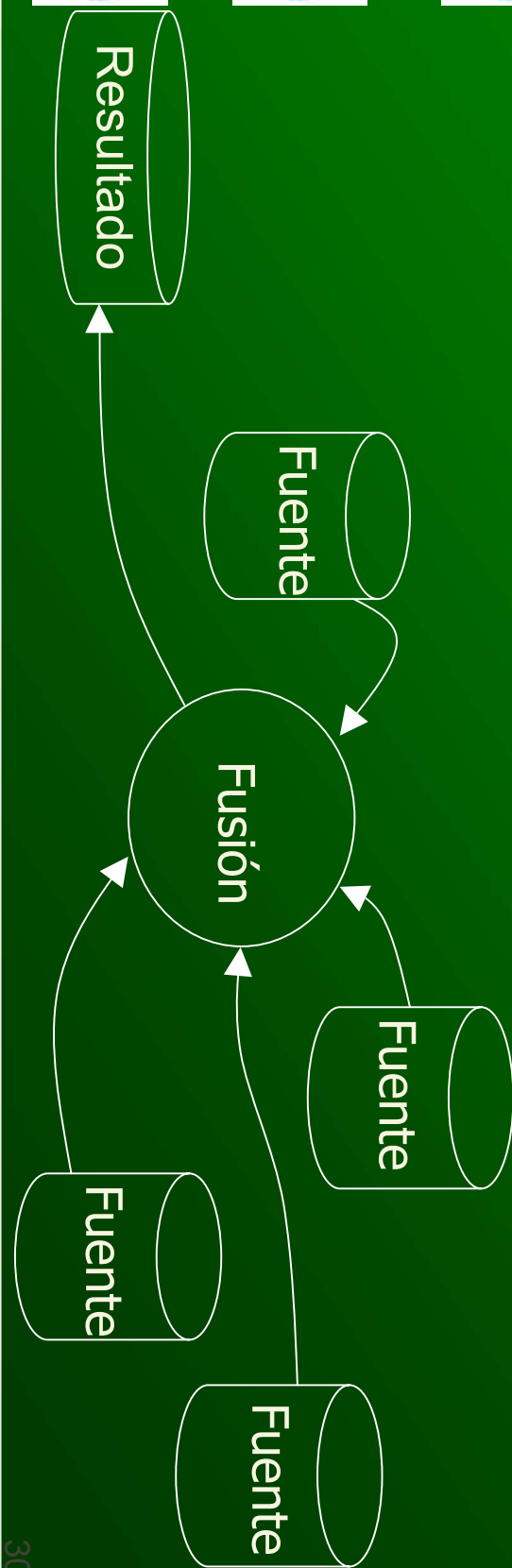
Índice parte 1

- Introducción
- ¿Qué es la fusión de datos geoespaciales?
- **Condiciones necesarias para la fusión de datos**
- Bajo nivel de fusión de datos
- Nivel de fusión de características
- Nivel de decisión de fusión de datos
- Modelado
- Conclusiones

¿Qué es la fusión de datos geoespaciales?

- Terminos relacionados con la fusión de datos

- (Teledetección) fusión de imágenes
- Combinación de datos, integración
- Fusión de datos , multi-sensor
- Fusión de información
- Alcance de la información



¿Qué es la fusión de datos geoespaciales?

- Fusion de datos geoespaciales, fusión de datos teledetectados
- Datos obtenidos de diferentes sensores
 - Imágenes
 - Puntos de datos
 - Interpretación de datos
- Obteniendo una estimación mejorada de un fenómeno físico a partir de repetidas observaciones
- El uso de múltiples tipos de sensores puede aumentar el ajuste con el cual una cantidad puede ser observada y caracterizada.

¿Qué es la fusión de datos geoespaciales?

- Definición de fusión de datos geoespaciales (L. Wald, [1])
- La fusión de datos es un marco de trabajo que define los significados y herramientas para la unión de datos originados por diferentes fuentes.
- El objetivo es el de obtener información de “mayor calidad”; la definición de “mayor calidad” depende de la aplicación

¿Qué es la fusión de datos geoespaciales?

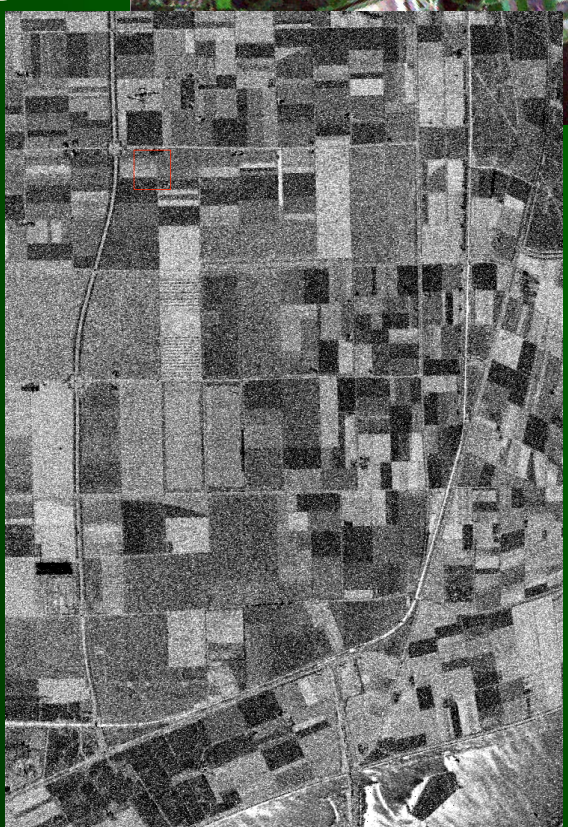
- La definición de Wald pone énfasis en:
 - La fusión de datos como marco de trabajo conceptual
 - Subrayando los fundamentos en teledetección
 - Calidad referida al usuario y la aplicación
- La fusión de datos geoespaciales tiene implícito el objetivo de la aplicación

¿Qué es la fusión de datos geoespaciales?

- En la presentación tendremos dos situaciones:
- Fusión de datos de imágenes (parámetros físicos)



Landsat 7 ETM+,
Distribution Eurimage



AIRSAR, NASA/JPL

¿Qué es la fusión de datos geoespaciales?

Fusión de datos



Barzolla
E2
Isola Superiore
a del Pescatore

Fusión de medidas estructuradas
(e.g., fusión de imágenes)

Fusión de datos de imágenes y
Datos semánticos en un GIS

Fusión de datos Geoespaciales

Nivel de fusión de datos de características
Nivel de fusión de decisión
Modelado de procesos

Fusión en dominio espacial

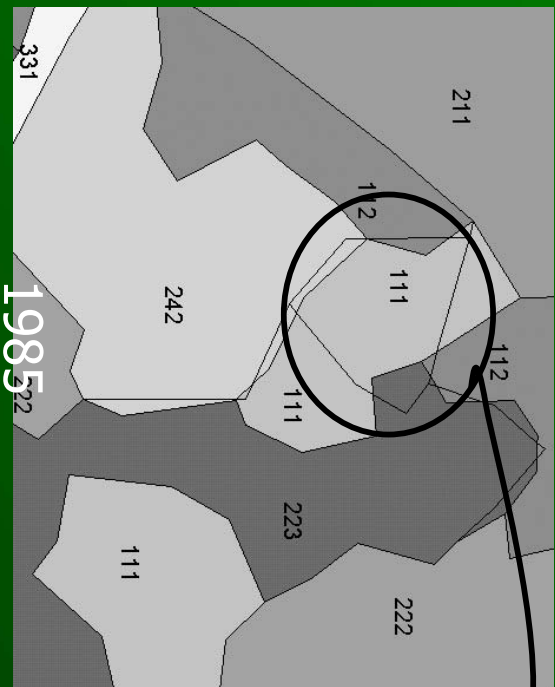
Fusión en dominio escala-espacio

Fusión en dominio espacial

Fusión de clasificadores Selección de clasificador

¿Qué es la fusión de datos geoespaciales?

- En la presentación tendremos dos situaciones:
 - Fusión de datos de imágenes (parámetros físicos)
 - Fusión de datos de sensores de imágenes y otros datos



GIS (polygon/vector) + image data

¿Qué es la fusión de datos geoespaciales?

Fusión de datos



Fusión de datos Geoespaciales

Fusión de medidas estructuradas
(e.g., fusión de imágenes)

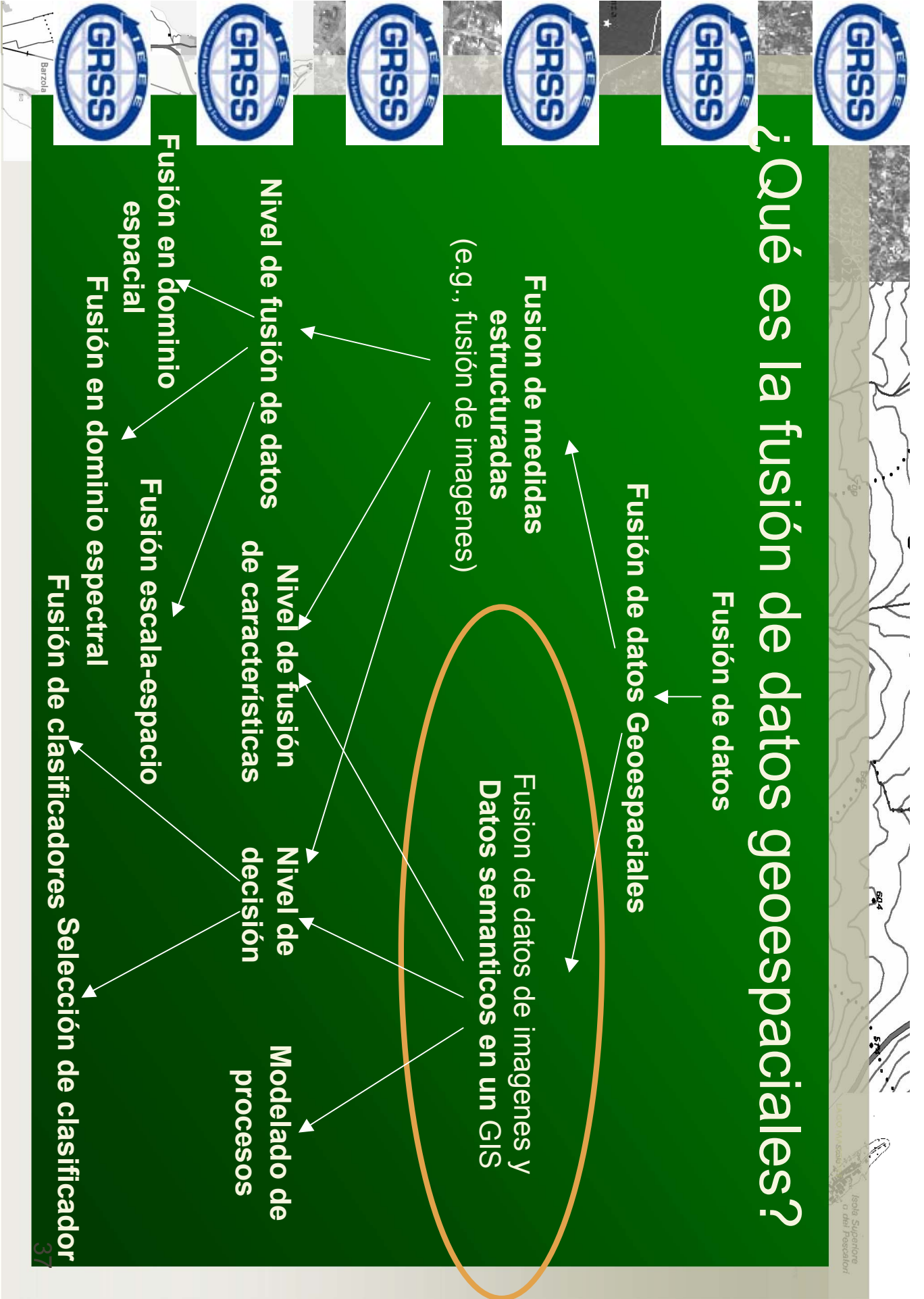
Fusión de datos de imágenes y
Datos semánticos en un GIS

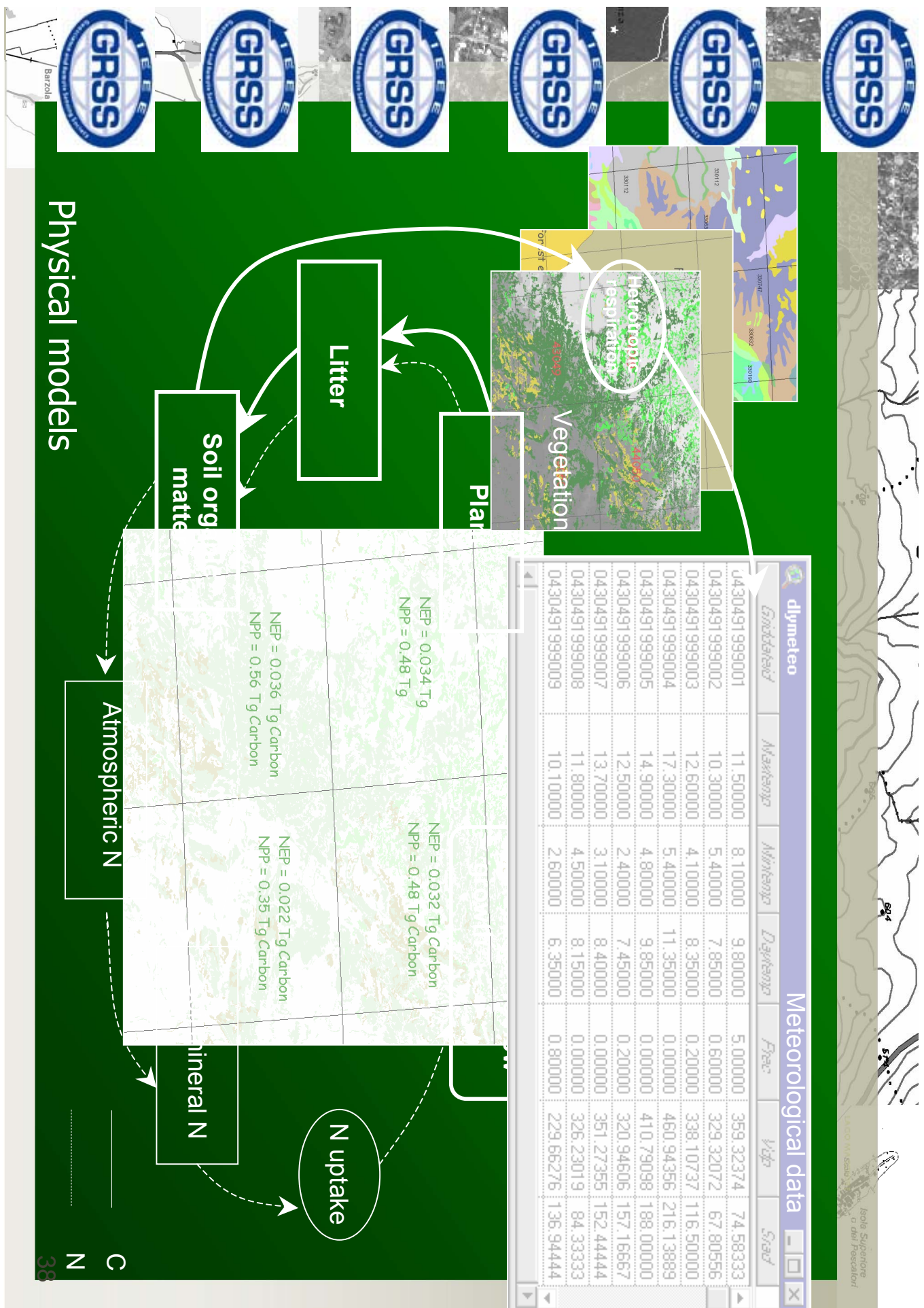
Nivel de fusión de datos de características
Nivel de fusión de decisión
Modelado de procesos

Fusión en dominio espacial

Fusión escala-espacio

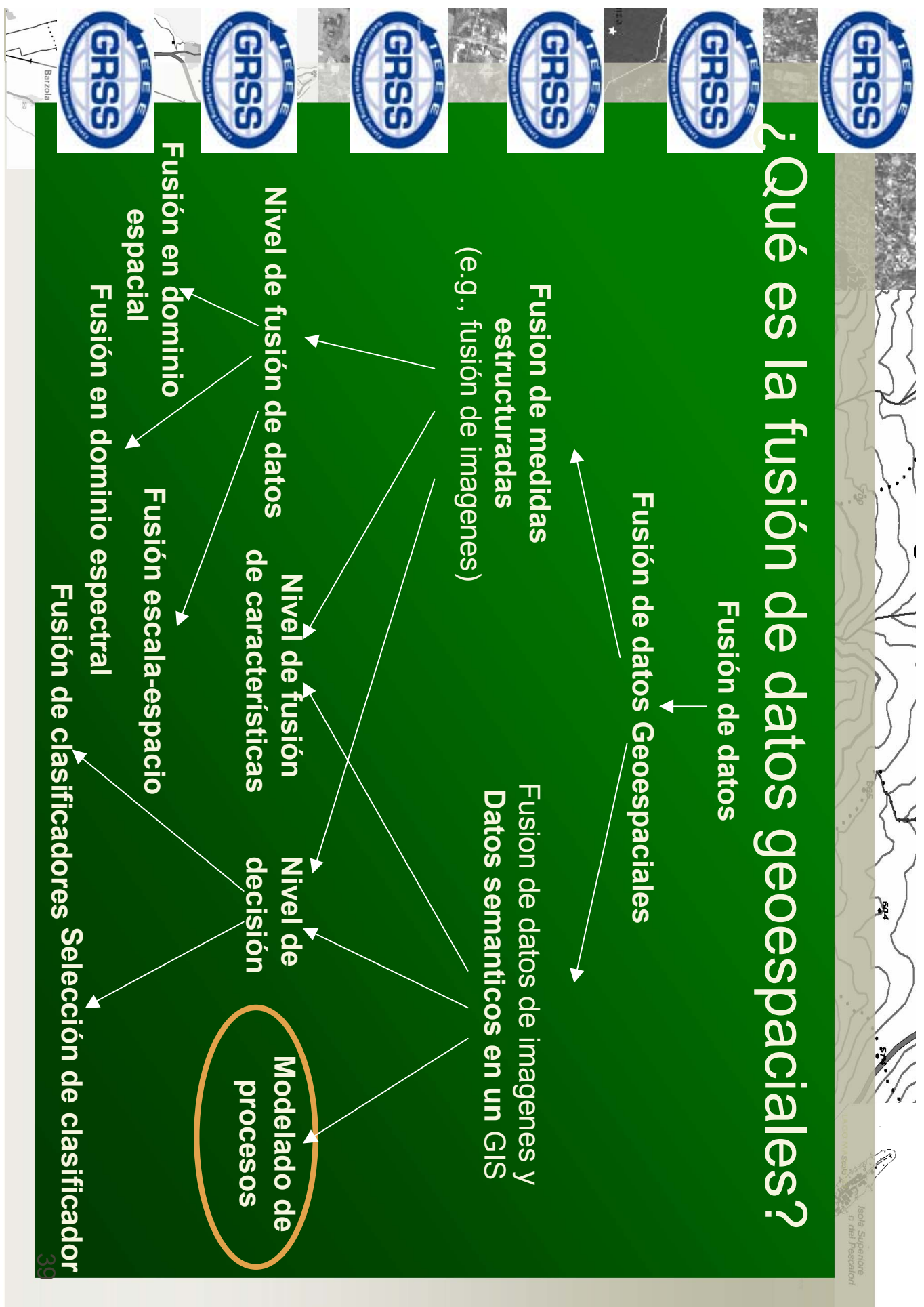
Fusión en dominio espectral
Fusión de clasificadores Selección de clasificador





Physical models

¿Qué es la fusión de datos geoespaciales?



¿Qué es la fusión de datos geoespaciales?

- En la presentación tendremos dos situaciones:
 - Fusión de datos de imágenes (parámetros físicos)
 - Fusión de datos de sensores de imágenes y otros datos
 - Mapas topográficos
 - Coordenadas GPS
 - Bases de datos de terreno
 - Información geofísica
 - Etc.

“alto nivel” de formato de datos

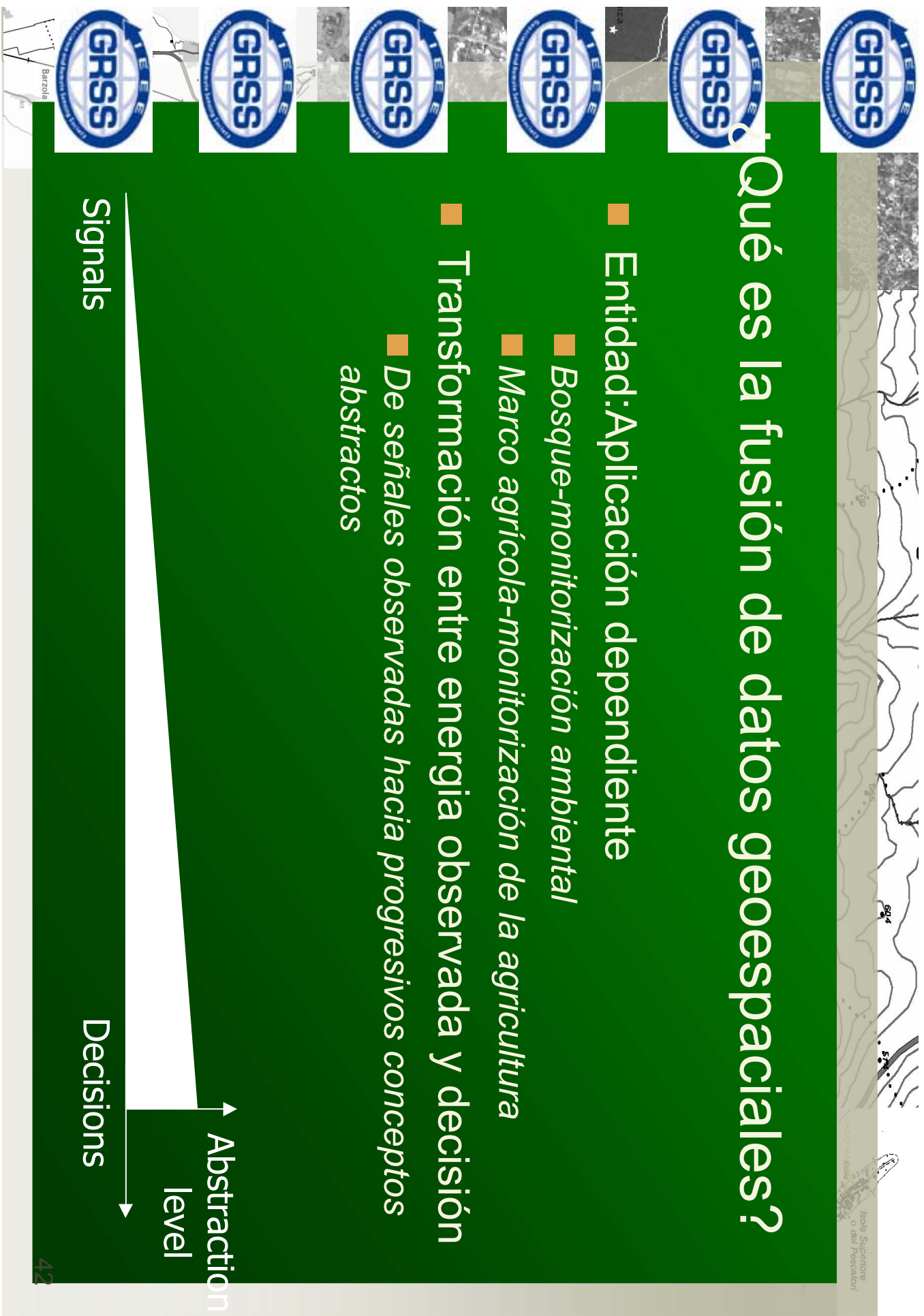
Fusión, modelado:
Integración semántica

¿Qué es la fusión de datos geoespaciales?

- Caracterización fundamental de la fusión de datos:
- Transformación jerárquica entre energía o parámetros observados y una decisión o inferencia considerando la localización, características y la identidad de una entidad
- Una interpretación de la entidad observada en el contexto de un medio y relaciones con otras entidades

¿Qué es la fusión de datos geoespaciales?

- Entidad: Aplicación dependiente
 - Bosque-monitorización ambiental
 - Marco agrícola-monitorización de la agricultura
- Transformación entre energía observada y decisión
 - De señales observadas hacia progresivos conceptos abstractos



¿Qué es la fusión de datos geoespaciales?

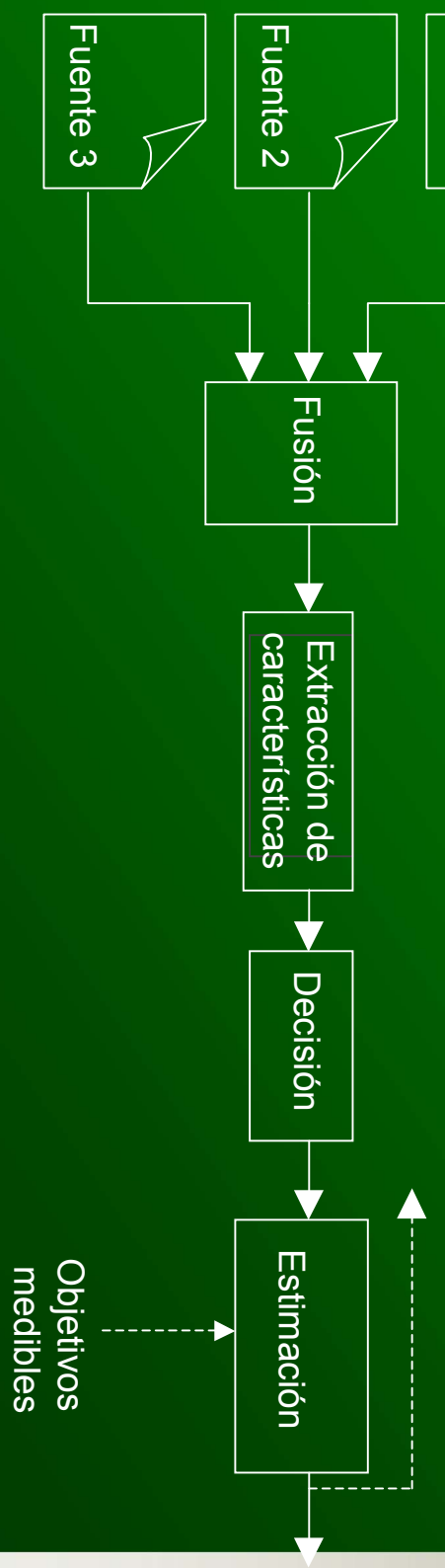
- Estimación de identidad de entidad
- De momento por patrones de reconocimiento
- Redes neuronales
- Inferencia Bayesiana
- Teoría Dempster-Shafer
- Técnicas Fuzzy
- Múltiples clasificadores

¿Qué es la fusión de datos geoespaciales?

- Comportamiento de la entidad
 - Razonamiento automático basado en información implícita y explícita
 - Métodos basados en conocimientos (e.g.,sistemas de razonamiento basados en reglas)
-
- Tipología de técnicas de fusión
 - Nivel de fusión de datos Raw
 - Nivel de fusión de vectores de características o estados
 - Nivel de decisión
 - Modelado

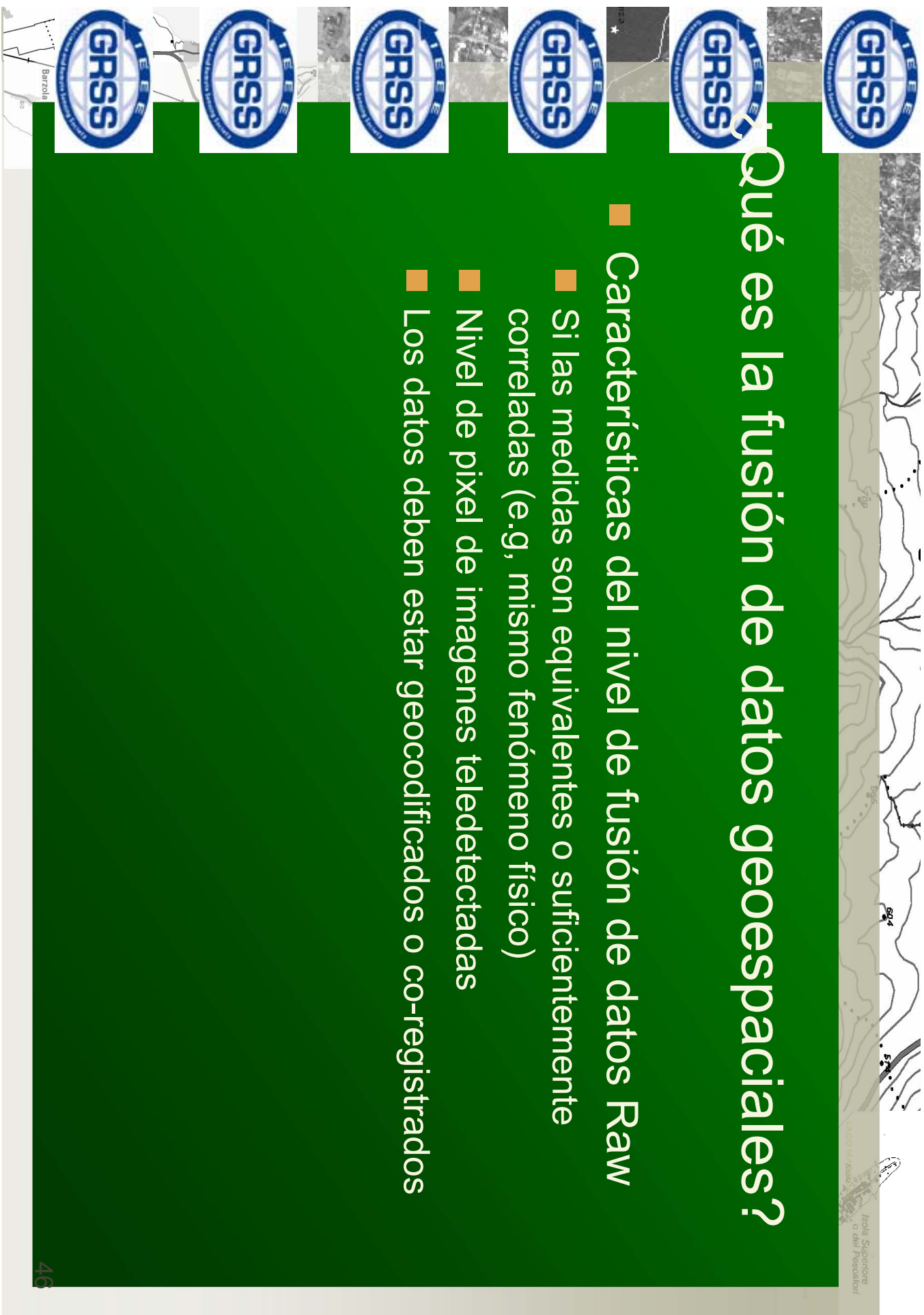
Qué es la fusión de datos geoespaciales?

Nivel de fusión de datos Raw



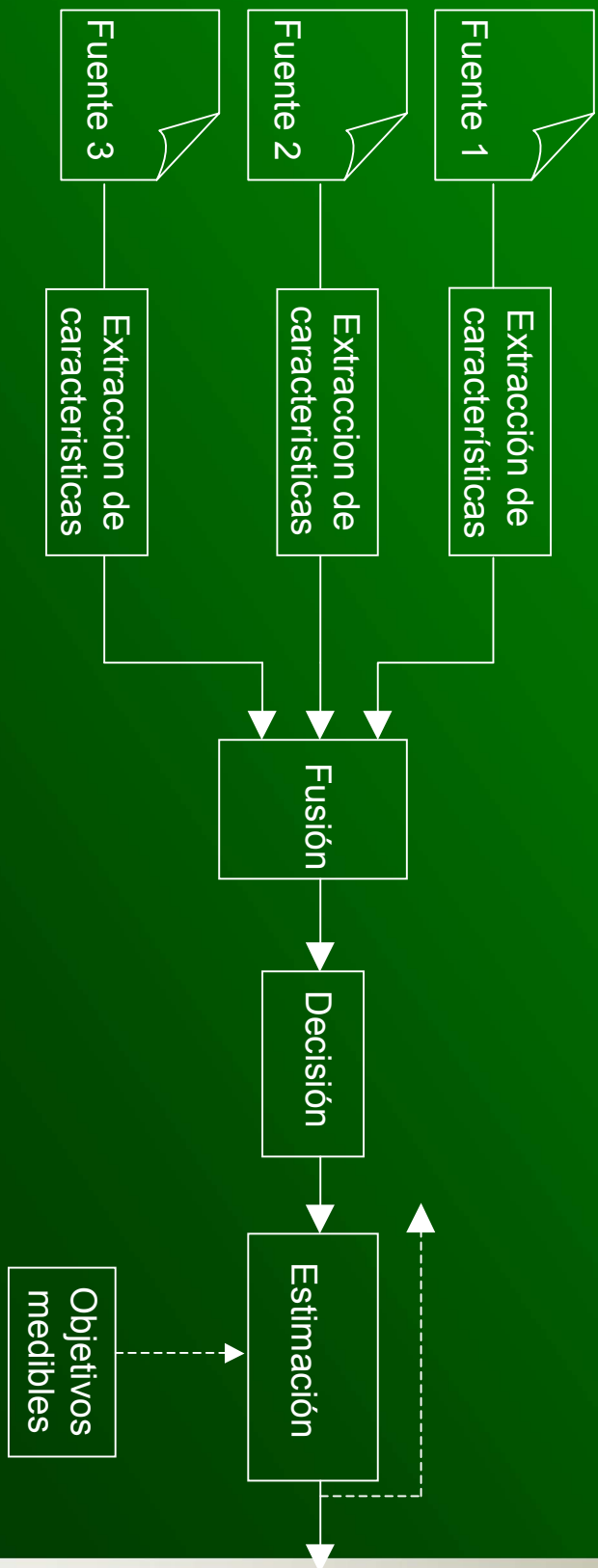
¿Qué es la fusión de datos geoespaciales?

- Características del nivel de fusión de datos Raw
- Si las medidas son equivalentes o suficientemente correladas (e.g, mismo fenómeno físico)
- Nivel de pixel de imágenes teledetectadas
- Los datos deben estar geocodificados o co-registrados



¿Qué es la fusión de datos geoespaciales?

Nivel de fusión de características

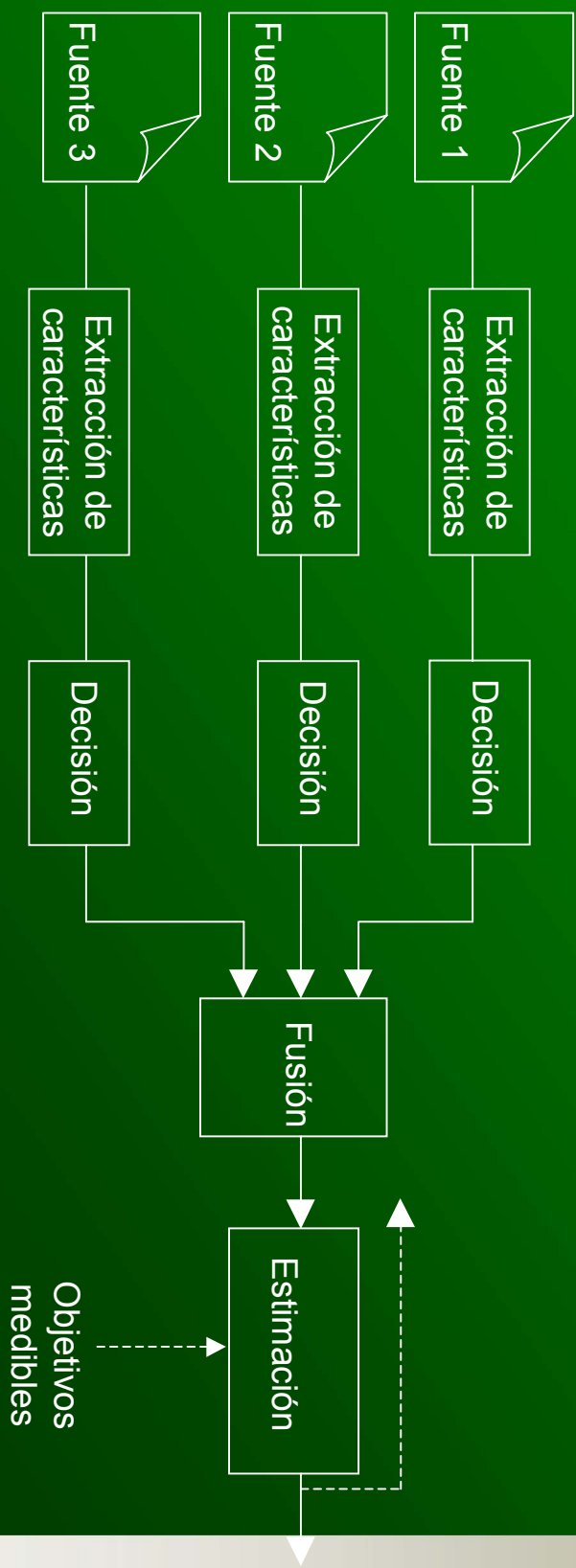


¿Qué es la fusión de datos geoespaciales?

- Características del nivel de fusión de características
- Requiere la extracción de las características representativas y la definición de funciones discriminantes
- *Directamente de los datos*
- *De los objetos extraídos (e.g., Despues de una segmentación de la imagen)*

Qué es la fusión de datos geoespaciales?

Nivel de decisión

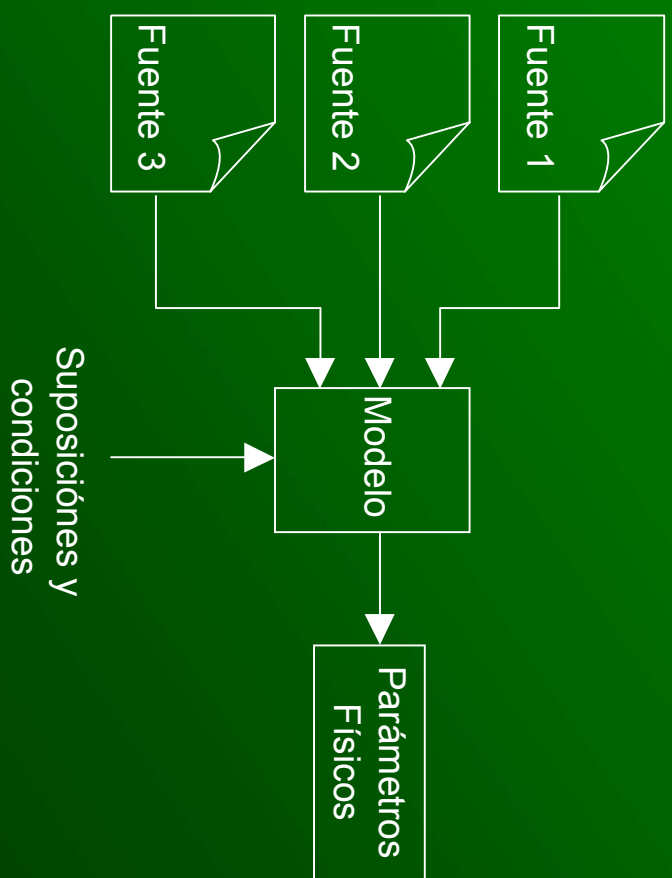


¿Qué es la fusión de datos geoespaciales?

- Características del nivel de fusión de decisión
- Esta basado en determinaciones preliminares de los atributos de las entidades
- La información es extraída de una única información
 - ...y combinada para obtener un mejor conocimiento de los objetos observados
- Muchas aproximaciones basadas en GIS pueden considerarse nivel de fusión de decisión

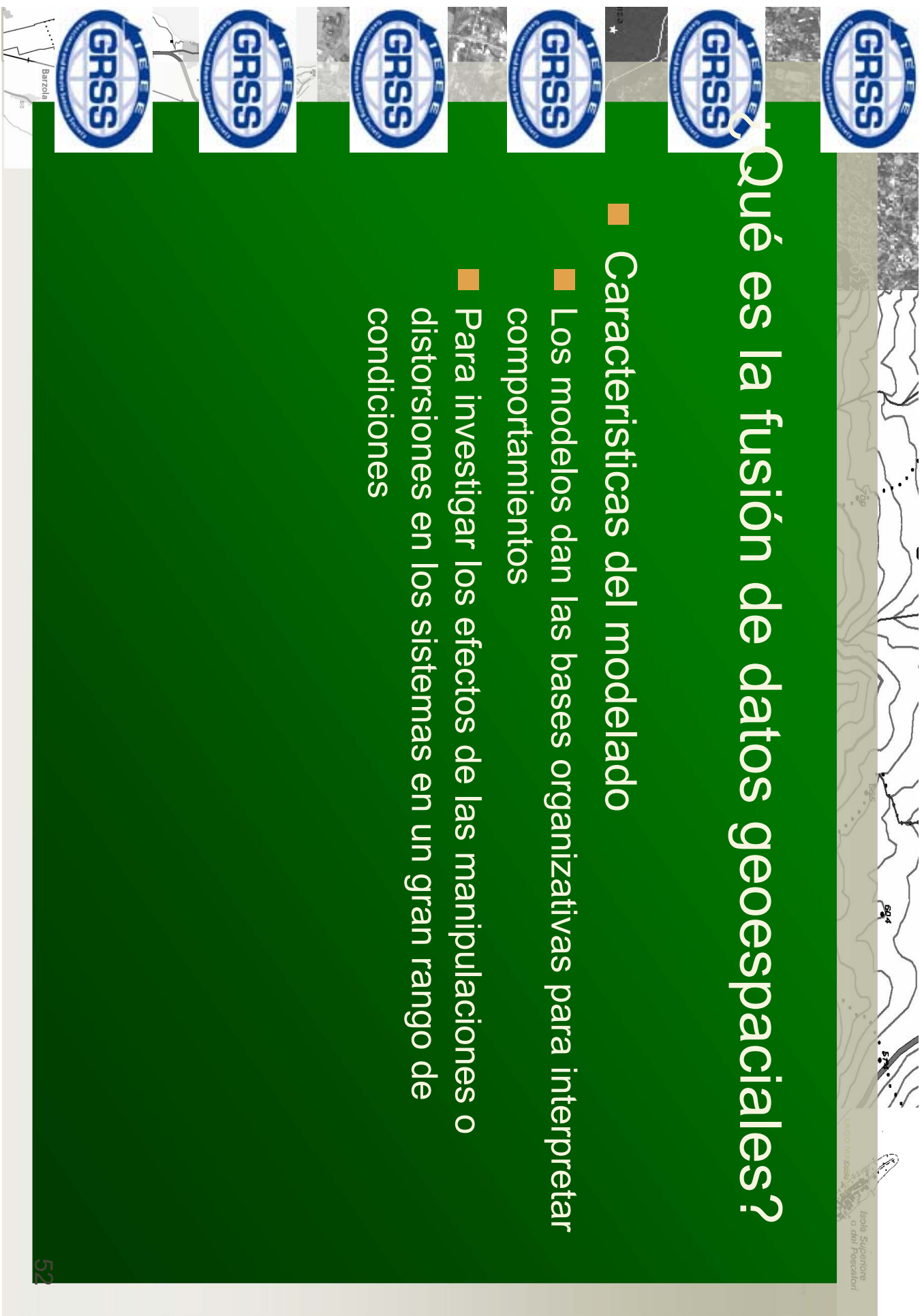
¿Qué es la fusión de datos geoespaciales?

Modelado



¿Qué es la fusión de datos geoespaciales?

- Características del modelado
- Los modelos dan las bases organizativas para interpretar comportamientos
- Para investigar los efectos de las manipulaciones o distorsiones en los sistemas en un gran rango de condiciones



Tiempo de preguntas...

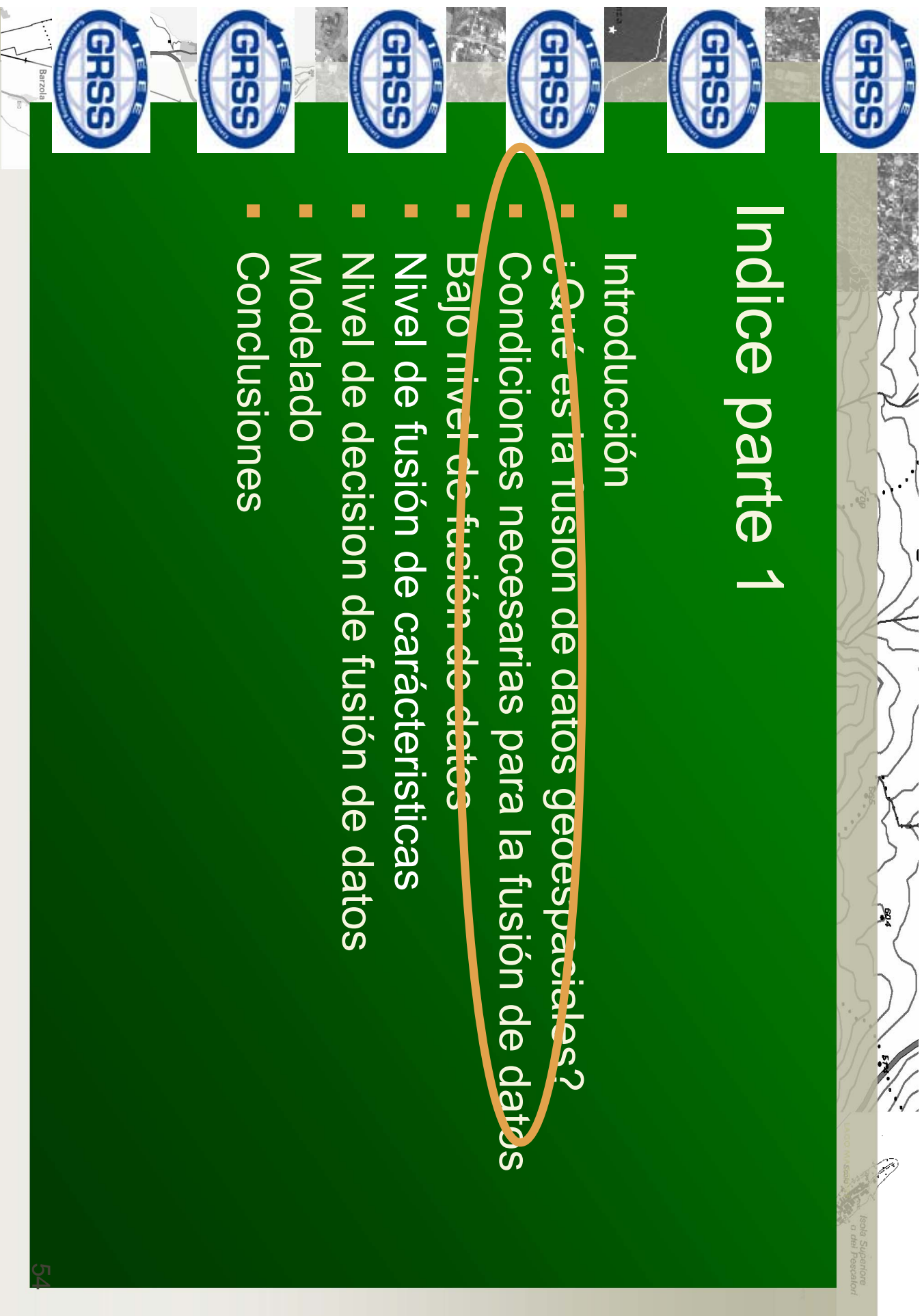
- ¿Alguna pregunta?

- Por favor en 5 minutos responde a las siguientes preguntas (por favor usa el siguiente esquema):

- | | | |
|--|---|--|
| Q1 Di la definición GRS-S de fusión de datos geoespaciales | Q2 Nombra los tres niveles de fusión de datos | Q3 Sugiere una aplicación de fusión de datos geoespaciales y explica porque. |
|--|---|--|

Índice parte 1

- Introducción
- ¿Qué es la fusión de datos geoespaciales?
- Condiciones necesarias para la fusión de datos
 - Bajo nivel de fusión de datos
 - Nivel de fusión de características
 - Nivel de decisión de fusión de datos
- Modelado
- Conclusiones



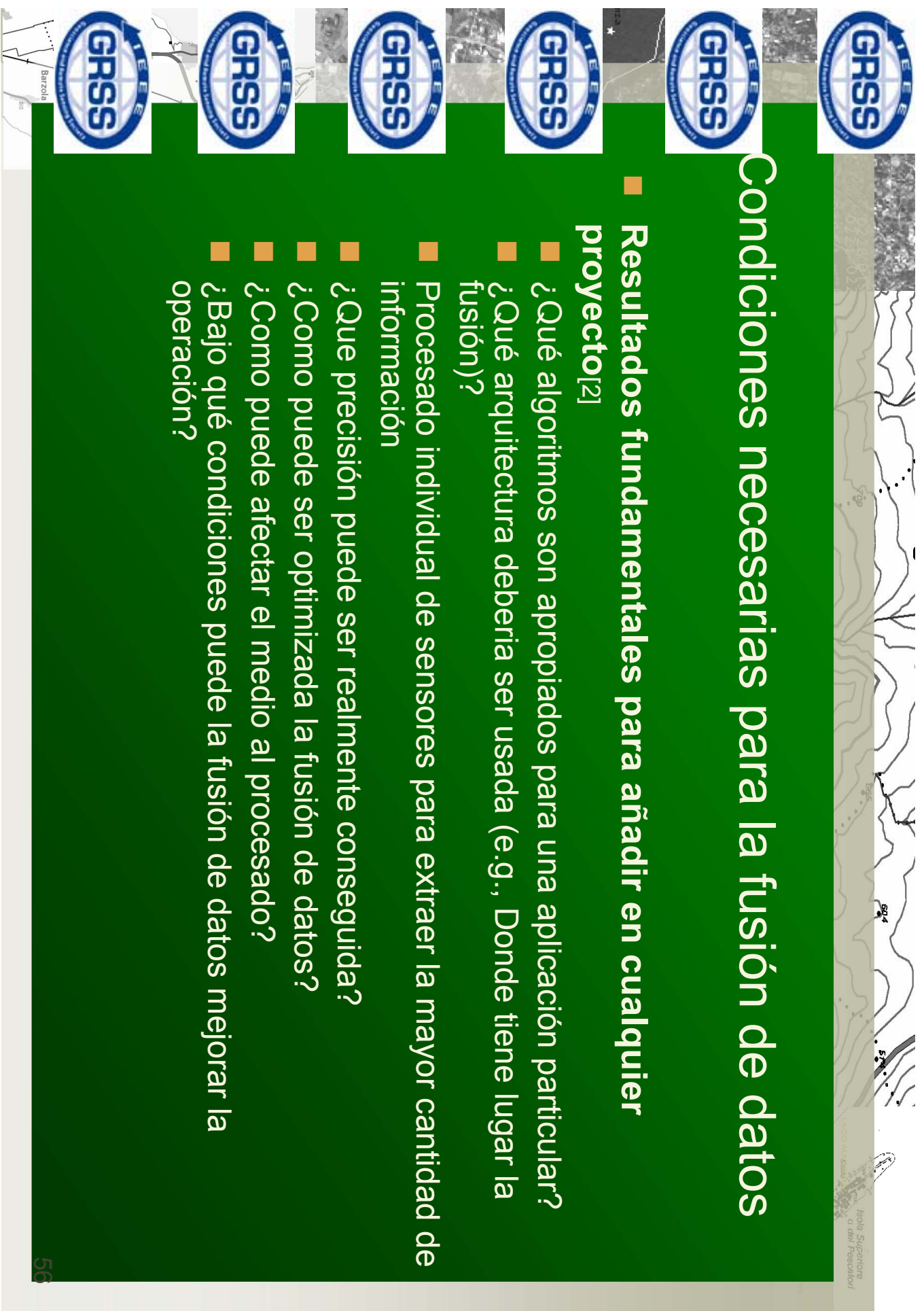
Condiciones necesarias para la fusión de datos

- Preguntas a ser contestadas [27]
 - ¿Cual es el objetivo o la aplicación del usuario?
 - ¿Qué tipo de datos son los más útiles para conseguir estas necesidades?
 - ¿Cual es la mejor técnica para fusionar estos tipo de datos para esa aplicación aplicación?
 - ¿Cuales son los pasos antes del proceso necesarios?
 - ¿Qué combinación de datos es la mejor?

Condiciones necesarias para la fusión de datos

■ Resultados fundamentales para añadir en cualquier proyecto^[2]

- ¿Qué algoritmos son apropiados para una aplicación particular?
- ¿Qué arquitectura debería ser usada (e.g., Donde tiene lugar la fusión)?
- Procesado individual de sensores para extraer la mayor cantidad de información
- ¿Que precisión puede ser realmente conseguida?
- ¿Como puede ser optimizada la fusión de datos?
- ¿Como puede afectar el medio al procesado?
- ¿Bajo qué condiciones puede la fusión de datos mejorar la operación?

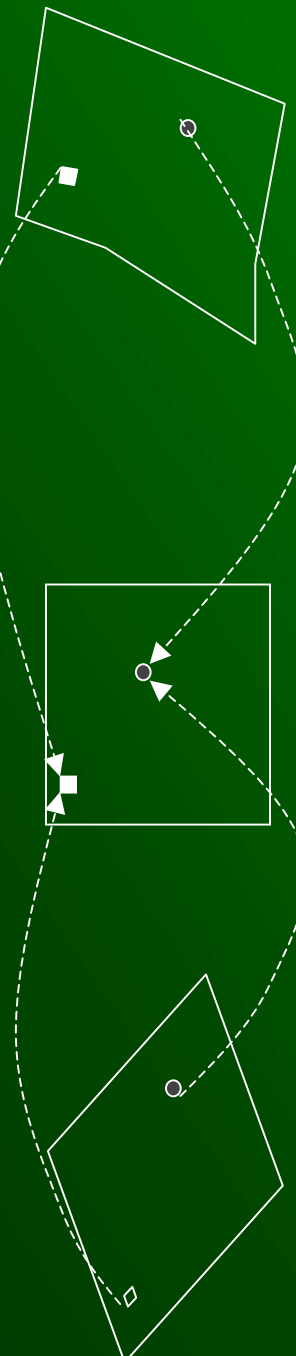


Condiciones necesarias para la fusión de datos

- Sistema de referencia espacial común
- Resultados relacionados con la escala y la resolución
- Normalización atmosférica
- Calibración de unidades físicas
- Borrado de contaminación y/o artefactos
- Calibración de sensores
- Visualización de nubes
- Corrección direccional
- Sistema de referencia temporal común

Sistema de referencia espacial común

- Las imágenes a ser fusionadas deben ser registradas geométricamente para compensar:
 - Diferentes tamaños de pixels
 - Desplazamientos
 - Rotación
 - Distorsiones de mayor orden



Sistema de referencia espacial común

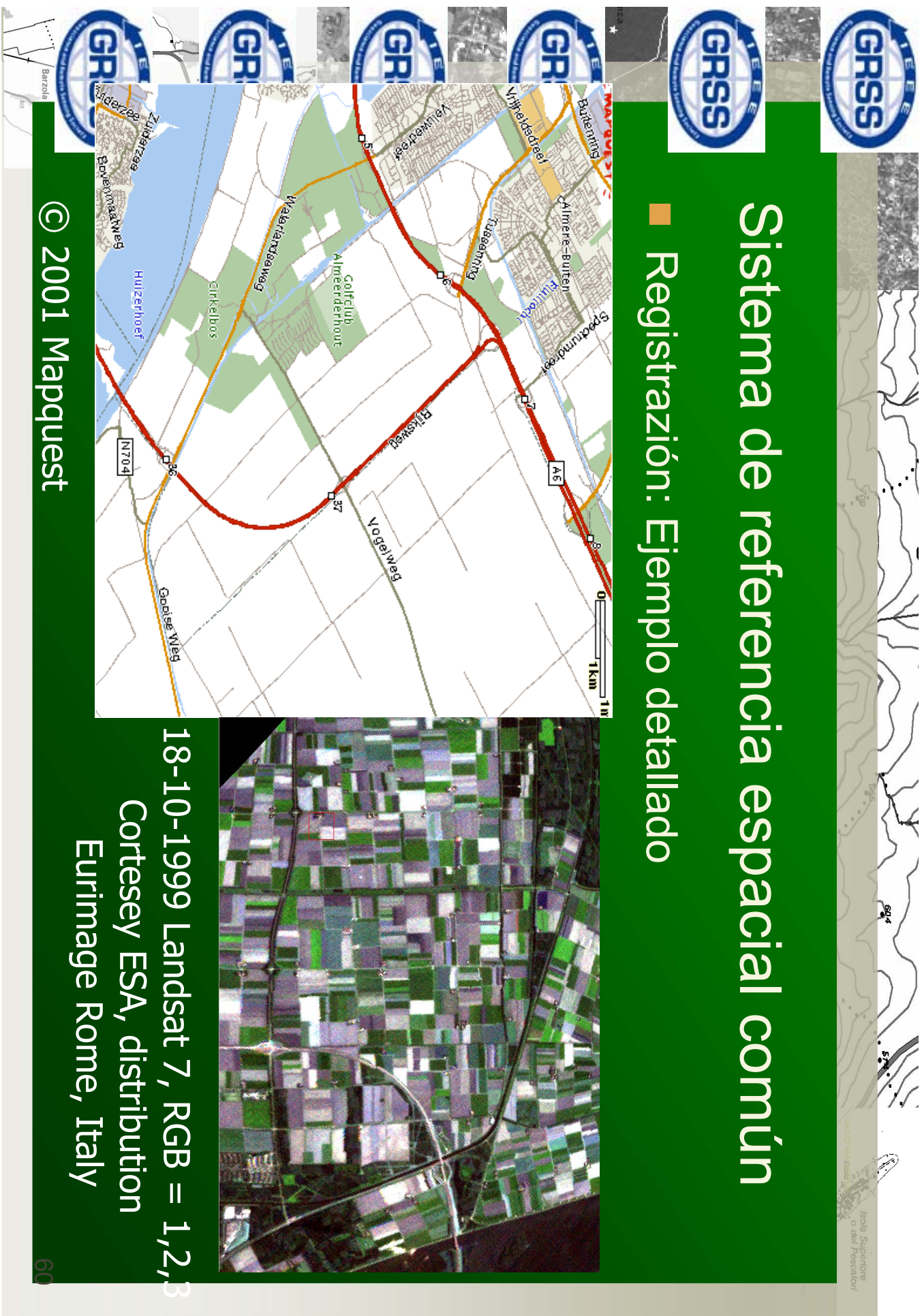
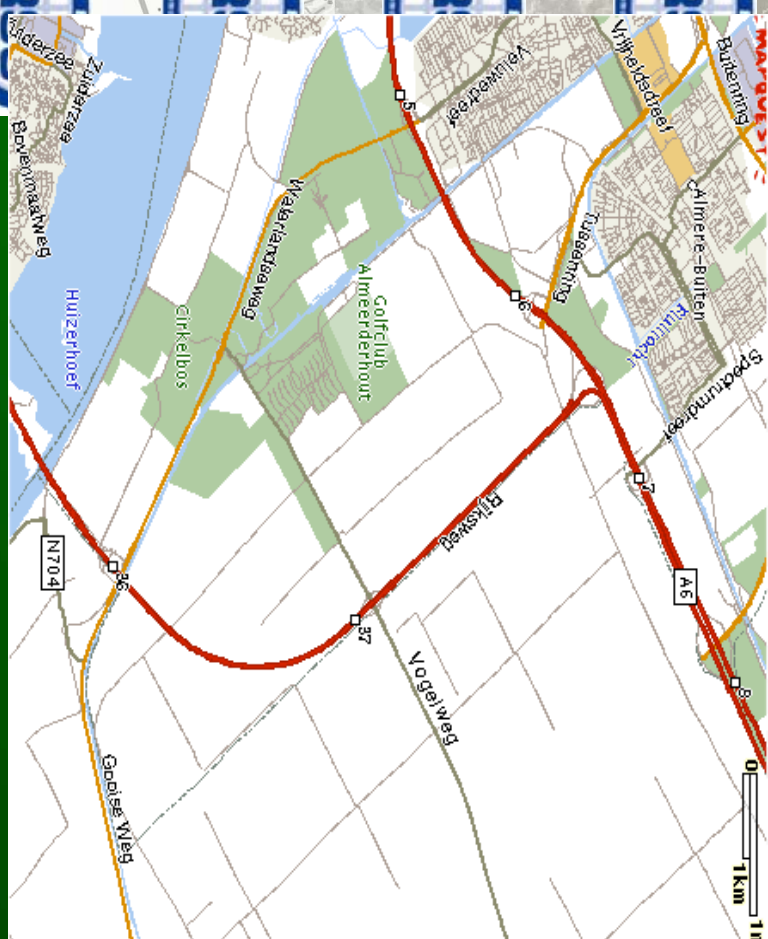
- Registración
 - Establece una transformación de coordenadas que relaciona las coordenadas de pixels unos con otros, o con una referenciación común.
 - Modelo de distorsión seleccionable
 - Puntos de control de suelo (GCPs)
 - Localización automática de GCP posible en algunos casos

Sistema de referencia espacial común

■ Registración: Ejemplo detallado

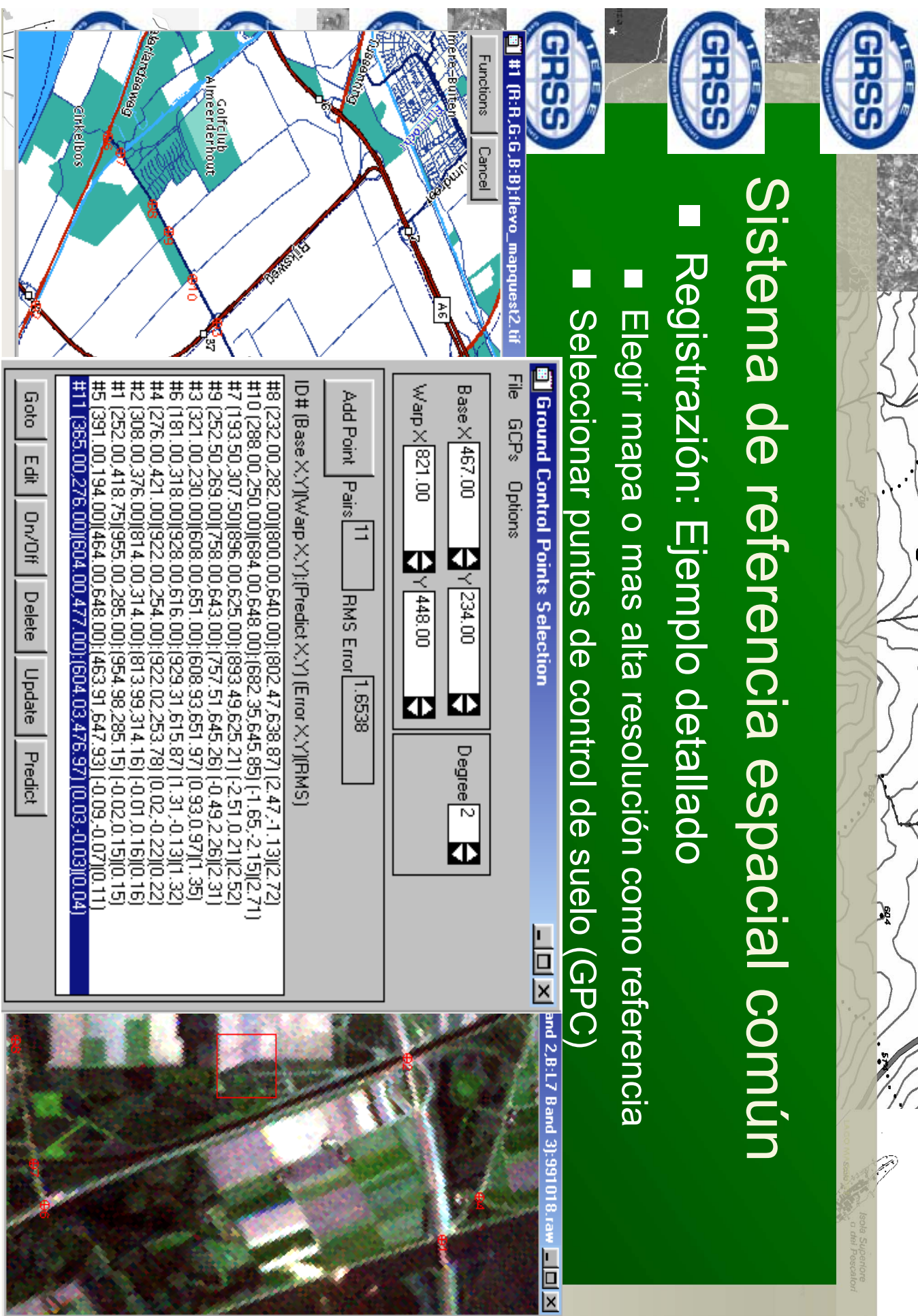
© 2001 Mapquest

18-10-1999 Landsat 7, RGB = 1,2,3
Cortesey ESA, distribution
Eurimage Rome, Italy



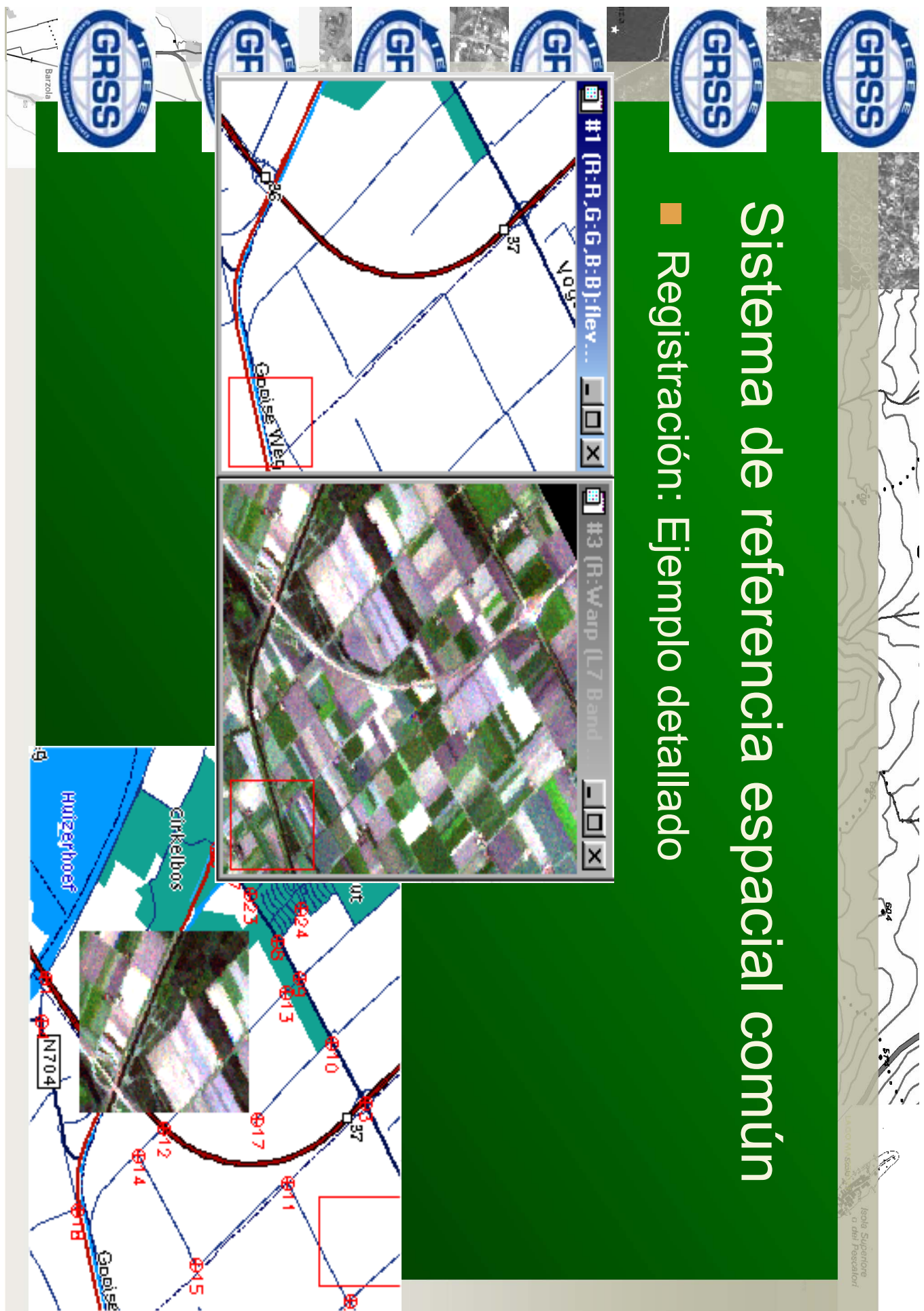
Sistema de referencia espacial común

- Registración: Ejemplo detallado
- Elegir mapa o mas alta resolución como referencia
- Seleccionar puntos de control de suelo (GPC)



Sistema de referencia espacial común

■ Registración: Ejemplo detallado



Sistema de referencia espacial común

■ Ejemplos de trabajos de registración [3,p. 361]

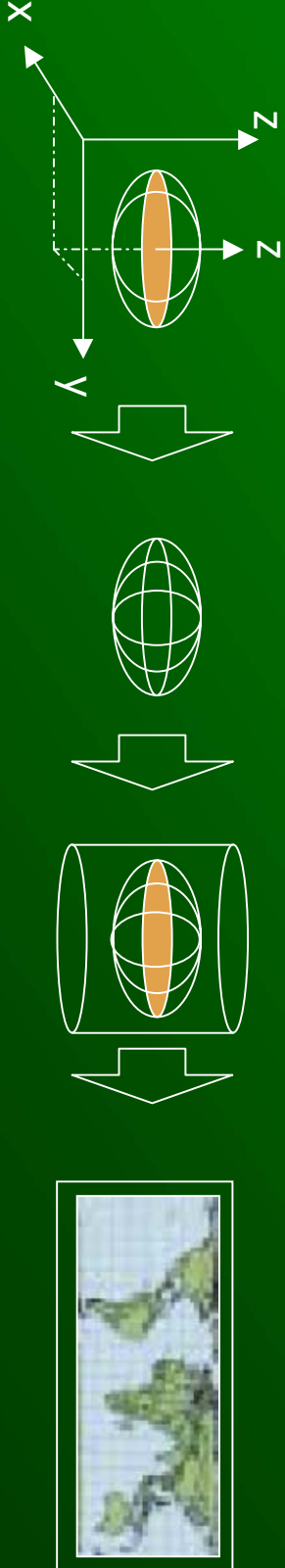
Tipos de imágenes	Características	Referencia
Airborne scanner	Puntos	Craig and Green, [16]
TM/TM	Puntos	Ton and Jain, [17]
TM/SPOT	Transformación de Wavelet	Zheng and Chellappa, [18]
TM/SPOT	Regiones	Flusser and Suk, [19]
Airborne/airborne TM/SPOT	Contornos	Li et al., [20]
TM/TM		

Sistema de referencia espacial común

- Elección de técnicas de registración relacionadas con:
 - Definición del criterio de evaluación
 - Contenido de las imágenes
- Por ejemplo:
 - Los bosques pueden tener menos variación que las áreas urbanas

Sistema de referencia espacial común

- En la fusión de datos geoespaciales, las imágenes normalmente deben ser reproyectadas y geocodificadas
- Sistema de proyección
- Datum



Datum geodético: posición, orientación y tamaño del elipsoide

Superficie de referencia

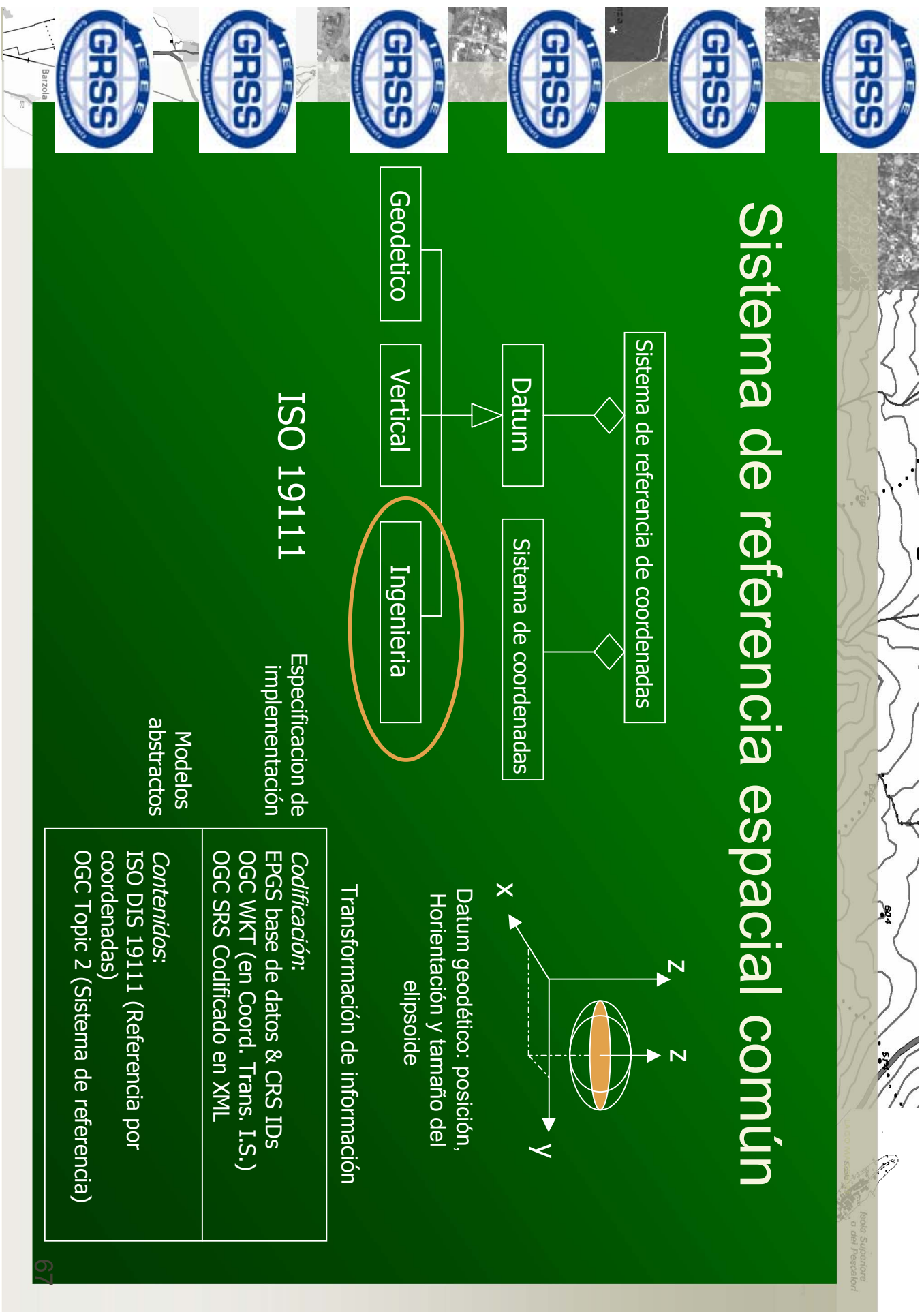
Superficie de mapeado

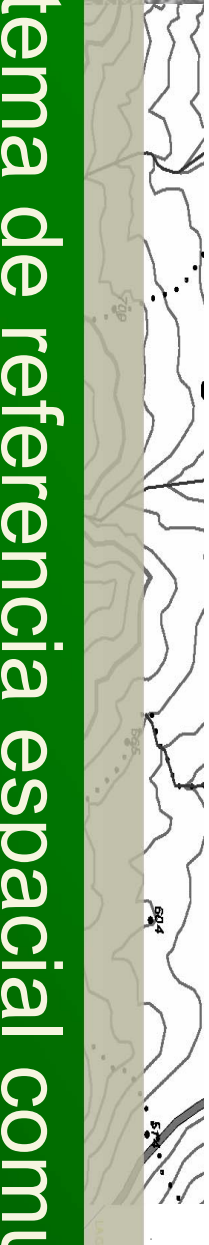
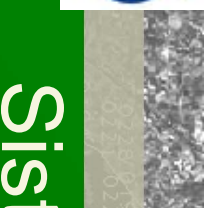
Proyección plana

Sistema de referencia espacial común

- Parámetros de las proyecciones de mapas
- Aspecto crítico, especialmente cuando se combinan datos de diferentes fuentes
- Complejo y sensible a los errores, especialmente la parte del datum
- Algunos productos de proveedores conocidos de software no implementan correctamente los sistemas de proyección

Sistema de referencia espacial común





Isola Superiore
del Pescatoro

GRSS

Geospatial Reference System

Sistema de referencia espacial común

Ejemplo ENVI:



ENVI Ellipsoid File (ellipse.txt)

This file contains a list of the ellipsoids available for use in ENVI. It is an ASCII file containing three columns for the ellipsoid name, major axis in meters (a), and minor axis in meters (b). A portion of the ENVI ellipse.txt file is shown below.

Airy, 6377563.4, 6356256.9
Australian National, 1841, 6377397
Bessel, 1858, 6378293
Clarke, 1866, 6378206
Clarke, 1880, 6378249
Clarke, IGN, 6378249.



ENVI Map Projections File

This file is an ASCII file that defines the map projections used in ENVI. Use the *Build Customized Map Projection* function under the *Map Projection Tools* menu from the menu bar to build user-defined projections (see [Build Map Projection](#)). A portion of the ENVI txt file which is included in the ENVI distribution is shown below.

ENVI Datum File (datum.txt)

This file contains a list of the datums available for use in ENVI. It is an ASCII file containing five columns for the datum name, ellipsoid name, x, y, and z offsets from the WGS84 datum. A portion of the ENVI datum.txt file is shown below.

Adindan, Clarke 1880, -166, -15, 204
AFG, Krassovsky, -43, -163, 45
Ain El Abd 1970, International, -150, -251, -2
Alaska (NAD-27), Clarke 1866, -5, 135, 172
Alaska/Canada NAD-27, Clarke 1866, -9, 151, 185
Anna 1 Astro, 1965, Australian

ENVI CUSTOMIZED PROJECTION FILE

- Transverse Mercator
a, b, lat0, lon0, x0, y0, k0, [nm], name
- Lambert Conformal Conic
a, b, lat0, lon0, x0, y0, sp1, sp2, [nm], name
- Hotin Oblique Mercator A
a, b, lat0, lon1, lon2, lat2, lon2, [nm], name
- Hotin Oblique Mercator B
a, b, lat0, lon0, azimuth, x0, y0, [nm], name
- Azimuth-Azimuth of central line

Sistema de referencia espacial común

- Ejemplos de combinaciones de sistemas de referencia de Datum/Coordenadas

Región	Datum	Sistema de proyección
Lombardia	Roma40	Gauss-Boaga
Piemonte	ED50	UTM32

Sistema de referencia espacial común

- Many software applications allow to set parameters manually
- Sources for parameters:
 - European Petroleum Survey Group
 - Worldwide coverage
 - URL: <http://www.epsg.org>
 - Open source remote sensing initiative
 - Source for open source software, based on EPSG
 - URL: <http://www.remotesensing.org/proj>
 - Regional and national authorities
 - E.g., European Coordinate Reference Systems,
<http://crs.ifag.de>

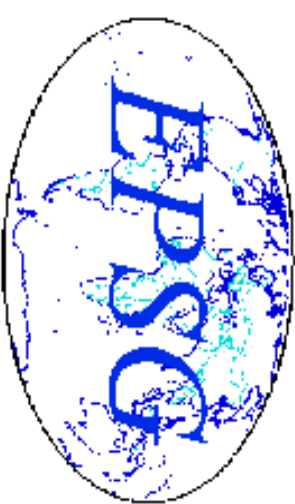
File Edit View Favorites Tools Help

Back → ↻ ⏪ ↻ ⏩ ⏴ | Search ⏵ Favorites Media ⏴ | ⏴ ⏵ ⏴ ⏵ ⏴ ⏵ ⏴ ⏵ ⏵

Address <http://www.epsg.org/>

site hosted by:
 IHS ENERGY

European Petroleum Survey Group



EUROPEAN PETROLEUM SURVEY GROUP

EPSG Geodesy Parameters, 4 February 2003

1. BACKGROUNDS AND ADDITIONAL INFORMATION:
 - [EPSC](#)
 - [APSC](#)
2. EPSG GEODESY PARAMETERS V6.3

In February 2002, the European Petroleum Survey Group (EPSG) completed and released the ISO-compliant Version 6.1 data model and data set. The move to the new model was made to encourage standardisation both across the Exploration and Production segment of

Done



EUROPEAN COORDINATE REFERENCE SYSTEMS

This information system is a common initiative of EuroGeographics, the IAG Subcommission for European Networks (EUREF) and as acting institution the Bundesamt für Kartographie und Geodäsie (BKG).

- ▶ [Content](#)
- ▶ [European CRS](#)
- ▶ [National CRS](#)
- ▶ [Contact](#)
- ▶ [Reference](#)

The Spatial Reference Workshop, 29-30 November 1999 in Marne-La-Vallée and the Cartographic Projection Workshop, 15-16 December 2000 in Marne-La-Vallée prepared the ground for the definition of a common European Coordinate Reference System (CRS) and its use for geo-referencing of the data of the European Commission (EC) and for future specifications of the products to be delivered to the EC, within projects, contracts etc, and the promotion of the wider use within all member states by appropriate means.

The National Mapping Agencies (NMA) or comparable Institutions / Organisations provided the information for the descriptions of the national Coordinate Reference Systems and for the transformation parameters between the national Coordinate Reference Systems and the European Coordinate Reference System ETRS89.

This information system is based on the convention of ISO 19111 *Spatial referencing by coordinate's standard*.

National CRS - Microsoft Internet Explorer

File Edit View Favorites Tools Help

Back → ↵ | Search | Favorites | Media | Links

Address http://lcrs.ifag.de/lcrs_national.php

Pick a country in the list or a red dot in the map, then you can get at the next page the information about the Coordinate Reference Systems CRS and the Transformation

File Edit View Favorites Tools Help

Back → ↵ | Search | Favorites | Media | Links

Address http://lcrs.ifag.de/country_select.php?country=IT

eur^{gf} Euro Geographics bkg

Italy (IT)

CRS Identifier: IT_ED50 / UTM
CRS Annotation: Datum ED50 with UTM Projection
IT_ROMA40 / EAST_WEST
Datum ROMA40 in Transverse Mercator Projection in two zones East and West with special Italian parameters
[select]

Information for Transformations to ETRS89

[IT_ROMA40 (peninsular part) to ETRS89] [select]

History / Changes

National Mapping Agency / Source

Sistema de referencia espacial común

- Ejemplo: Comprobación de archivos de proyecciones en ENVI 3.2

The screenshot shows the ENVI 3.2 software interface. On the left is a grayscale map of Italy with topographic features and a scale bar. In the center is a table of ellipsoid parameters. On the right is a Notepad window displaying the same data.

Notepad Content:

```
ellipse.txt - Notepad
File Edit Format Help
Fischer 1960, 6378155.0, 6356773.0
GRS 67, 6378160.0, 6356774.5
GRS 80, 6378137.0, 6356752.3
Helmert 1906, 6378200.0, 6356818.2
Hough, 6378270.0, 6356794.0
IAU, 6378160.0, 6356755.0
International, 6378388.0, 6356911.9
IUGG, 6378160.0, 6356774.7
Krassovskiy, 6378245.0, 6356863.0
Mercury, 6378166.0, 6356784.3
Modified Airy, 6377340.2, 6356034.4
Modified Everest, 6377304.1, 6356103.0
Modified Fischer 1960, 6378155.0, 6356773.3
New International, 6378157.5, 6356752.3
Plessis, 6376523.0, 6355863.0
South American 1969, 6378160.0, 6356774.7
Southeast Asia, 6378155.0, 6356773.0
Struve, 6378298.0, 6356657.0
Wa Beck, 6376896.0, 6355821.9
```

Table Content:

	Description of CRS: Italy - IT_ROMA40 / EAST_WEST - Micros...
Ellipsoid identifier	Roma, M. Mario
Prime meridian identifier	12°27'08.400" E
Prime meridian remarks	
Ellipsoid alias	
Ellipsoid semi major axis	Hayford 1909
Ellipsoid shape	International 1924
Ellipsoid inverse flattening	6 378 388 m
Ellipsoid remarks	true 2.97

$$6378388.0 * (1-1/297) = 6356911.9461279 \dots$$

Sistema de referencia espacial común

- Nuevos requerimientos para proyectos Europeos:
- Producir toda la información geoespacial con el datum ETRS89
- WGS84 es la elección para la mayoría de las aplicaciones de teledetección
- La conversión de parámetros entre los sistemas nacionales Europeos y ETRS89 está en <http://crs.ifag.de>
- No todos los software de procesado soportan este datum

Publicaciones relacionadas con la escala y la resolución

- La escala es importante [3],[7]
 - Define los límites de observación
 - Dimensión linear pequeña: Resolución espacial
 - Dimensión linear grande: define un esfuerzo para extenderla colección de datos
- Parámetros que pueden ser observados observados
 - Por ejemplo, en teledetección la resolución espacial determina que procesos geofísicos pueden ser observados

Publicaciones relacionadas con la escala y la resolución

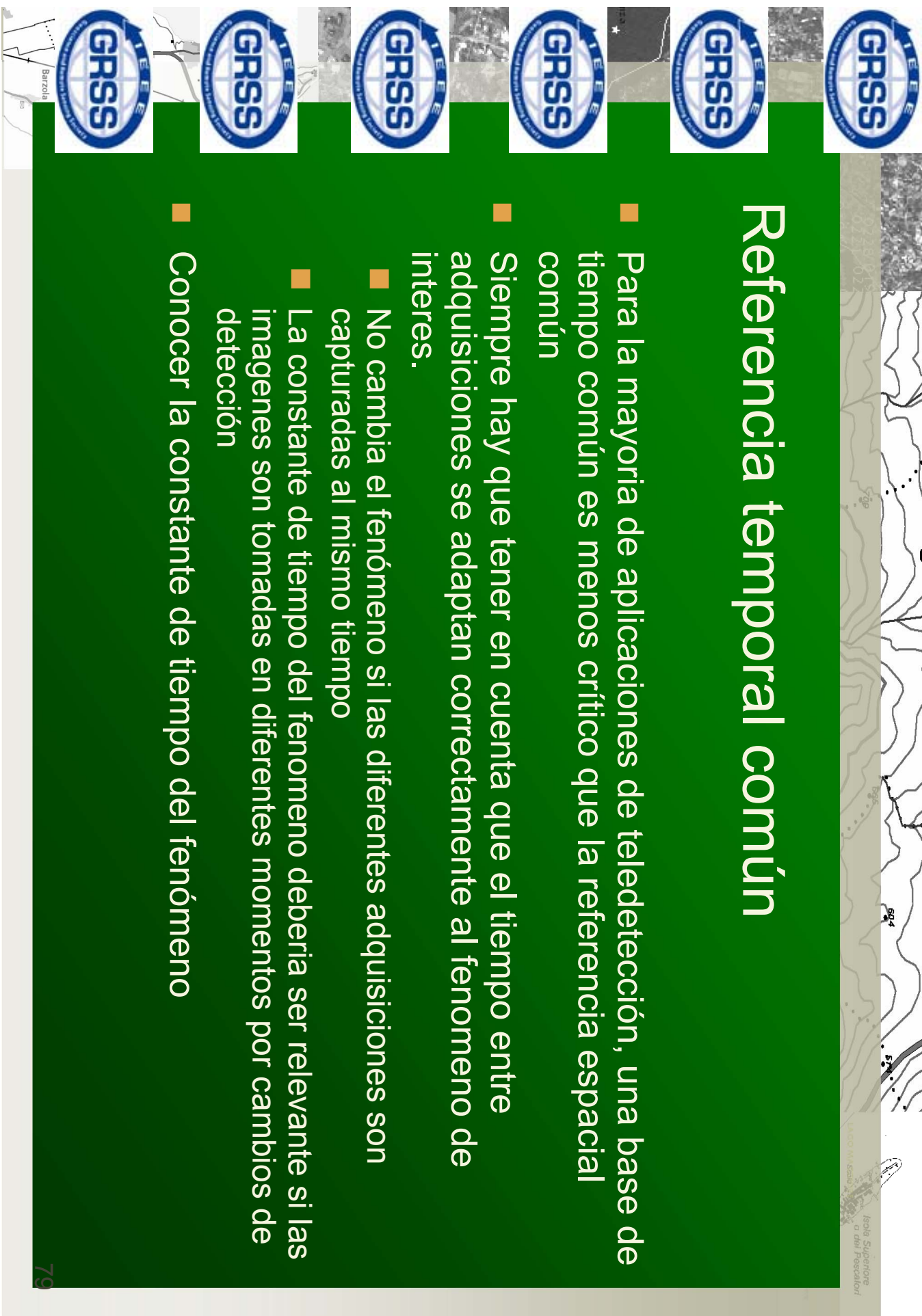
- Diferentes percepciones de escala en análisis geoespaciales
 - La escala como indicador de que cosas puedes ver en un mapa topográfico
 - La escala es usada para fijar la definición de la posición en una ortofoto
 - La escala como una dimensión básica de generalización
 - La escala como una medida del tamaño de pixel o un campo de vision instantaneo
 - La escala como medida de la minima unidad del mapa

Publicaciones relacionadas con la escala y la resolución

- ¿Implicaciones de la escala en la fusión de datos?
- Depende de la aplicación
- Los investigadores deberían investigar para su aplicación:
 - Constantes de escala
 - Disponibilidad de cambio de escala
 - Medida del impacto de la escala
 - La escala como parámetro de los modelos de proceso
 - Implementación de aproximaciones multiescala

Referencia temporal común

- Para la mayoría de aplicaciones de teledetección, una base de tiempo común es menos crítico que la referencia espacial común
- Siempre hay que tener en cuenta que el tiempo entre adquisiciones se adaptan correctamente al fenómeno de interés.
- No cambia el fenómeno si las diferentes adquisiciones son capturadas al mismo tiempo
- La constante de tiempo del fenómeno debería ser relevante si las imágenes son tomadas en diferentes momentos por cambios de detección
- Conocer la constante de tiempo del fenómeno



Otro tiempo de preguntas...

■ Para ustedes

- Y para mí: tomar 5 minutos para contestar a las siguientes preguntas

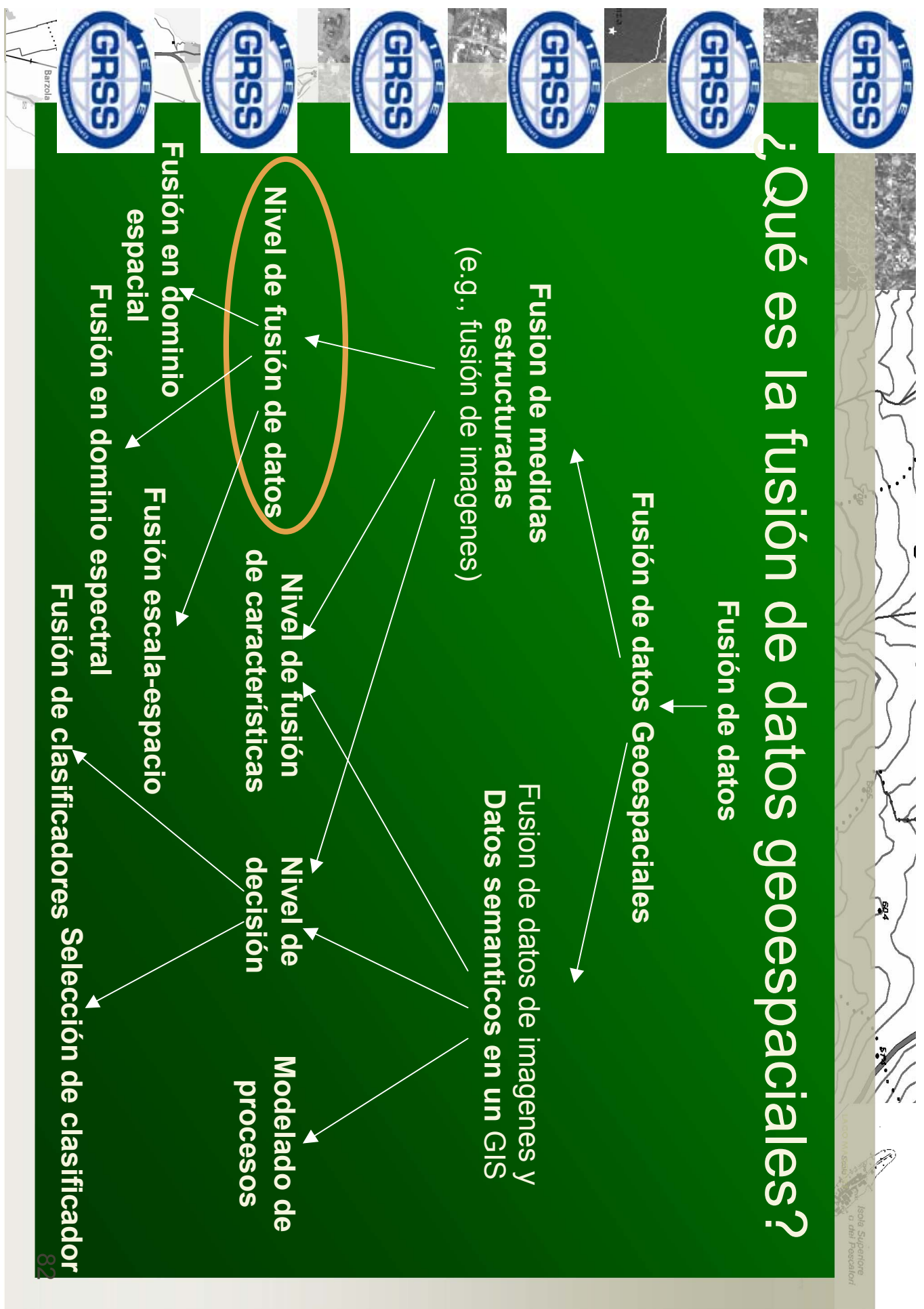
Q4 Si necesitas corregistrar imágenes para un análisis automático, ¿qué método de re-muestreo es requerido?

Q5 Nombre 3 de las 5 definiciones relacionadas con la escala que se deberían investigar en cada aplicación de fusión de datos

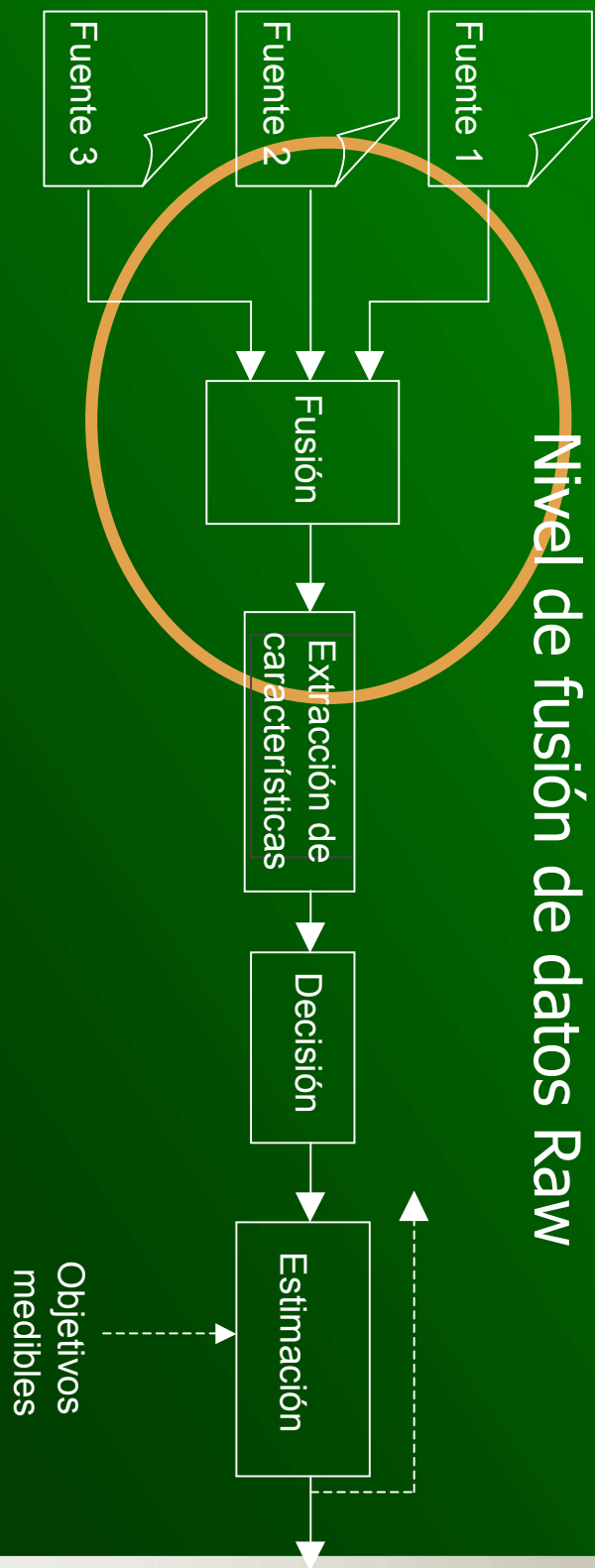
Índice parte 1

- Introducción
- ¿Qué es la fusión de datos geoespaciales?
- Condiciones necesarias para la fusión de datos
 - Bajo nivel de fusión de datos
 - Nivel de fusión de características
 - Nivel de decisión de fusión de datos
- Modelado
- Conclusiones

¿Qué es la fusión de datos geoespaciales?



¿Qué es la fusión de datos?



Nivel de fusión de datos Raw

- Objetivos de la fusión de imágenes teledetectadas[27]
- Agudizar imágenes
- Mejorar la corrección geométrica
- Prover capacidades de visión stereo
- Mejorar capacidades no visibles en cada grupo de datos
- Completar datos para una mejor clasificación
- Detectar cambios usando datos multitemporales
- Sustituir información perdida
- Reemplazar datos defectuosos

Nivel de fusión de datos Raw

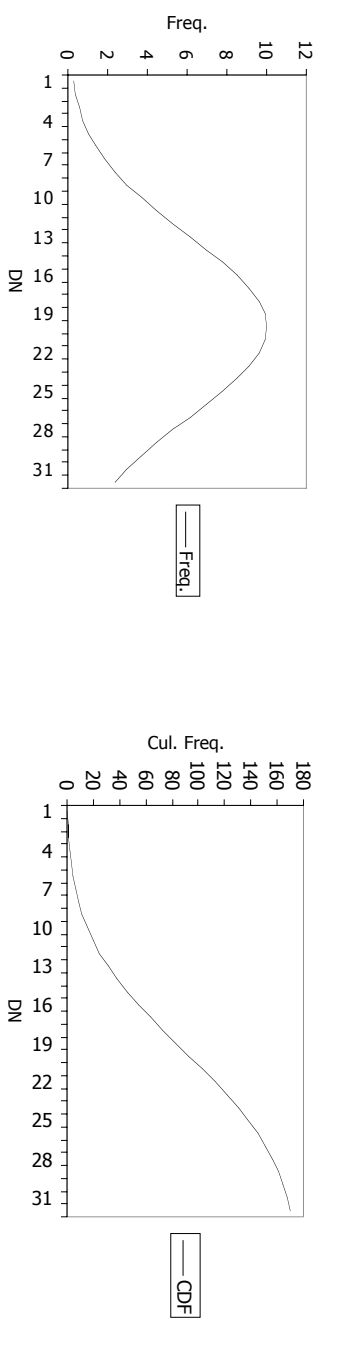
- Objetivo de la agudización de imágenes: combinar imágenes para obtener nuevas imágenes con mejores características
 - Mayor resolución espacial
 - Mayor resolución espectral
- Además a los requisitos comunes de fusión de datos
 - La fusión de datos Raw requiere correlación radiométrica entre las imágenes
 - Va bien para fusión de datos ópticos y radar

Correlación radiométrica entre imágenes

- A veces, la correlación natural entre imágenes no es suficiente
 - Diferentes sensores
 - Diferencias entre las condiciones de adquisición en diferentes tiempos
 - La escena cambia con el tiempo
- Las mejoras de contraste común a veces no es seleccionable
 - Linear stretch, non-linear stretch, normalization stretch
- Esto es: Necesidad de encontrar la características radiométricas globales de una imagen en otra
 - Reference stretch

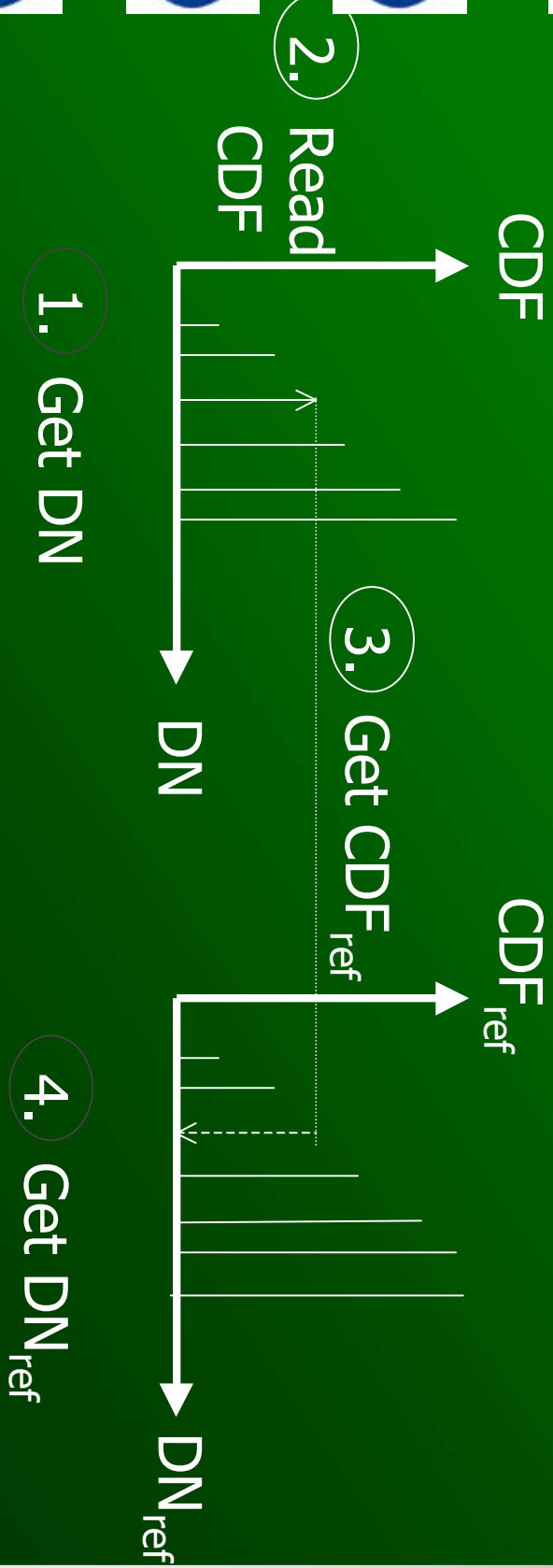
Correlación radiométrica entre imágenes

- Reference stretch [3, p. 206]
- Mejora la correlación radiométrica entre imágenes
- Presume que los histogramas de las imágenes son similares (debería ser así; si no, mejor no usarlo)
- El siguiente mapeado de DN de las imágenes a través de su Función de Distribución (CDF)
- Despues se mapea la referencia CDF_{ref} to DN_{ref} .



Correlación radiométrica entre imágenes

- Reference stretch (continuación)



Nivel de fusión de datos Raw

- Fusión en dominio espacial
- Fusión en dominio espectral
- Fusión escala-espacio

Fusión de datos en el dominio espacial

- Transfiere la alta frecuencia contenida en la imagen de mayor resolución a la imagen de menor resolución

- Filtro modificado de alto impulso(high boost) [3, p.

378],[4],[5]:

$$R_{ijk} = M_{ijk} + K_{ij} HPH_{ij}$$

Imagen reconstruida (fusionada)

M_{ijk} Imagen multiespectral de menor resolución banda k

HPH_{ij} Versión pasa alta de la imagen de mayor resolución

K_{ij} Función Heurística de ensanchamiento variable con el espacio

Fusión de datos en el dominio espacial

- Filtro modificado de alto impulso(continuación)
- Impulsando la componente de alta frecuencia de la imagen de alta resolución relativa a la componente de baja frecuencia
- La cantidad de límites mejorados es proporcional a K
- K puede ser seleccionada interactivamente o estimada desde las imágenes

Fusión de datos en el dominio espacial

■ Filtro modificado de alto impulso(continuación)

Ejemplo ventana HB 3×3 filtrado para diferentes valores de K

$K=1$	$K=2$	$K=3$
$\frac{1}{9} \begin{bmatrix} -1 & -1 & -1 \\ -1 & 17 & -1 \\ -1 & -1 & -1 \end{bmatrix}$	$\frac{1}{9} \begin{bmatrix} -2 & -2 & -2 \\ -2 & 25 & -2 \\ -2 & -2 & -2 \end{bmatrix}$	$\frac{1}{9} \begin{bmatrix} -3 & -3 & -3 \\ -3 & 33 & -3 \\ -3 & -3 & -3 \end{bmatrix}$

Fusión de datos en el dominio espacial

- Filtro modificado de alto impulso
- Datos grss_dfc_002 [6]

Código fuente+datos [21]
Password: 45



ETM bandas 1, 2 y 3



Imagen fusionada, K=2;
bandas 1, 2 y 3

Fusión de datos en el dominio espacial

Código fuente+datos [21]

Password: 45

- Filtro modificado de alto impulso

Bandas 1, 2, y 3

Banda 8

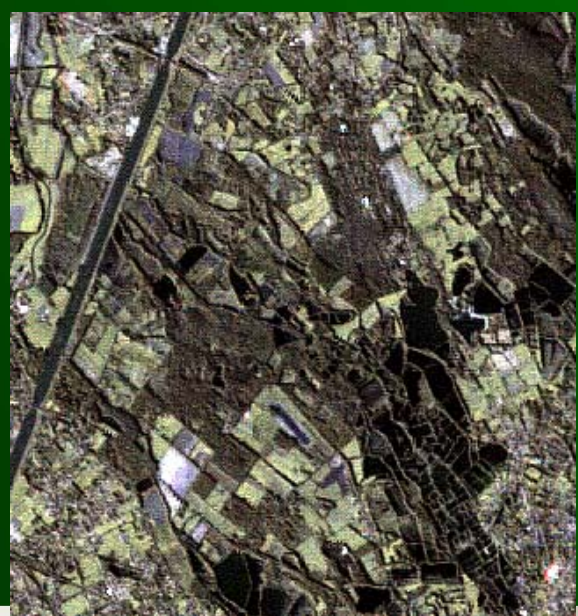


Imagen Fusionada

Fusión de datos en el dominio espacial

- Modulación en alta frecuencia
- La imagen de alta resolución H , es multiplicada por cada banda de la imagen de baja resolución M , y normalizada por una versión filtrada pasa-baja H , LPH :

$$R_{ijk} = M_{ijk} H_{ij} / LPH_{ij}$$

- El algoritmo asume que la imagen mejorada en la banda k es proporcional a la imagen de alta resolución

Fusión de datos en el dominio espacial

■ Modulación de alta frecuencia (continuación)

$$R_{ijk} = M_{ijk} H_{ij} / LPH_{ij}$$

$$K_{ijk} = M_{ijk} / LPH_{ij} \rightarrow R_{ijk} = K_{ijk} H_{ij}$$

$$H_{ij} = LPH_{ij} + HPH_{ij} \rightarrow$$

$$R_{ijk} = M_{ijk} (LPH_{ij} + HPH_{ij}) / LPH_{ij}$$

$$= M_{ijk} \left(1 + HPH_{ij} / LPH_{ij} \right)$$

$$= M_{ijk} + K_{ijk} HPH_{ij}$$

Forma del filtro HBI

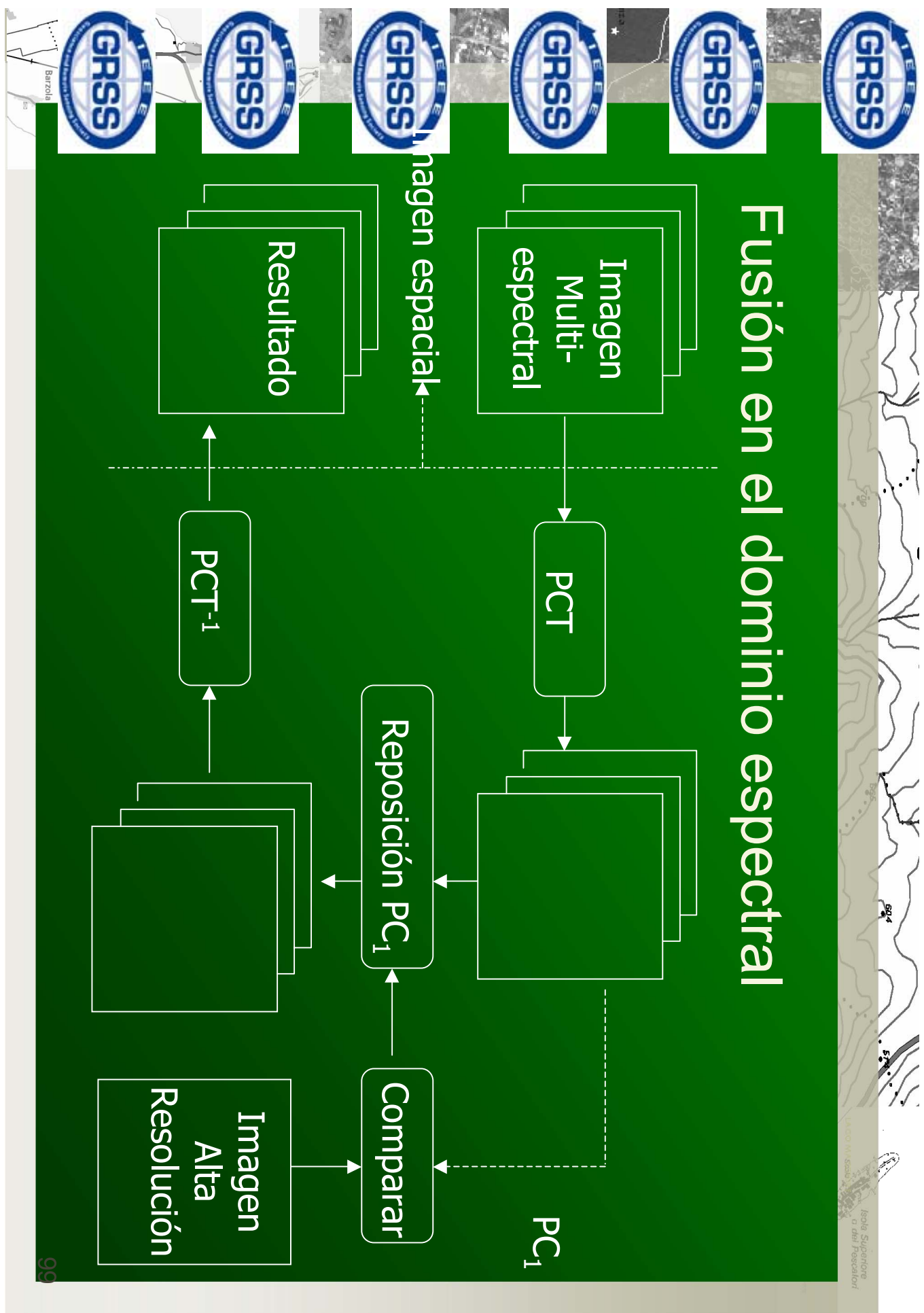
Fusión de datos en el dominio espacial

- Modulación de alta frecuencia (continuación):
Algunos aspectos sobre el diseño del filtro
 - LPF y HPF no pueden ser arbitrarios
 - Definen la normalización radiométrica entre las imágenes
 - Deberían estar basadas en el conocimiento de:
 - *Ground-projected Instantaneous Field of View GIFOV*
 - *Remaining sensor PSF difference*
 - *Resampling function used to register images*

Fusión en el dominio espectral

- Las imágenes multiespectrales y de color, pueden ser transformadas en un nuevo espacio donde una imagen representa la componente correlada
 - PC1 en el espacio de Componentes Principales (PC)
 - Intensidad en el espacio de color perceptual
- Fusión espectral de datos:
 - Aplica una transformación de las bandas de la imagen
 - Reposición de componentes con la imagen de mas alta resolución
 - Transforma el resultado en una imagen espacial

Fusión en el dominio espectral



Fusión en el dominio espectral

- Importante:
 - La componente original y el reemplazada deben estar radiometricamente correladas
- Recuerda:

Características de fusión de datos Raw

- Si las medidas estan comedidas o suficientemente correladas

Fusión en el dominio espectral

■ Transformación de la componente principal

$$\overline{PC} = W_{PC} \cdot \overline{DN}$$

- Diagonalizando la matriz de covarianza de la imagen multiespectral original:

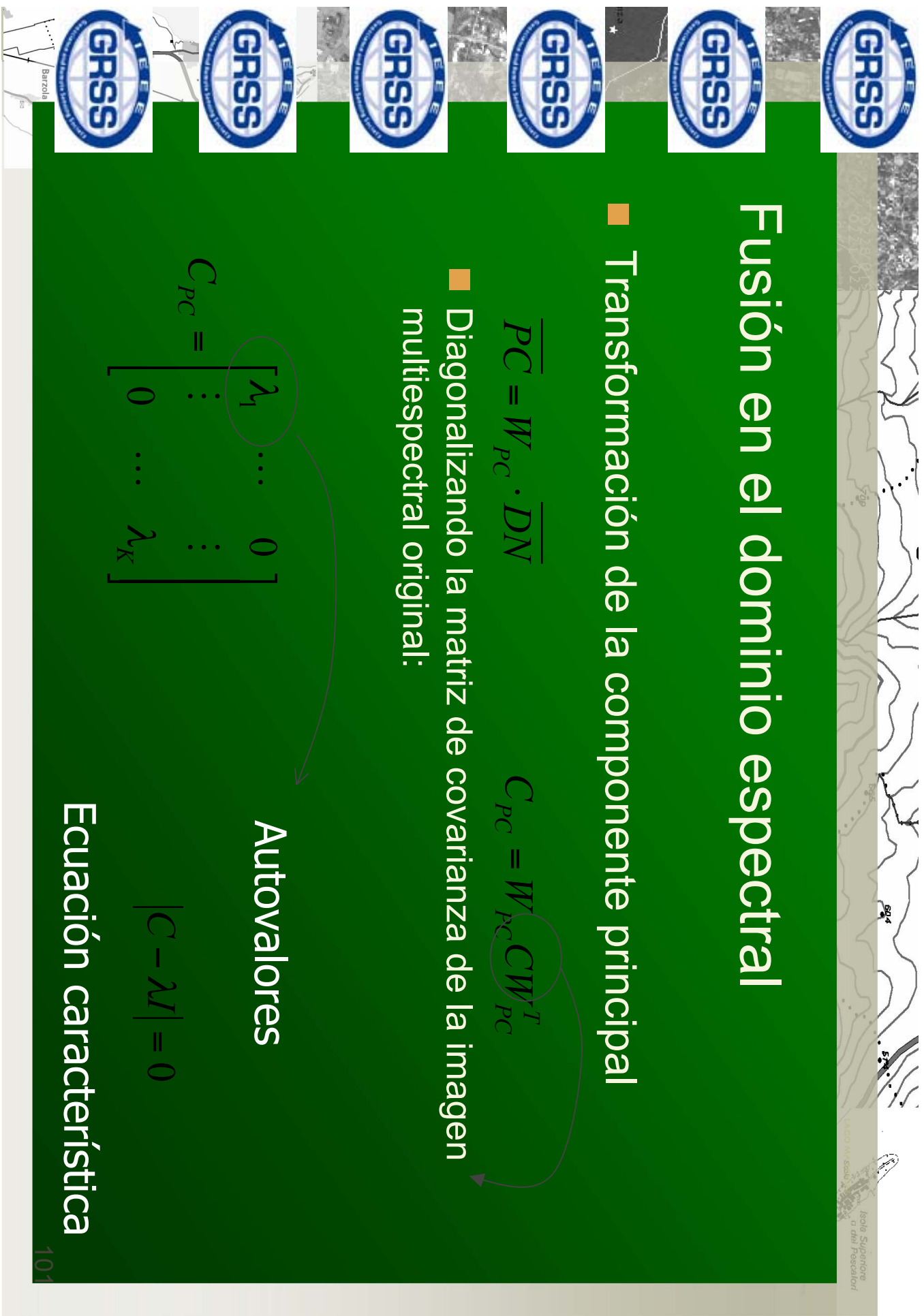
$$C_{PC} = W_{PC} C W_{PC}^T$$

Autovalores

$$|C - \lambda I| = 0$$

Ecuación característica

$$C_{PC} = \begin{bmatrix} \lambda_1 & \dots & 0 \\ \vdots & \ddots & \vdots \\ 0 & \dots & \lambda_K \end{bmatrix}$$



Fusión en el dominio espectral

- Transformación de la componente principal (continuación):

- Los ejes de coordenadas de PC por autovectores e_k :
- $$(C - \lambda_k I)e_k = 0$$

- Los autovectores forman las filas de W_{PC}

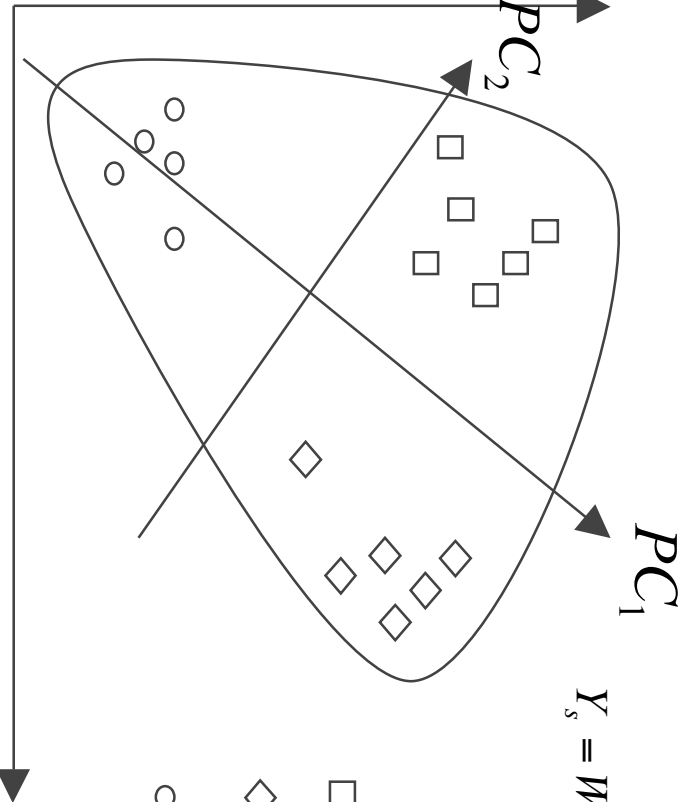
$$W_{PC} = \begin{bmatrix} e_1^T \\ \vdots \\ e_K^T \end{bmatrix} = \begin{bmatrix} e_{11} & \cdots & e_{1K} \\ \vdots & \ddots & \vdots \\ e_{K1} & \cdots & e_{KK} \end{bmatrix}$$

- La componente e_{ij} se convierte en el peso de la banda j para el PC i .
- Algoritmos computacionalmente eficientes en [23]

Fusión en el dominio espectral

■ Transformación de la componente principal

$$Y_s = W_{PC} X_s = W_{PC} \begin{bmatrix} x_1 \\ x_2 \end{bmatrix}_s = \begin{bmatrix} PC_1 \\ PC_2 \end{bmatrix}_s$$



Feature $x_2=DN4$

Feature $x_1=DN3$

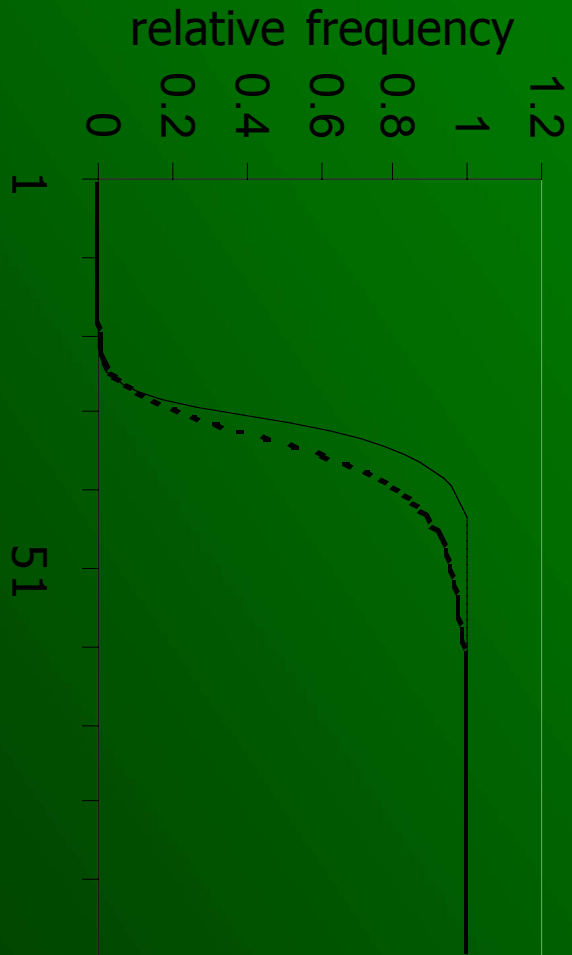
Fusión en el dominio espectral

- Resumen de la fusión basada en PC:

1. Calcular la transformación de PC, W_{pc}
2. Para cada pixel de la imagen, calcular el vector transformado de PC
3. Almacenar PC 1 en una imagen separada
4. Calcular el CDF de PC 1
5. Hacer reference stretch la imagen de alta resolución para PC 1
6. Reemplazar PC 1 por la imagen de alta resolución
7. Transformar las PCs a dominio de la imagen

Fusión en el dominio espectral

CDFref
CDF high



Fusión en el dominio espectral

- Representaciones color espacio [7]
 - Cubo de color Rojo, Verde, Azul
 - Color, Intensidad/Valor, Saturación



Representación de
Color, Valor, Saturación

Fusión en el dominio espectral

- Representaciones color espacio (continuación)
- RGB son monitores primarios en un sistema de ejes ortogonal
 - Uno debería conocer las curvas del monitor espectral para determinar el color verdadero
 - Depend del monitor y la percepción
- CIEXYZ: Función de comparación tristimulus

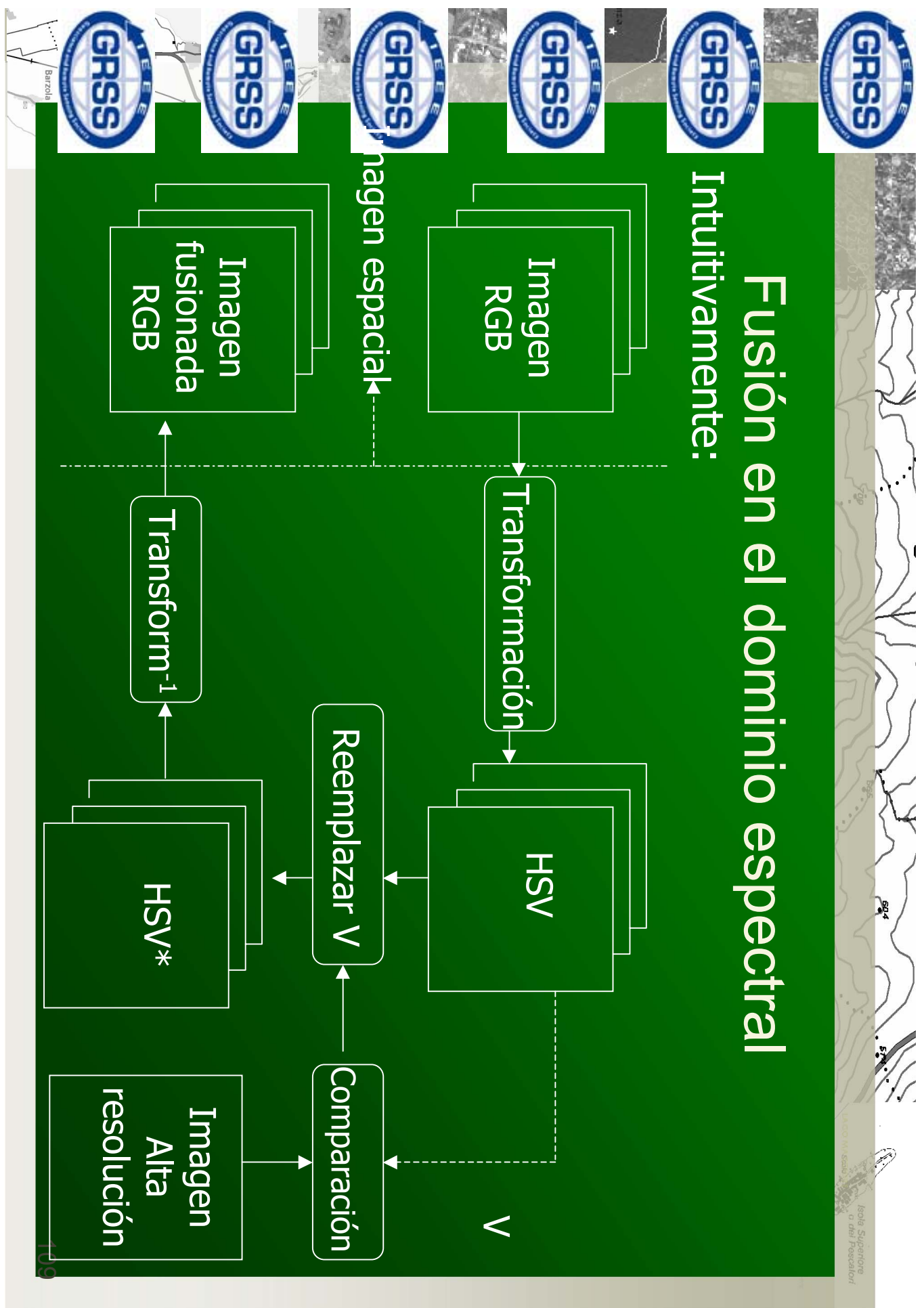
$$\begin{bmatrix} X \\ Y \\ Z \end{bmatrix} = \begin{bmatrix} S_r(r_x) & S_g(g_x) & S_b(b_x) \\ S_r(r_y) & S_g(g_y) & S_b(b_y) \\ S_r(r_z) & S_g(g_z) & S_b(b_z) \end{bmatrix} \cdot \begin{bmatrix} R \\ G \\ B \end{bmatrix}$$

Fusión en el dominio espectral

- Representaciones color espacio (continuación)
- HSV da una mejor representación de la similitud de colores
 - Color puro:Saturado
 - Color neutro:desaturado

Fusión en el dominio espectral

Intuitivamente:



Fusión en el dominio espectral

- Interesante para la fusión de datos: La representación $L^*a^*b^*$
- Basada en la 3^a aproximación del sistema de colores Munsell
- Transformación no lineal de

$$\begin{bmatrix} X \\ Y \\ Z \end{bmatrix} \xrightarrow{a} \begin{bmatrix} L^* \\ a^* \\ b^* \end{bmatrix}$$

$$L^* = 25 \left(\frac{100Y}{Y_0} \right)^{\frac{1}{3}} - 16$$

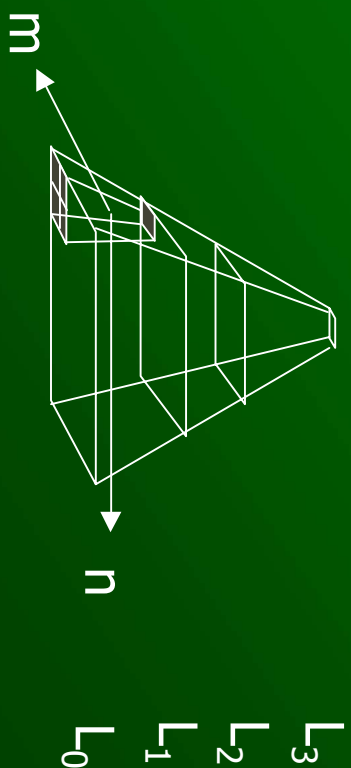
$$a^* = 500 \left[\left(\frac{X}{X_0} \right)^{\frac{1}{3}} - \left(\frac{Y}{Y_0} \right)^{\frac{1}{3}} \right]$$
$$b^* = 200 \left[\left(\frac{Y}{Y_0} \right)^{\frac{1}{3}} - \left(\frac{Z}{Z_0} \right)^{\frac{1}{3}} \right]$$

Fusión en el dominio espectral

- Interesante para la fusión de datos (continuación)
- Paso 1: Transformar de (R,G,B) a (X,Y,Z)
- Paso 2: Transformar de (X,Y,Z) a (L^*,a^*,b^*)
- Paso 3: Comparar L^* y la imagen de alta resolución
- Paso 4: Reemplazar L^* por la imagen de alta resolución
- Paso 5: Transformar (L^*,a^*,b^*) otra vez a (X,Y,Z) y (R,G,B)

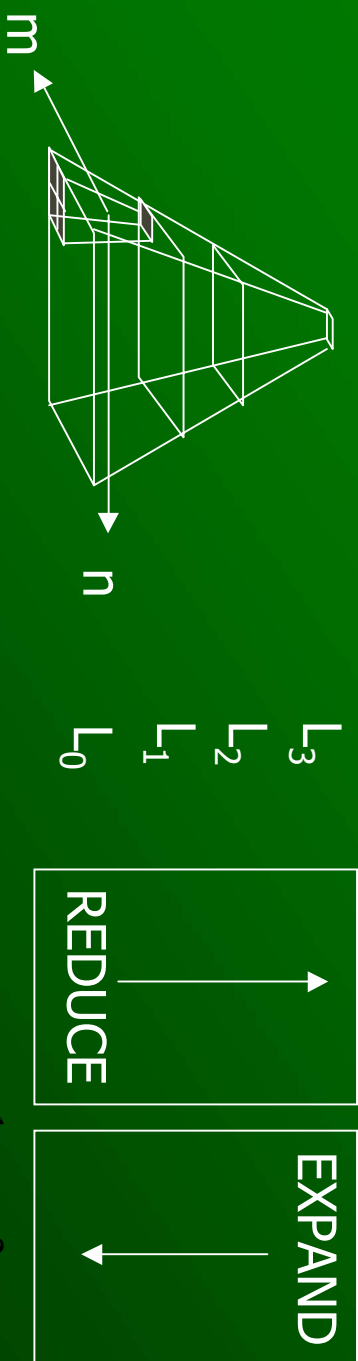
Fusión escala-espacio

- Piramides de resolucion de imagen
- Incluye efivientemente escalas globales intermedias y locales en los análisis
- Piramide: $i_L = \text{REDUCE}(i_{L-1})$
- Ejemplo del operador REDUCE:
 - 2×2 hace la media con muestras iguales o menores a lo largo de filas y columnas



Fusión escala-espacio

- Piramides de resolucion de imagen(continuación)



- Operador REDUCE

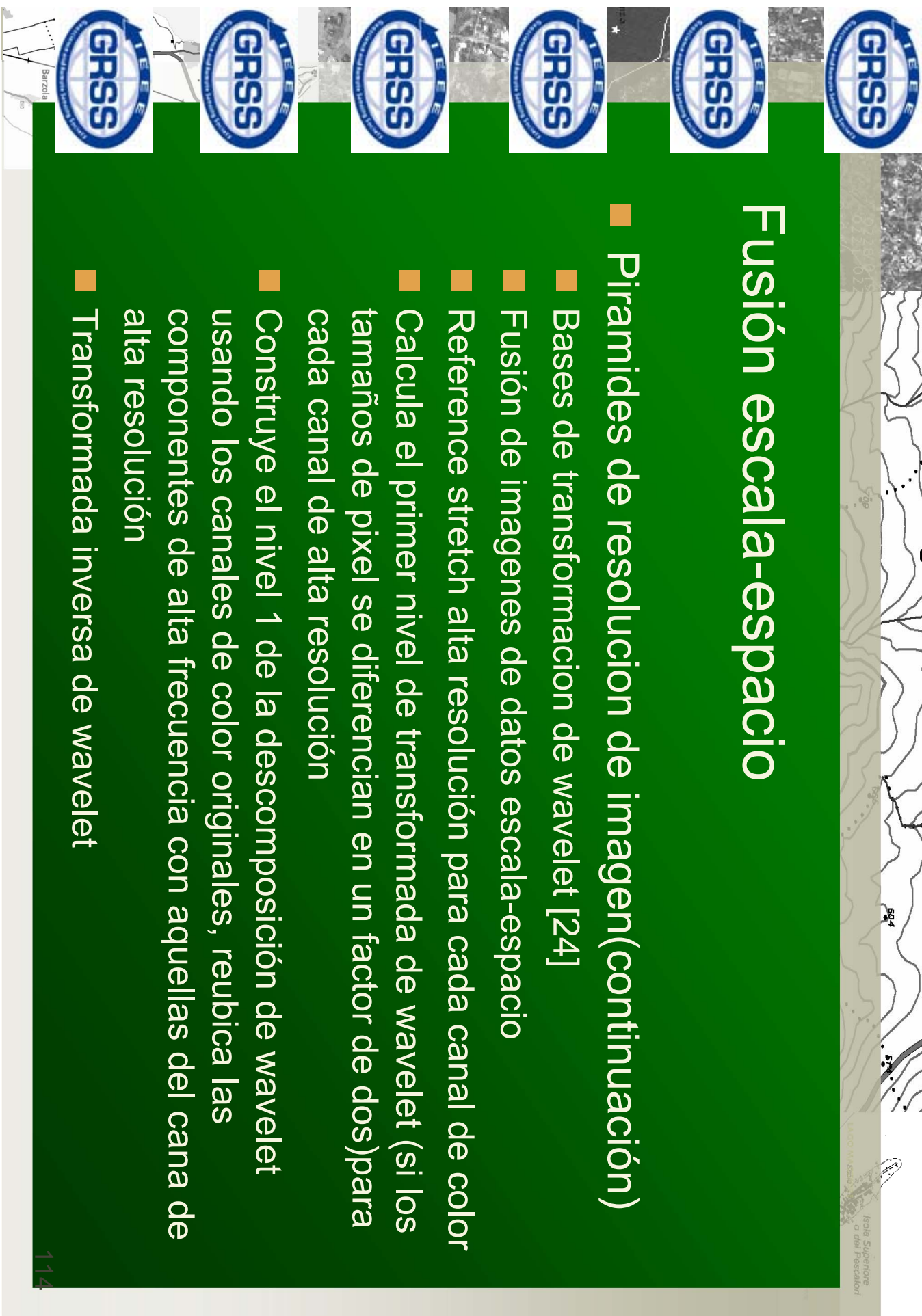
$$w_{mn} = w_m^1 \cdot w_n^2$$

$$w = [0.25 - a/2 \quad 0.25 \quad a \quad 0.25 \quad 0.25 - a/2]$$

- $a=0.4$: Piramide gausiana

Fusión escala-espacio

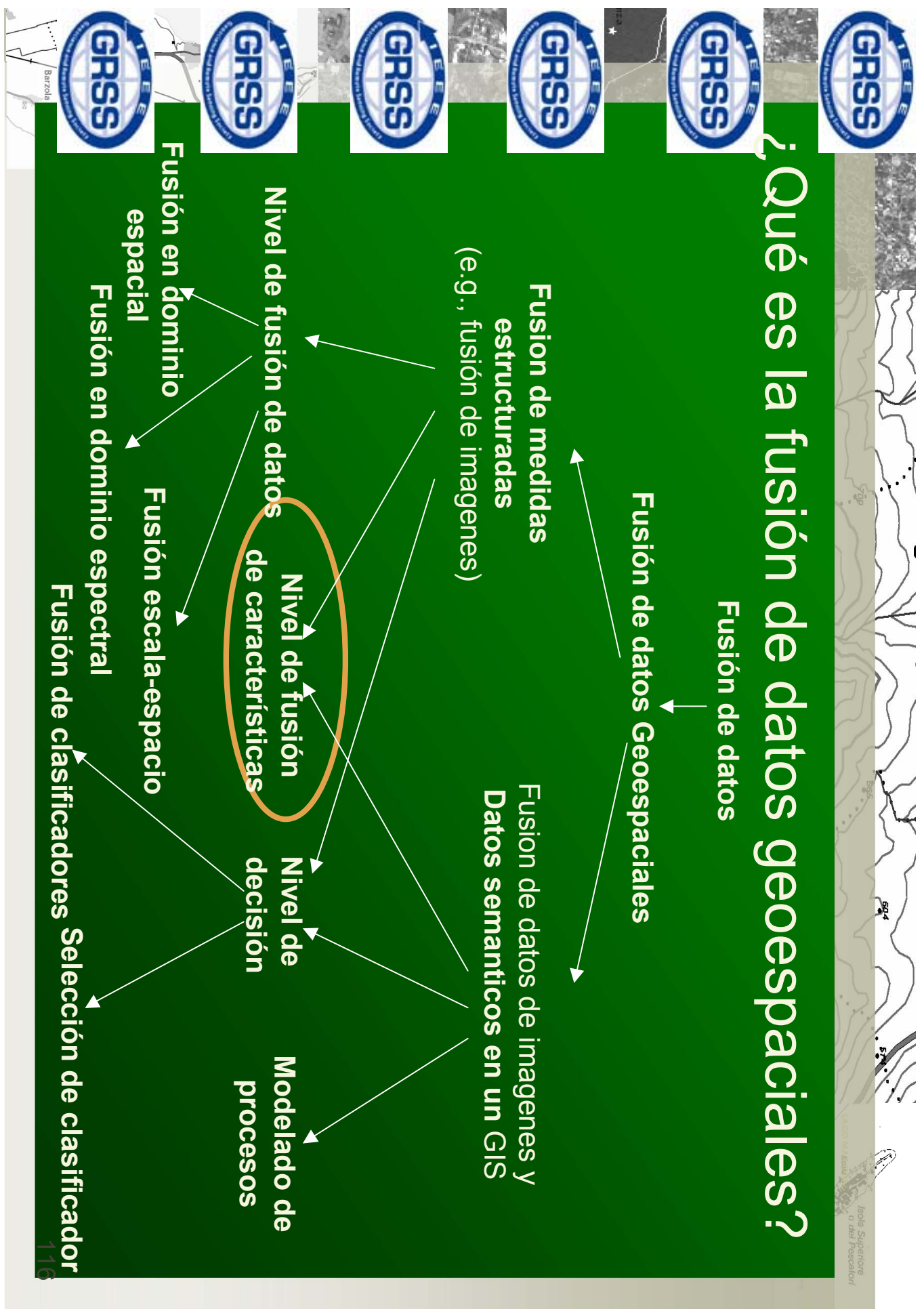
- Piramides de resolucion de imagen(continuación)
- Bases de transformacion de wavelet [24]
- Fusión de imagenes de datos escala-espacio
- Reference stretch alta resolución para cada canal de color
- Calcula el primer nivel de transformada de wavelet (si los tamaños de pixel se diferencian en un factor de dos)para cada canal de alta resolución
- Construye el nivel 1 de la descomposición de wavelet usando los canales de color originales, reubica las componentes de alta frecuencia con aquellas del canal de alta resolución
- Transformada inversa de wavelet



Índice parte 1

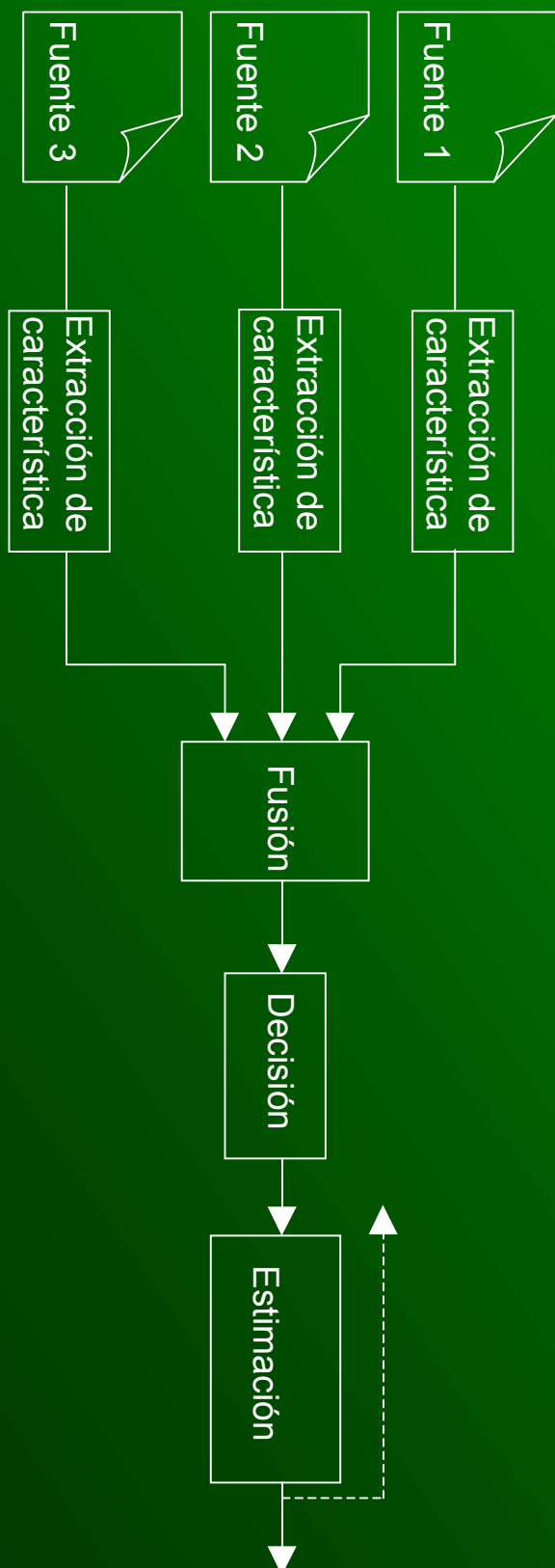
- Introducción
- ¿Qué es la fusión de datos geoespaciales?
- Condiciones necesarias para la fusión de datos
 - Baio nivel de fusión de datos
 - Nivel de fusión de características
 - Nivel de decisión de fusión de datos
- Modelado
- Conclusiones

¿Qué es la fusión de datos geoespaciales?



Nivel de fusión de datos de vectores de características

Nivel de fusión de datos de vectores de características



Nivel de fusión de datos de vectores de características

- Antes de la fusión, las características(medidas) son extraídas de los datos originales
- Características Multiespectrales
- Geometricas(límites, líneas, esquinas)
- Estructurales (regiones, área, orientación, etc)
- Estadísticas (textura)
- Espectrales (NDVI)
- Otras
- Muchas características son implementadas como filtros [25]
- Mejora de la señal para la interpretación del fenómeno de interés

Nivel de fusión de datos de vectores de características

- Conceptos importantes(orientación al reconocimiento de patrones)
- Característica espacio
- Característica vector
- Optimización de la característica vector(selección, reducción, subselección, transformación)
- Normalización
- Definición de función de objetivo,criterio de decisión,funcion de criterios, funciones discriminantes, ...
- Entrenamiento y selección de parámetros
- Encontrar una solución para el discriminante o función objetivo

Nivel de fusión de datos de vectores de características

- Tipos de características
 - Bandas espetrales
 - Características basadas en operador
 - Pixels alrededor de una pequeña ventana: *Filtros*
 - Ejemplo: media de 5×5
 - Características basadas en estadística
 - Ej., Método de dependencia espacial del nivel de gris
 - Características en el dominio transformado
 - E.g., Subimagen de espectro de potencia (PS)
 - Basado en características de PS
 - Otras

Nivel de fusión de datos de vectores de características





Nivel de fusión de datos de vectores de características

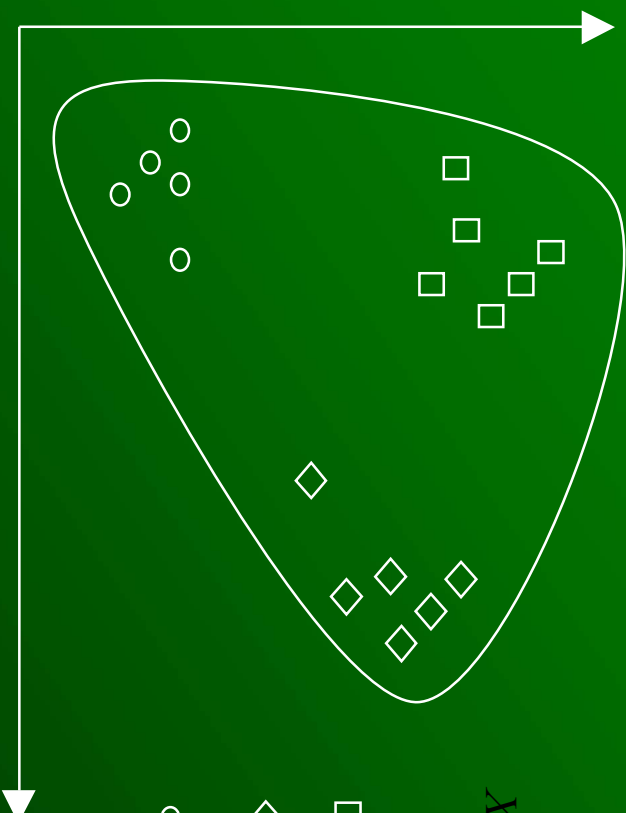
■ Característica espacio y vector

Característica vector

$$X_s = \begin{bmatrix} x_1 \\ x_2 \end{bmatrix} = \begin{bmatrix} DN_3 \\ DN_4 \end{bmatrix}$$

Feature $x_2 = DN_4$

Feature $x_1 = DN_3$



- Crop
- ◇ Light soil
- Dark soil

Nivel de fusión de datos de vectores de características

- Algunas veces, muchas características están disponibles
- Imágenes Hyperespectrales, diferentes sensores
- Selección de características, reducción de parámetros, selección. ¿Porqué?
- El numero requerido de muestras etiquetadas para un análisis supervisado se incrementa como una función de dimension [9, p. 24]
- Por lo tanto, entrenar las muestras es normalmente costosoHowever, training samples are often expensive
- Selección minuciosa y optimización de las características necesarias

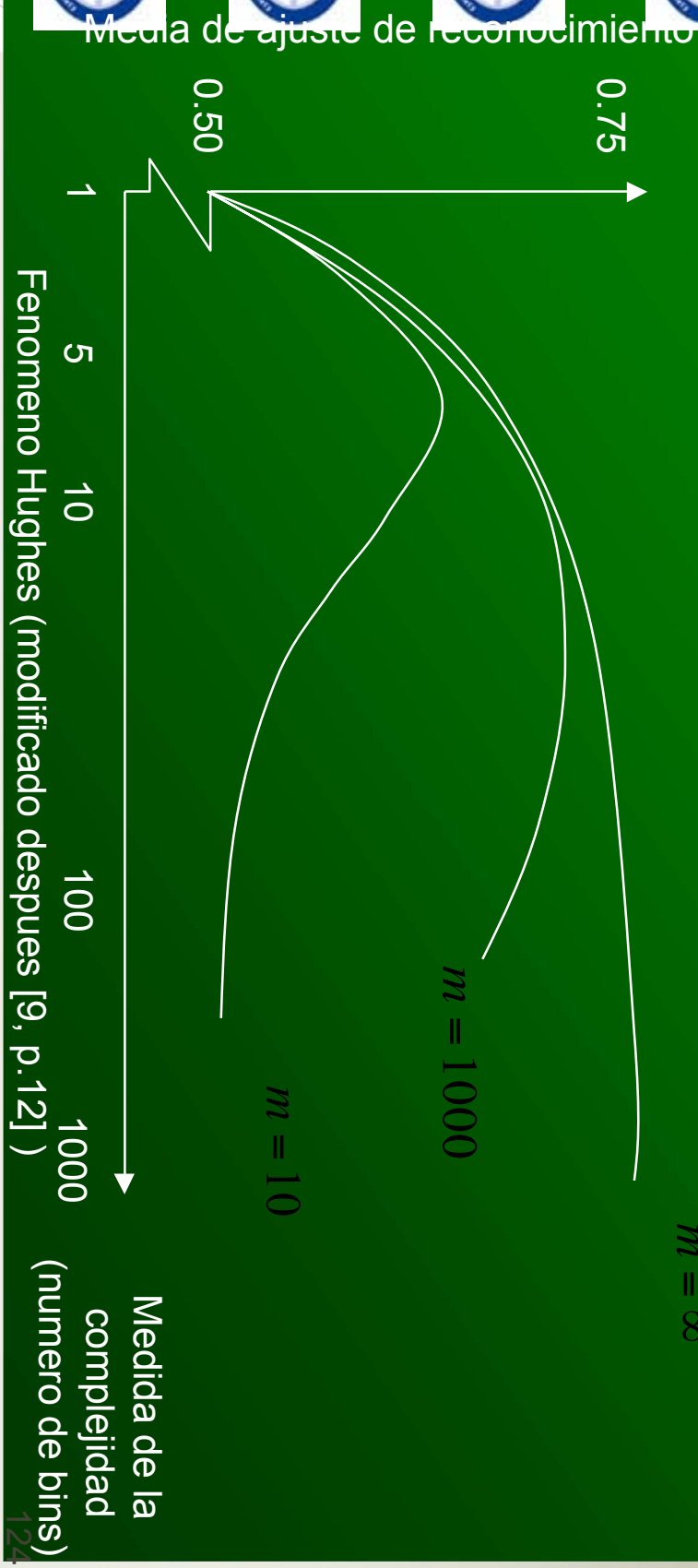
Nivel de fusión de datos de vectores de características

- Fenómeno Hughes: Cuanta mayor informacion tenemos en términos de bandas espectrales, se necesitan mayor numero de pixels entrenadores

$$m = \infty$$

$$m = 1000$$

$$m = 10$$



Nivel de fusión de datos de vectores de características

- Selección de características
 - Seleccionar características basandose en la utilidad para la aplicación
- Reducción de parámetros
 - Transformar la característica espacio para incrementar la representatividad del clasificador
 - Pero todas las características necesitan ser medidas/calculadas, y puede bajar el rendimiento computacional
 - Ejemplo: Componentes principales (Karhunen-Loeve)
- Subselección de características
 - Para disminuir el numero de características iniciales para disminuir la carga computacional

Nivel de fusión de datos de vectores de características

- ¿Cuantas características deberia utilizar?
- Relacionado con
 - Número de muestras de entrenamiento
 - Número de clases
- Regla de la pulgada: Número de muestras de entrenamiento por clase = $(10 \dots 100) * \text{Número de características}$
- Si tiene 100 muestras de entrenamiento por clase , no use mas de 10 características

Selección de características

- Selección de características
 - Extrae de las p características originales las mejores q ($q < p$)
 - Reduce el numero de medidas
-
- Selección de características: Aproximación genérica
 - Definir un criterio para la calidad de la selección
 - Definir un mecanismo de selección
 - Variar la selección de características hasta encontrar la mejor

Selección de características

- Los mejores resultados:
 - Usa el mismo criterio de evaluación en la selección de características como en la clasificación final
 - Usa una búsqueda exhaustiva para encontrar la selección óptima
- Quizas los mejores resultados no son los más prácticos:
 - Muchas, muchas combinaciones
 - Hay estrategias alternativas propuestas en la literatura
 - Para definir criterios de selección
 - Para mecanismos de búsqueda

Selección de características

- Ejemplos de criterios de evaluación
 - Método de divergencia
 - Distancia de Bhattacharrya
 - Test de Wald
- Ejemplos de mecanismos de selección
 - Aproximación de selección hacia delante
 - Aproximación de selección hacia atrás

Selección de características

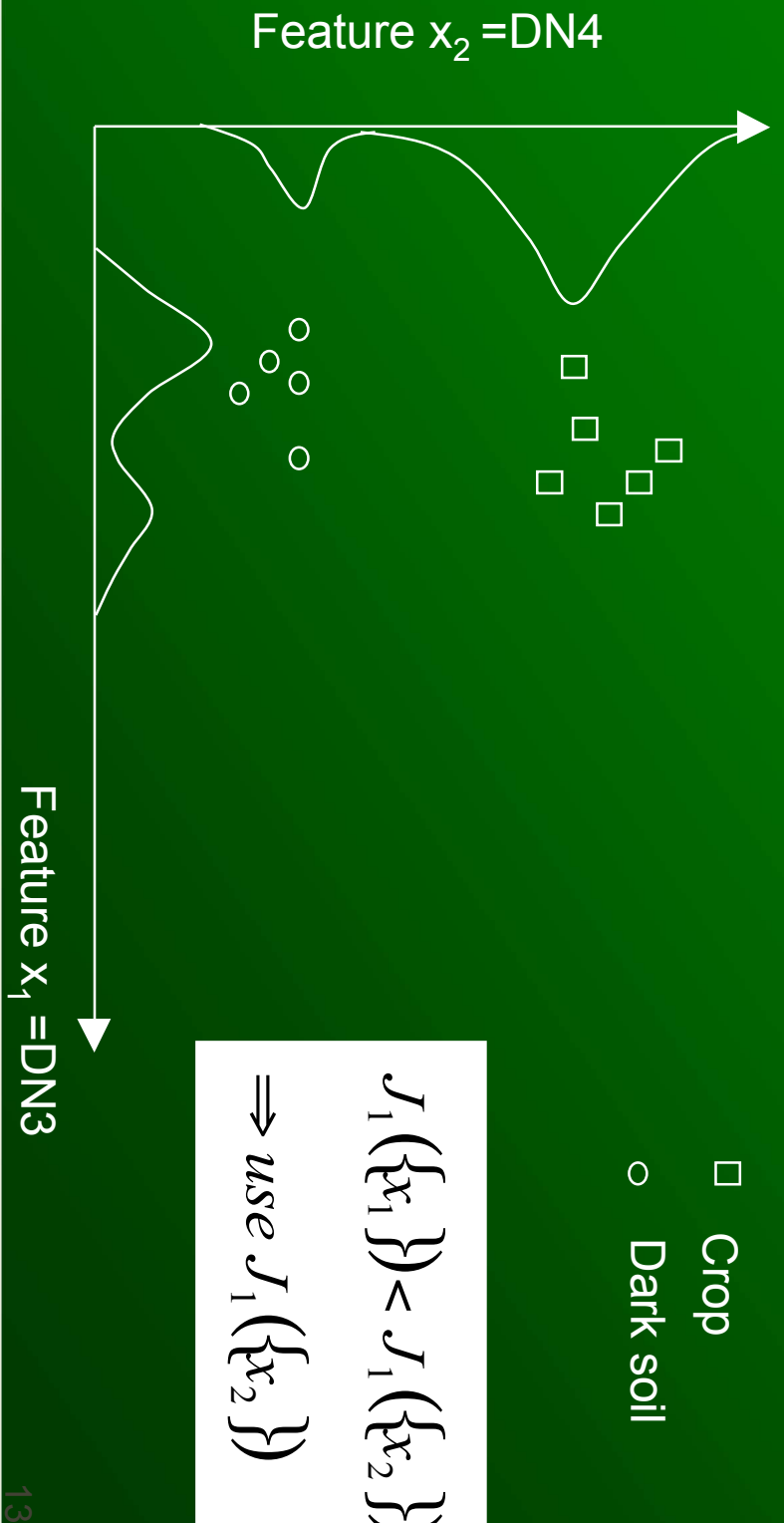
- Ejemplo de criterio de divergencia:
- Define un vector de características X_s^q usando q características
- Calcula desde el entrenamiento de los datos para cada clase L los valores para C_L^q y M_L^q .
- Calcula la función de criterio
- Ejemplo problema de dos clases: Criterio de divergencia

$$J(X^q) = \frac{1}{2} \text{tr} \left\{ C_{\omega_o}^{q^{-1}} + C_{\omega_b}^{q^{-1}} \left(M_{\omega_b}^q - M_{\omega_o}^q \right) \left(M_{\omega_b}^q - M_{\omega_o}^q \right)^T \right\} \\ \frac{1}{2} \text{tr} \left(C_{\omega_o}^{q^{-1}} C_{\omega_b}^q + C_{\omega_b}^{q^{-1}} C_{\omega_o}^q - 2I \right)$$

Ejemplo detallado

Selección de características

Ejemplo criterio de divergencia



Selección de características

- Ejemplo de selección hacia delante desde 5 a 3
características

$$X_s = [x_1]_s \quad [x_2]_s \quad [x_3]_s \quad [x_4]_s \quad [x_5]_s \quad J_1(\{x_i\})$$

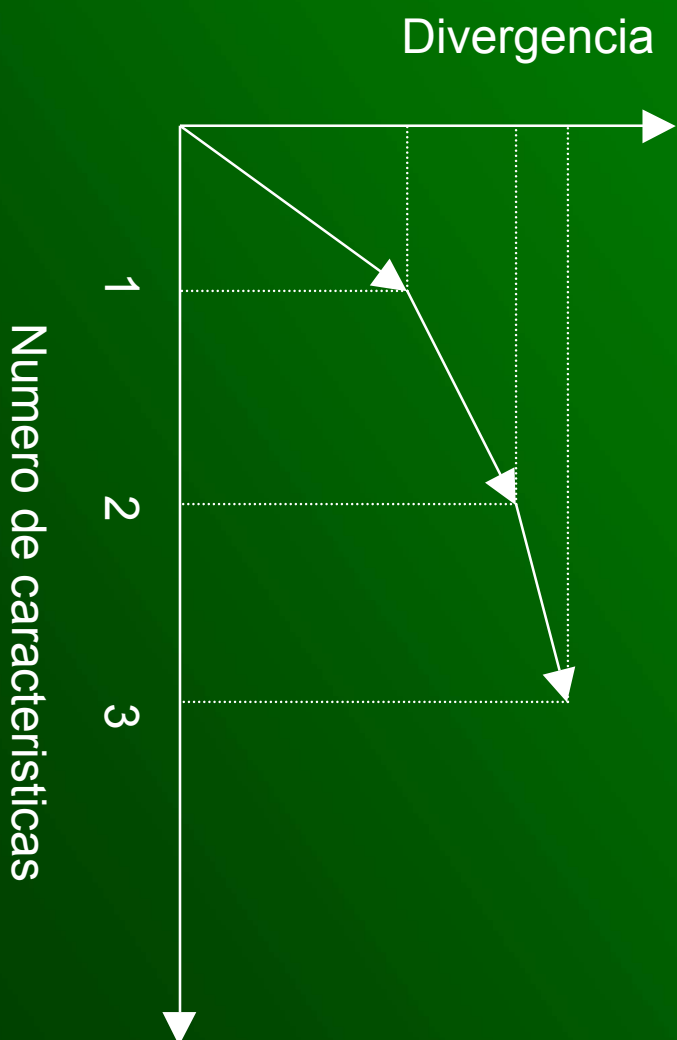
$$X_s = [x_2]_s \quad [x_3]_s \quad [x_4]_s \quad [x_5]_s \quad J_2(\{x_2, x_i\}) \quad i \neq 2$$

$$X_s = [x_2]_s \quad [x_3]_s \quad [x_4]_s \quad [x_5]_s \quad J_3(\{x_2, x_3, x_i\}) \quad i \neq 2, 3$$

Minima divergencia

Selección de características

- Ejemplo de selección hacia delante desde 5 a 3
características

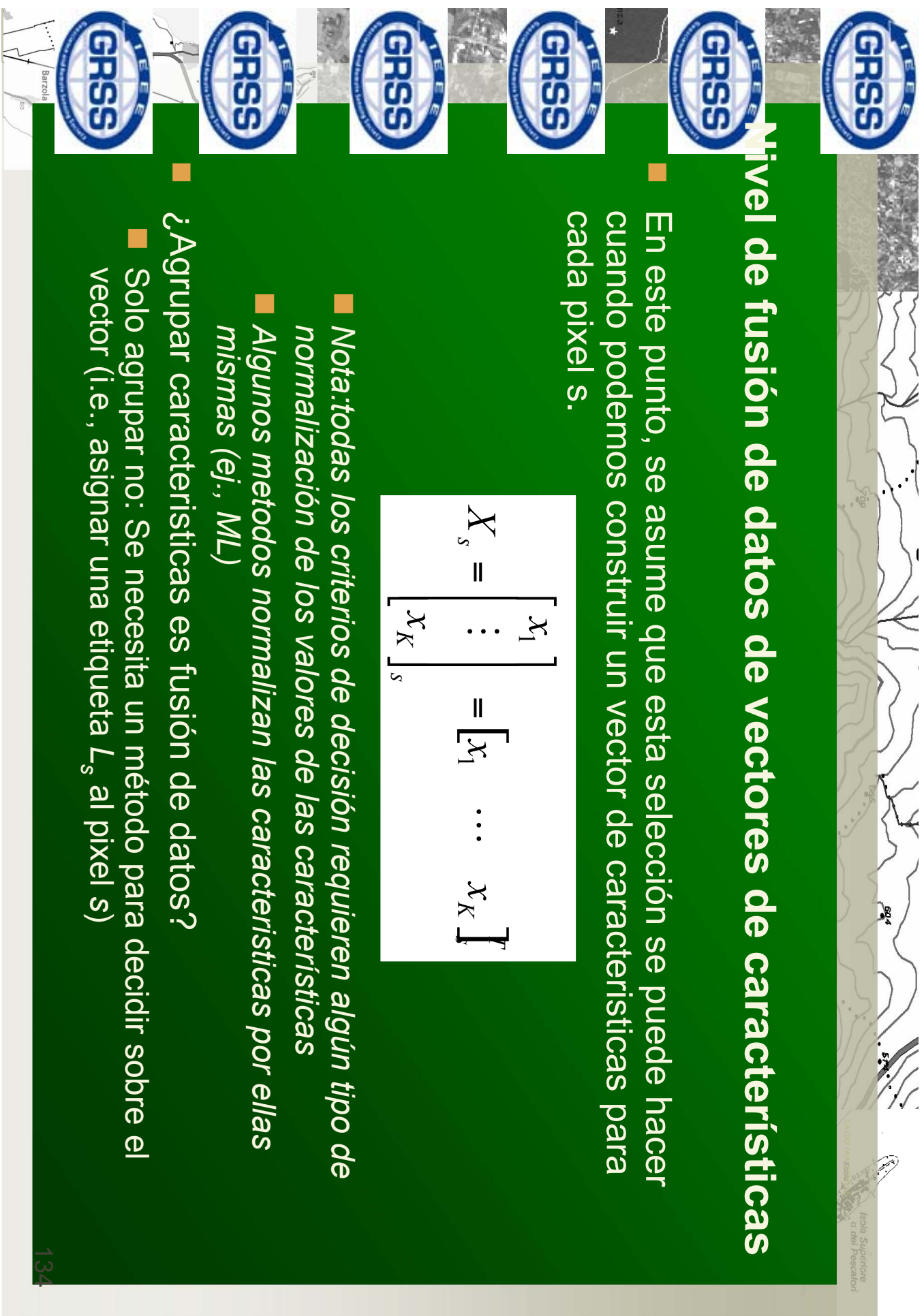


Nivel de fusión de datos de vectores de características

- En este punto, se asume que esta selección se puede hacer cuando podemos construir un vector de características para cada pixel s .

$$X_s = \begin{bmatrix} x_1 \\ \vdots \\ x_K \end{bmatrix}_s = [x_1 \quad \cdots \quad x_K]^T$$

- Nota: todas las criterios de decisión requieren algún tipo de normalización de los valores de las características
- Algunos métodos normalizan las características por ellas mismas (e.g., ML)
- ¿Agrupar características es fusión de datos?
 - Solo agrupar no: Se necesita un método para decidir sobre el vector (i.e., asignar una etiqueta L_s al pixel s)

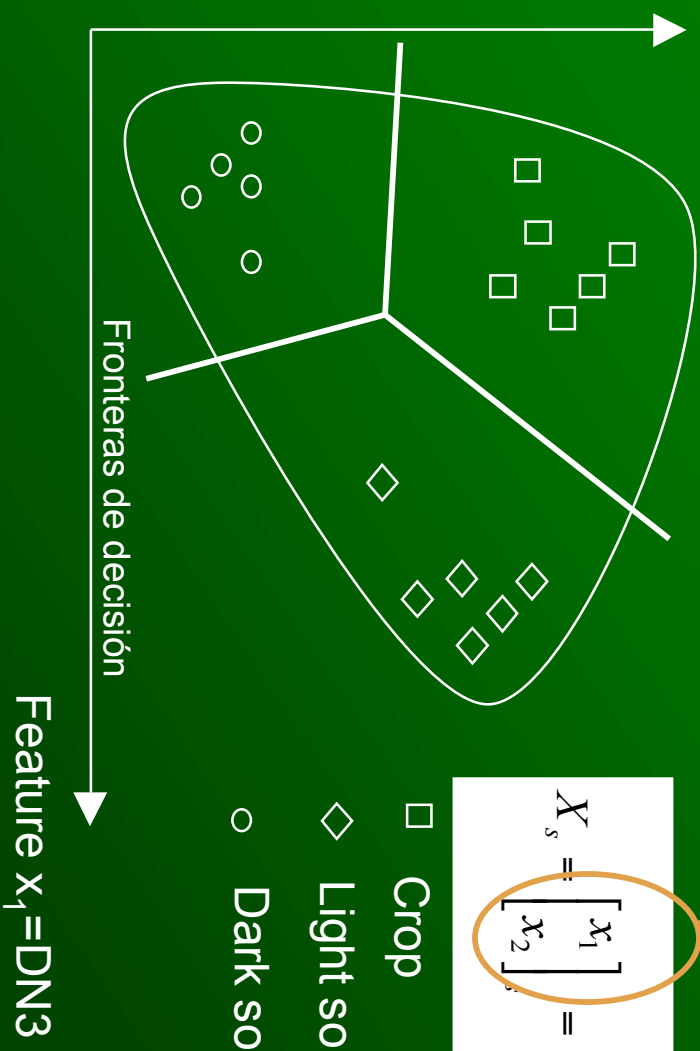




Nivel de fusión de datos de vectores de características

Ejemplo de fronteras de decisión

Fusión de características



Nivel de fusión de datos de vectores de características

- Alternativas para interpretar vectores de características

- Sistemas expertos

```
if (x1>65) and (x2<32) and (x3>25) then  
    Ls = "forest";  
else if (x3>10) and (x3<20) then  
    Ls = "urban";
```

Funciones
Dicriminantes

- Clasificadores Fuzzy
- Redes de creencia
- Redes neuronales
- ML / Incidencia Bayesiana

Definición de funciones discriminantes

■ Encontrados normalmente en software comercial:

Clasificador	Ventajas	Desventajas
Paralelepipedo	Rapido, simple, de libre distribución	Debido a las esquinas, los pixels pueden ser clasificados por la media espectral
Distancia mínima	No hay pixels no clasificados, rápida	No considera la covarianza de las clases
Regla de decisión de Mahalanobis	Tiene en cuenta la covarianza de la clase	Sobreclasificación de datos con grandes valores de covarianza, asume distribución normal.
ML / Bayesiana	Relativamente afinada; se tiene en cuenta la variación de las clases	Costosa; asume una distribución normal; sobreclasificación de datos con grandes valores en la matriz de covarianza.
Red neuronal	Libre distribución; rápido después de entrenamiento	Entrenamiento lento; sin bases teóricas; convergencia estocástica.

Definición de funciones discriminantes

- Regla de Bayes:

$$p(L_s = l | X_s) = \frac{p(X_s | L_s = l)p(L_s = l)}{p(X_s)}$$

$$p(X_s) = \sum_{L_s} p(X_s | L_s)p(L_s)$$

- Regla de decisión de Bayes

if $p(i | X_s) > p(j | X_s)$, for all $j \neq i$, assign pixel to class i

- $P(X_s | i)$ esta estimado por la distribución de datos entrenados
- $P(i)$ es la probabilidad a priori de la clase i .

Ejemplo detallado

Definición de funciones discriminantes

- La regla de decisión de Bayes puede escribirse como:
 - si $D_i(X_s) \geq D_j(X_s)$, para todo $j \neq i$, asignamos el pixel a la clase i , donde , por ejemplo:

$$D_i(X_s) = \ln[p(i | X_s)p(X_s)] = \ln[p(X_s | i)p(i)]$$

- En el caso de una distribución normal (paramétrico),

$$D_i(X_s) = \ln[p(i)] - \frac{1}{2} \left\{ k \ln[2\pi] + \ln|C_i| + (X_s - \mu_i)^T C_i^{-1} (X_s - \mu_i) \right\}$$

Definición de funciones discriminantes

- Si la probabilidad a priori es igual para todas las clases, la función discriminante se convierte en el criterio ML.

```
 maxValue = -LARGE_VALUE;
for (label=0; label<rsm_number_of_classes; label++) {
    Discr_func = 0.0;
    *X = (*T) * feature_vector(i,j);
    Xmeasure = (*X) - (*Xmean[label]);
    Discr_func -= det(trans(conj(Xmeasure)) *
        (*invC[label]) * Xmeasure);
    Discr_func -= logdetC[label];
    if (Discr_func >= maxValue) {
        maxValue = Discr_func;
        maxVallabel=label;
    }
}
labelImage[i+j] = maxVallabel;
```

Definición de funciones discriminantes

- Estimación de la probabilidad a priori es un campo importate en la investigación de fusión de datos

$$D_i(X_s) = \ln[\rho(i)] - \frac{1}{2} \left\{ K \ln[2\pi] + \ln|C_i| + (X_s - \mu_i)^T C_i^{-1} (X_s - \mu_i) \right\}$$

- Objeto de muchos estudios: Markov Random Field / Maximum a-posterior Approach (MRF-MAP)
- La función discriminante reescrita en forma de función objetivo
 - Permite integrar diferentes tipos de información, ej., proceso de etiquetado de regiones

Definición de funciones discriminantes

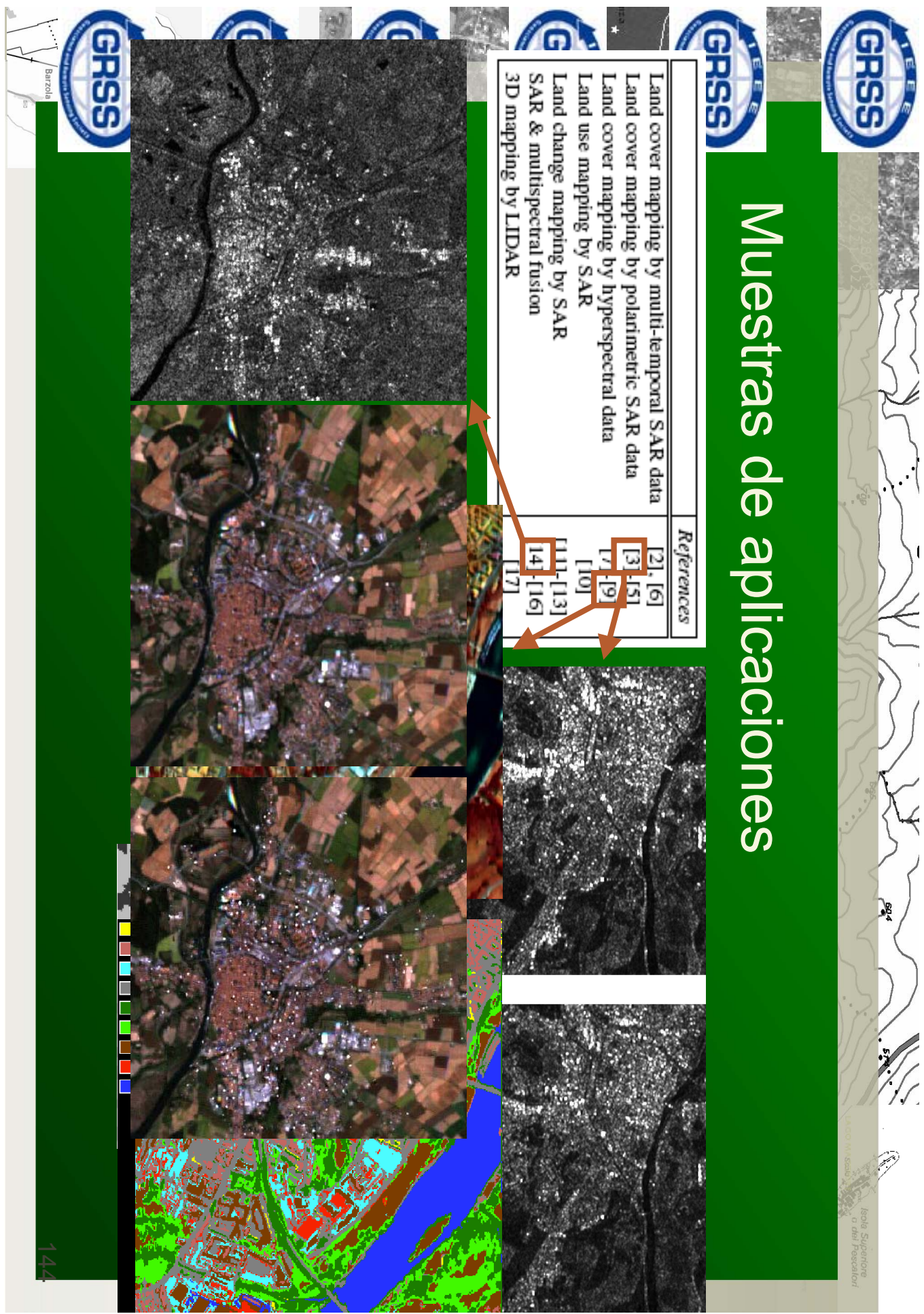
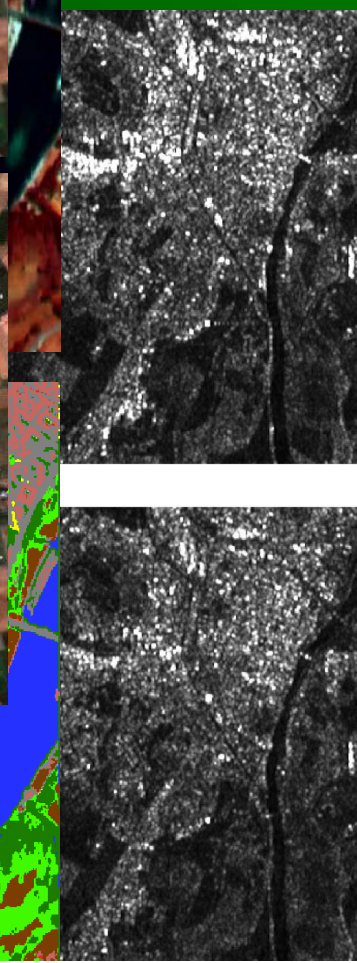
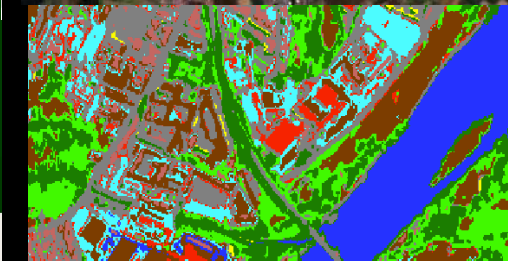
- A veces, los parámetros tienen que ser estimados por las funciones discriminantes
- Métodos Paramétricos vs. no-paramétricos
- Entrenamiento Supervisado vs. no supervisado
- Importante: Número de muestras de entrenamiento
- Ejemplo de clasificador ML:
 - K número de características:
 - Número de muestras de entrenamiento = n° clases * $(K+2)K/2$

Situación y conjuntos de datos



Muestras de aplicaciones

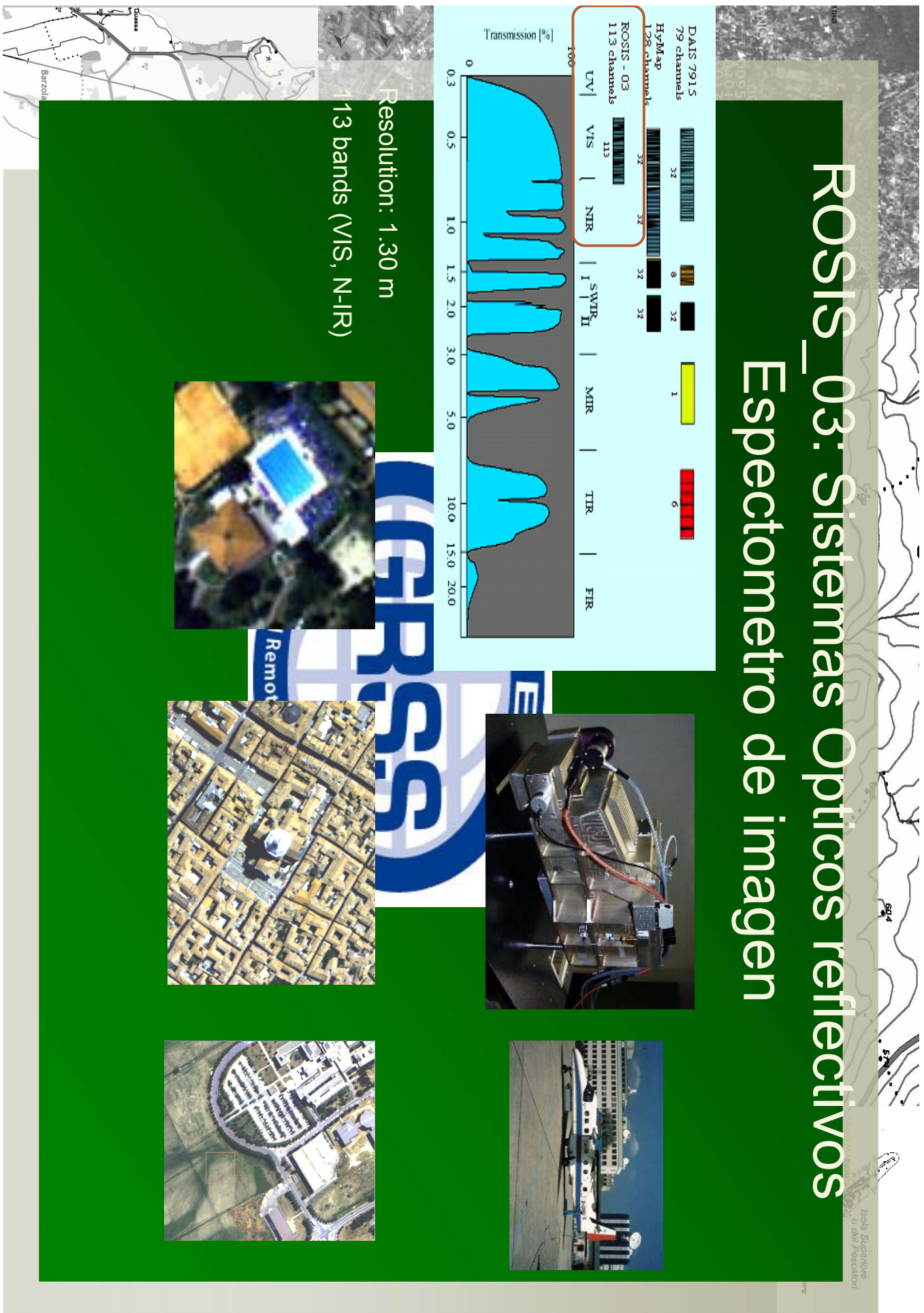
	References
Land cover mapping by multi-temporal SAR data	[2]-[6]
Land cover mapping by polarimetric SAR data	[3]-[5]
Land cover mapping by hyperspectral data	[1]-[9]
Land use mapping by SAR	[10]
Land change mapping by SAR	[11]-[13]
SAR & multispectral fusion	[14]-[16]
3D mapping by LIDAR	[17]



Datos Hiperespectrales

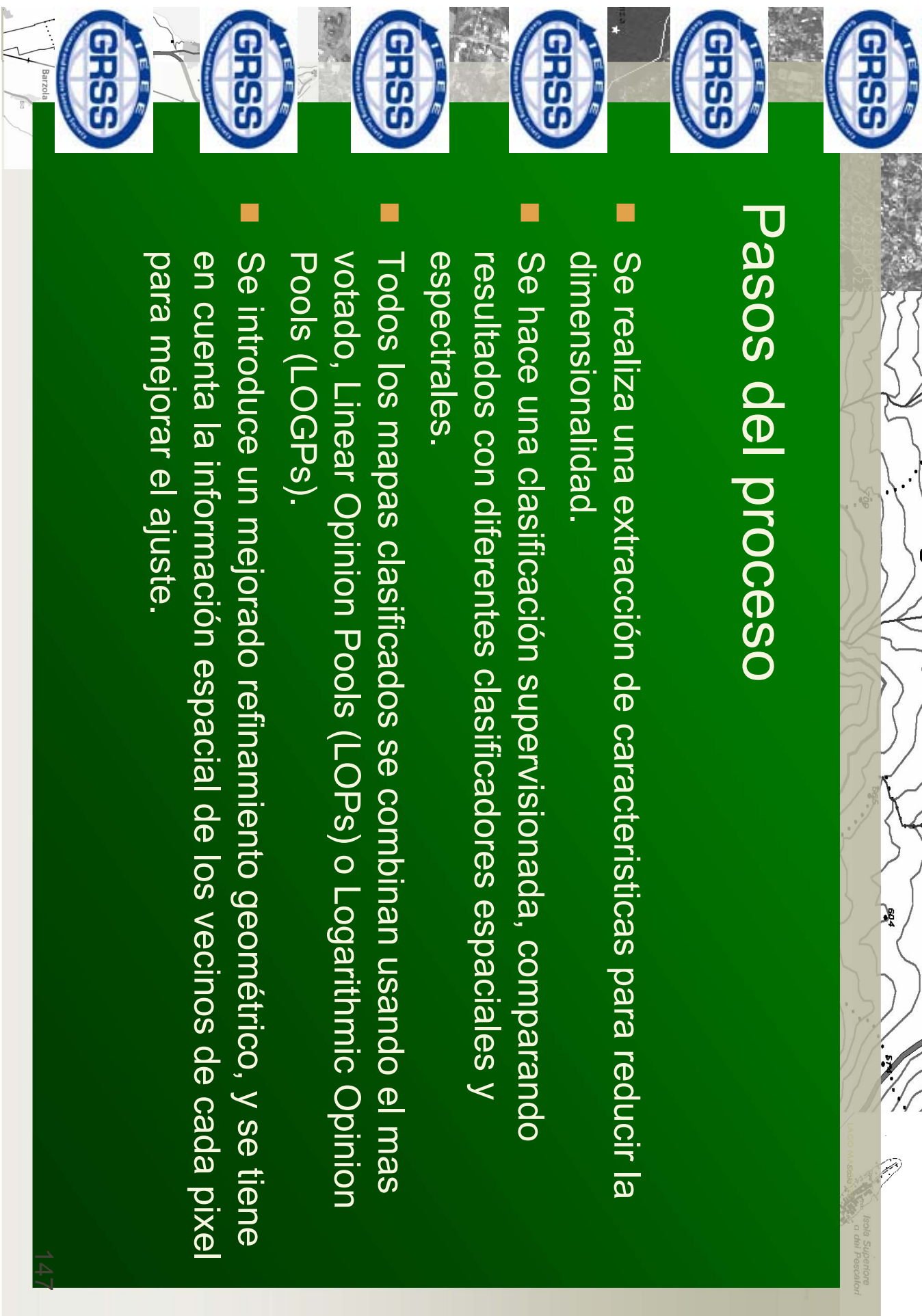
- Un avión DLR voló sobre Pavia en Julio de 2002
- Se recogieron 4 imágenes en 4 rutas diferentes alrededor de Pavia y sus afueras
- 79 bandas con una resolución de suelo de 2.6m(DAIS) y 113 bandas con una resolución de suelo de 1.3m(ROSIS)
- Algunas bandas no disponibles debido a un fallo del sensor
- Corrección Atmosférica
- Registración geométrica Manual

ROSI_S_03. Sistemas Ópticos reflectivos Espectómetro de imagen



Pasos del proceso

- Se realiza una extracción de características para reducir la dimensionalidad.
- Se hace una clasificación supervisada, comparando resultados con diferentes clasificadores espaciales y espectrales.
- Todos los mapas clasificados se combinan usando el mas votado, Linear Opinion Pools (LOPs) o Logarithmic Opinion Pools (LOGPs).
- Se introduce un mejorado refinamiento geométrico, y se tiene en cuenta la información espacial de los vecinos de cada pixel para mejorar el ajuste.



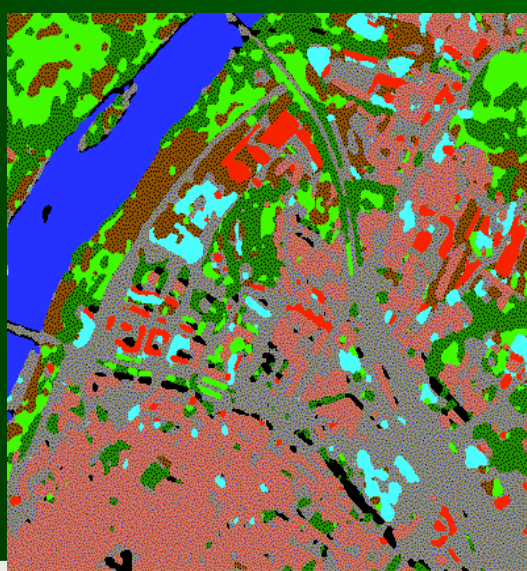
Resultados de la Multiclasificación

El algoritmo de mayoría de voto da el mejor resultado, con un 97.5% de ajuste.

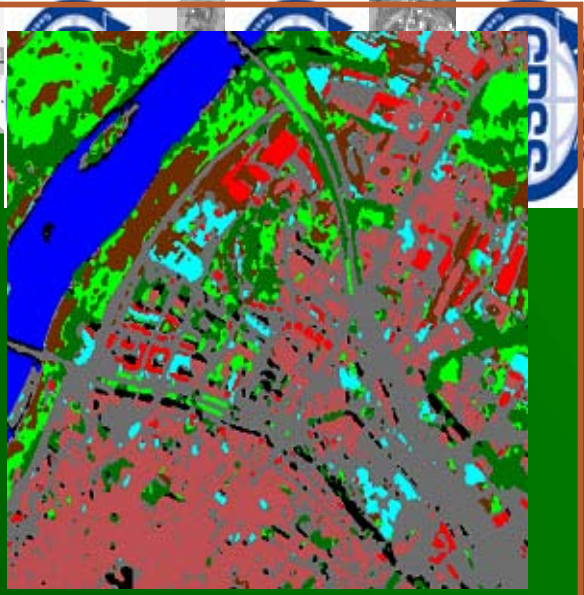
- Aplicando clasificadores espaciales se mejora el ajuste:

El ajuste es prácticamente igual...

Una clasificación espacial 3x3, se prefiere gracias a su mejor resolución espacial



5 x 5 window: 97.8%



3 x 3 window: 97.7%



Re-procesamiento geométrico de los datos DAIS

- Introducimos un conocimiento a priori de que los edificios normalmente tienen forma rectangular(o ángulos de 90°)



ROSIS vs. DAIS

- Hemos usado las mismas áreas de test, pero necesitamos re-proyectar manualmente las áreas de entrenamiento, por problemas con distorsiones geométricas.
- Obtenemos una mejor caracterización para algunas clases, pero en general una clasificación mucho mejor usando datos DAIS..
- Mejores resultados para el análisis del estado de vegetación (parte del proyecto que actualmente continua).

ROSIS – Engineering School

9 clases: árboles, asfalto, bitumen, grava, metal, sombra, parking, meadow, tierra, con 3921 puntos de entrenamiento
► ECHO: 71.5 %

Mahalanobis: 72.2 %

DBFE: 81.6 %

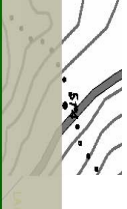
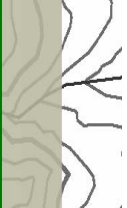
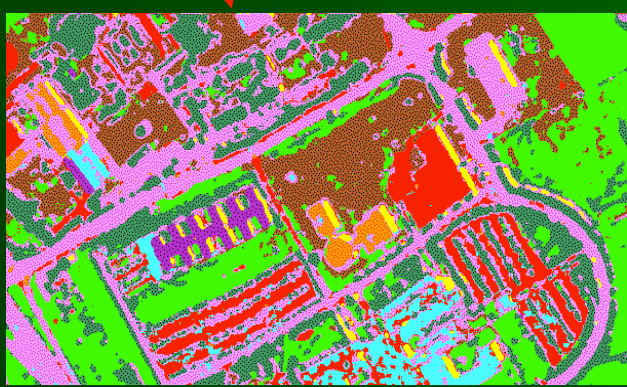
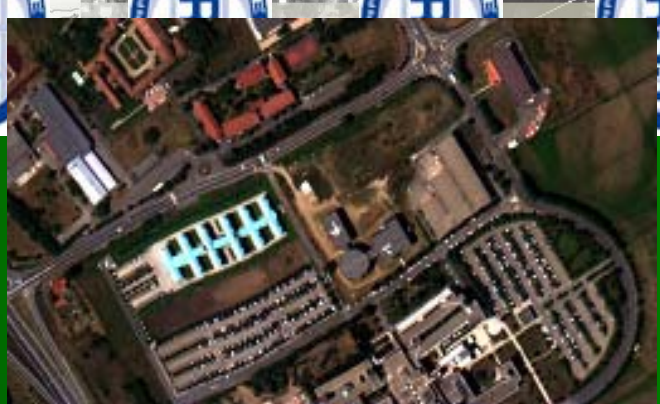
Artmap, DBFE: 79.3 %

Reclasificación espacial [5*5]

Artmap DBFE: 90.7 %

Multiclassificación + Análisis Espacial [5*5]: **91.4 %**

Comentarios:
Las deformaciones geométricas son evidentes
Área slightly different
Artmap espacial tiene un buen resultado



ROSI S – City center

9 clases: agua, asfalto, parking, bitumen, ladrillo, sombra, meadow, tierra, con **7456 puntos de entrenamiento**.

Mahalanobis: 94.6 %
Artmap, DAFF: 97.1 %

Fisher: 95.94 %
DAFF: 97.8 %



- Los mismos comentarios:**
- Deformaciones geométricas evidentes
 - Dos líneas de vuelo diferentes
 - Muy buenos resultados con Artmap
 - Cobertura urbana más homogénea que en el caso anterior

Multiclassification +
Spatial Analysis [5*5]:

99.3 %



Como obtenemos los datos?

Ahora, gran parte de estos datos están disponibles para otros investigadores. Algunos de ellos componen el Pavia data set, disponible a los miembros del comité técnico 7 “*Remote Sensing*” (TC7) de la Asociación Internacional para el Reconocimiento de Patrones (IAPR). En la web del TC7 está disponible una descripción de los datos y como obtenerlos (<http://www.iapr-c7.org>).

Basicamente se requiere ser miembro de una de las asociaciones nacionales miembros de IAPR y pedirlo por email al TC7.

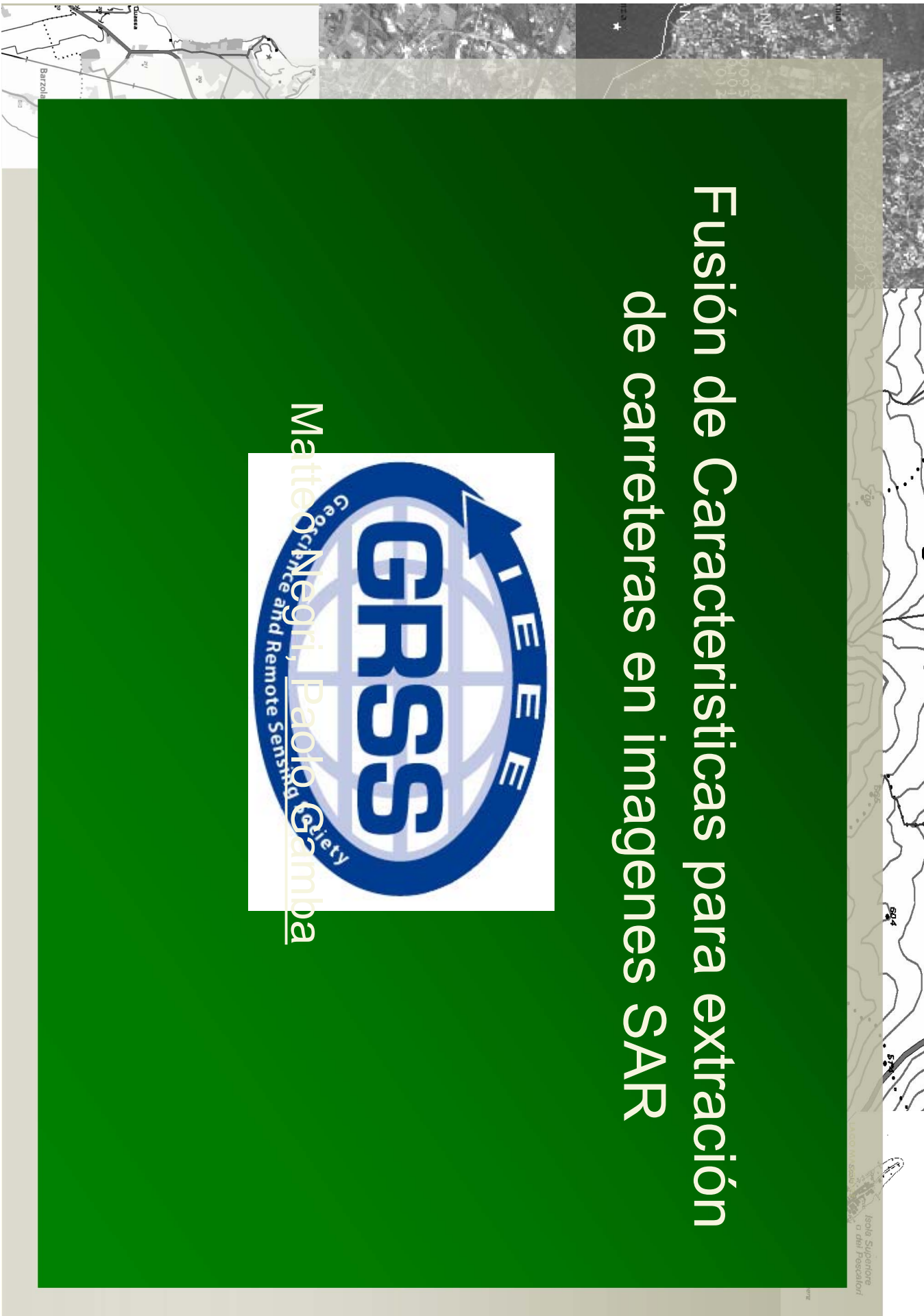
Se ha firmado un memorandum de entendimiento (MOU) entre IAPR y la Sociedad de Geociencia y Teledetección de IEEE (GRSS). Permite a los miembros de GRSS del comité de Fusión de Datos compartir esta información así como otras librerías y datos teledetectados.



Isola Superiore
o del Pescatore

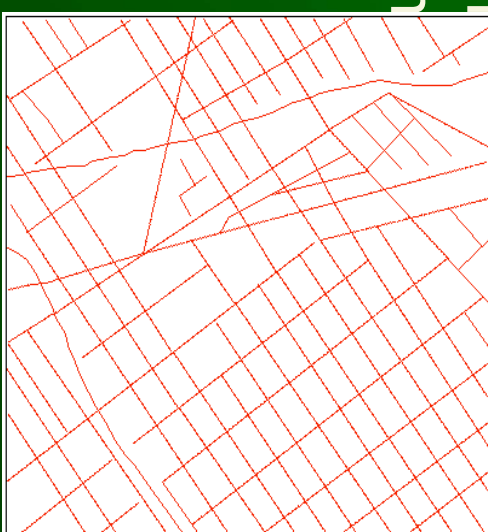
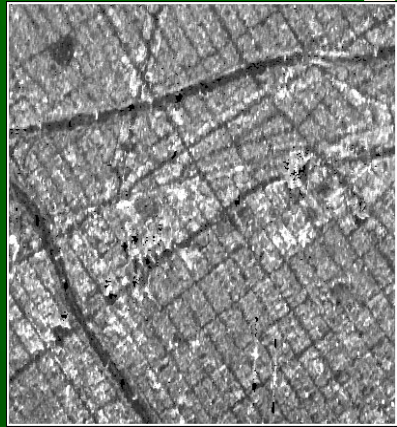
Fusión de Características para extracción de carreteras en imágenes SAR

Matteo Negri, Paolo Gamba
Spatial Entity and Remote Sensing

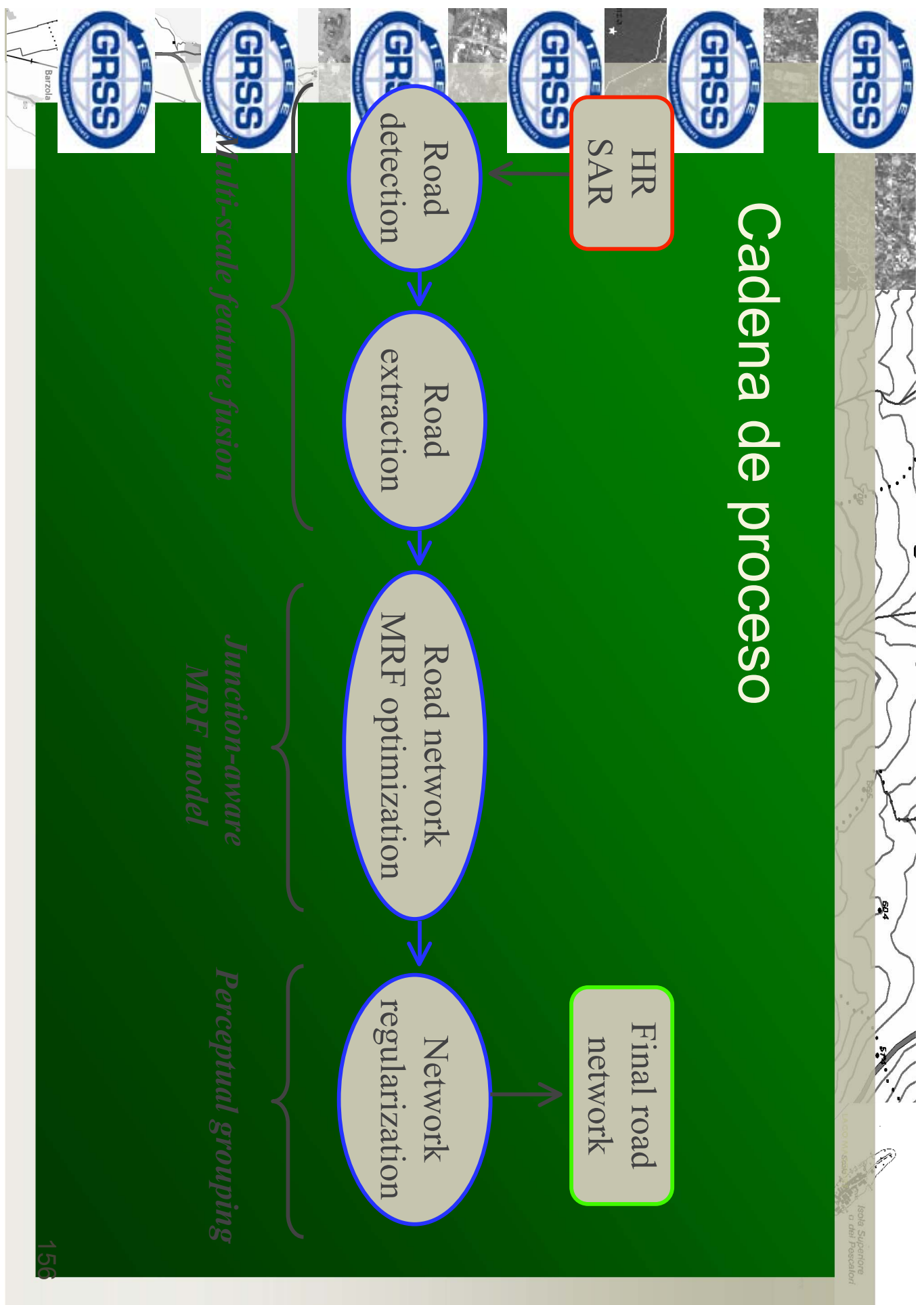


Finalidad de este trabajo

- Extraer carreteras de imágenes SAR de alta resolución de áreas urbanas y su combinación en una red de carreteras mediante la integración de las imágenes

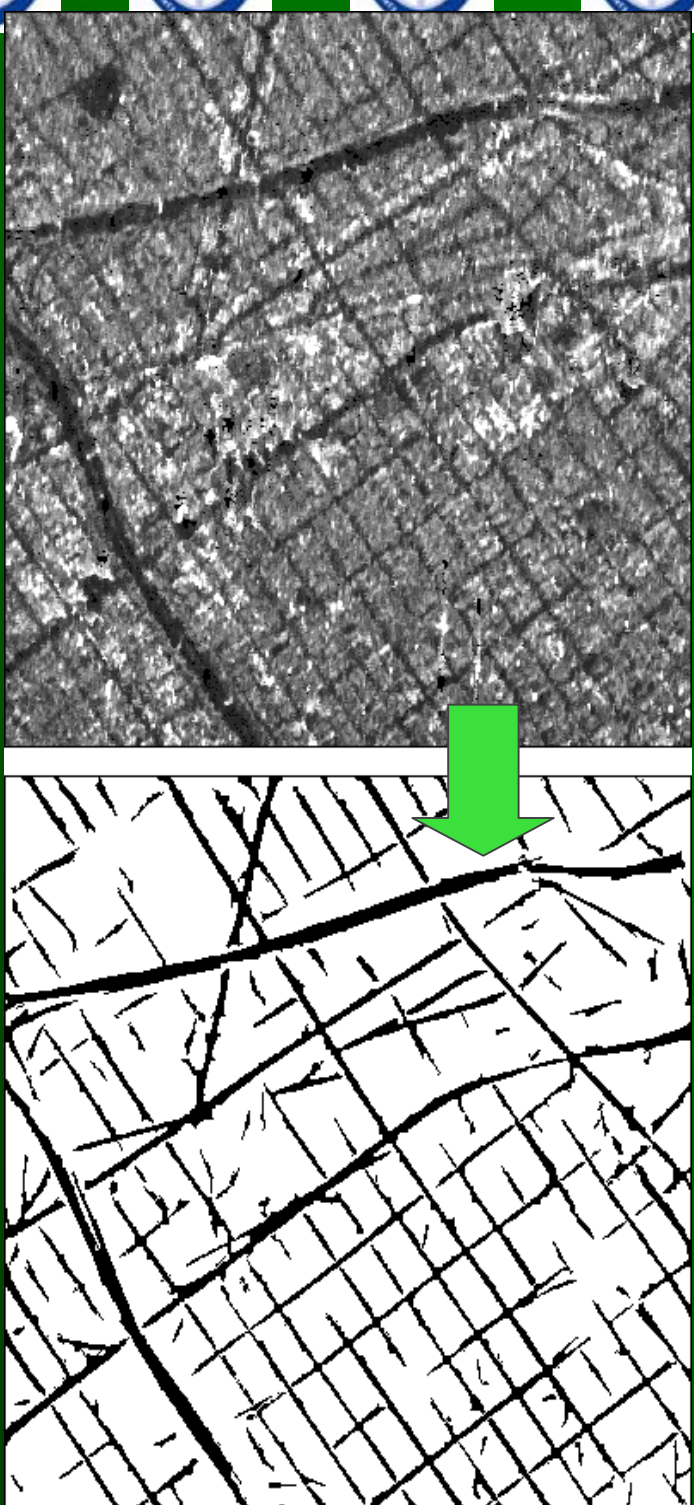


Cadena de proceso



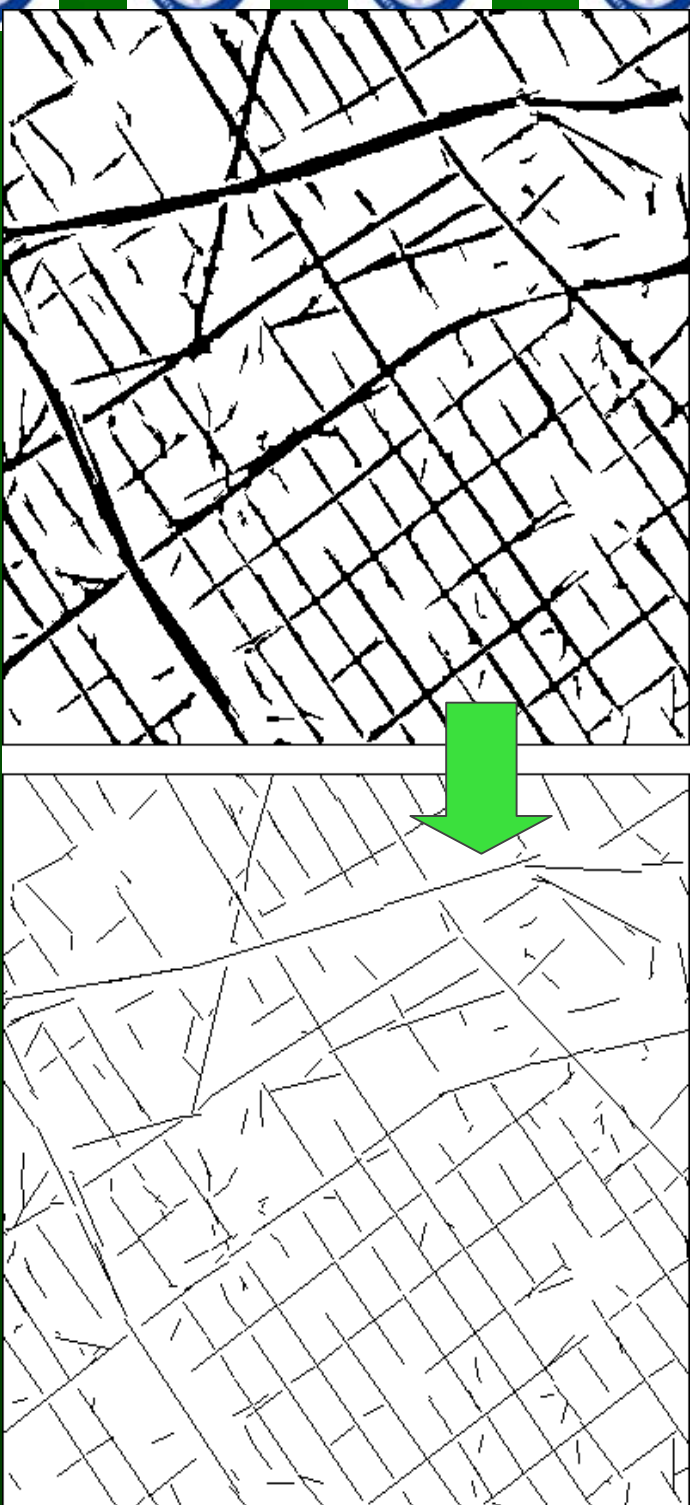
Fusión de características multi-escala 1

■ Detección de áreas de carretera



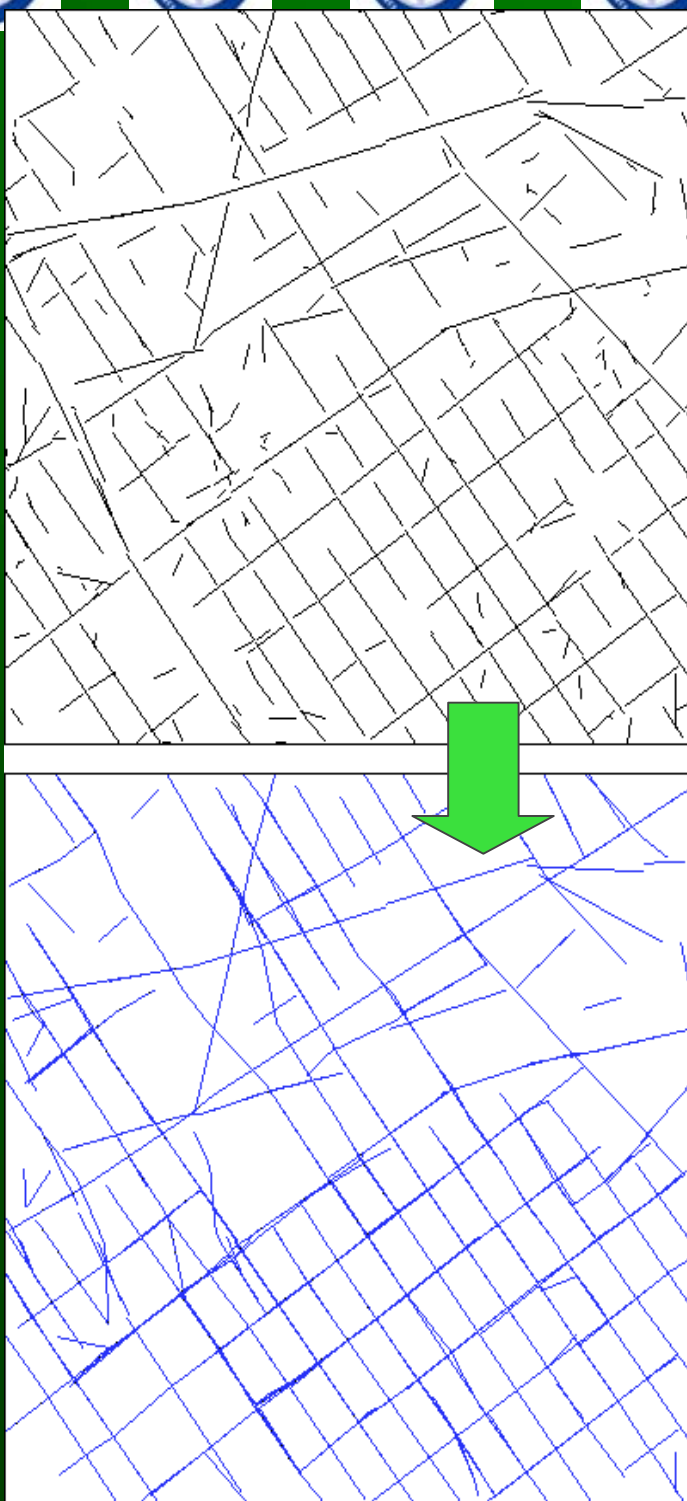
Fusion de características multi-escala 2

■ Extracción de candidatos a carretera



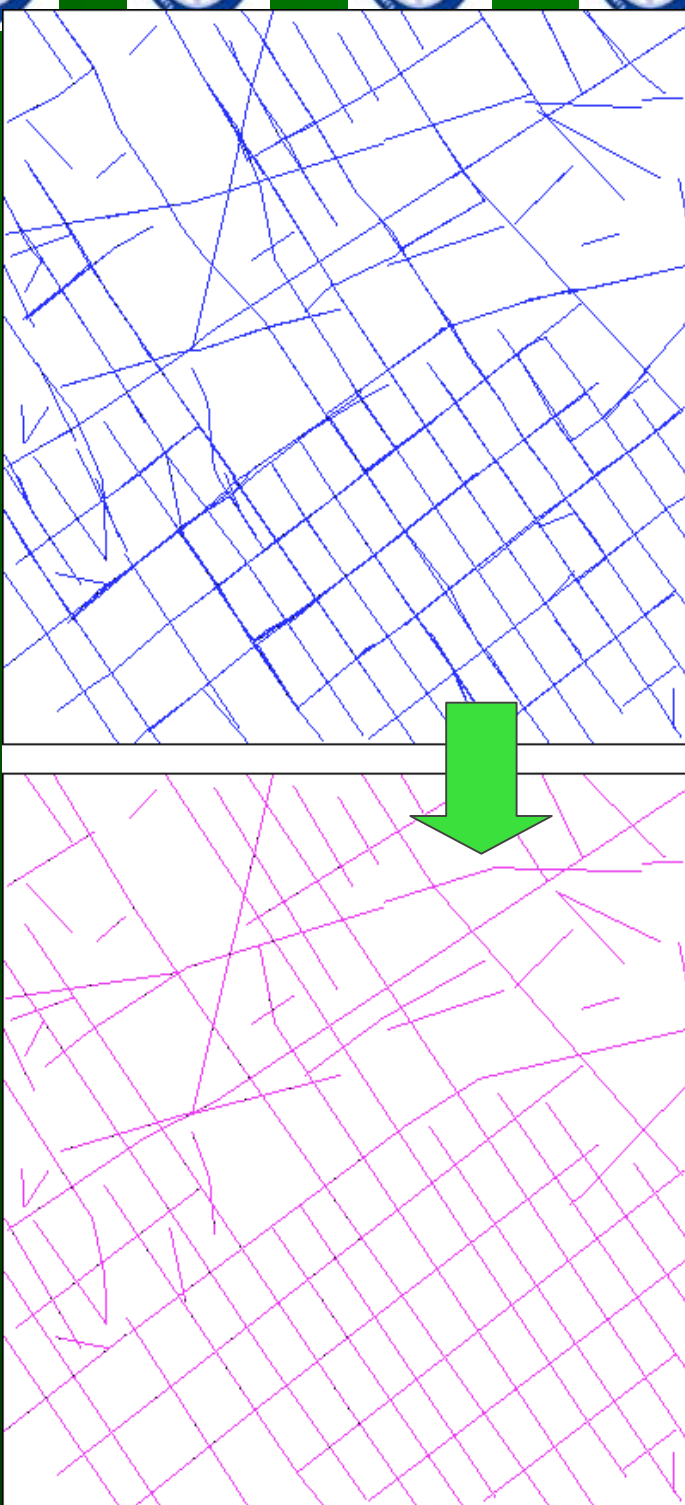
Junction-aware MRF model

- Optimización de la red de carretera via MRF



Network regularization

■ Reglas de agrupamiento percencual



Detección de carreteras

HR
SAR

Road
detection

Road
extraction

Multi-scale feature fusion

- En imágenes SAR, las carreteras no son mas que un subconjunto de datos
- De hecho, normalmente aparecen como áreas largas y oscuras, con flancos laterales brillantes

- Los flancos paralelos, quizás, identifican otras estructuras (edificios) y las áreas de baja reflectancia tienen una respuesta espectral similar.

Multiple feature extraction

- La baia reflectancia se obtiene minimizando el valor

$$r(i, j, R, \theta) = \sum_{k=-R/2}^{R/2} p([i + k \cos(\theta)], [j + k \sin(\theta)])$$

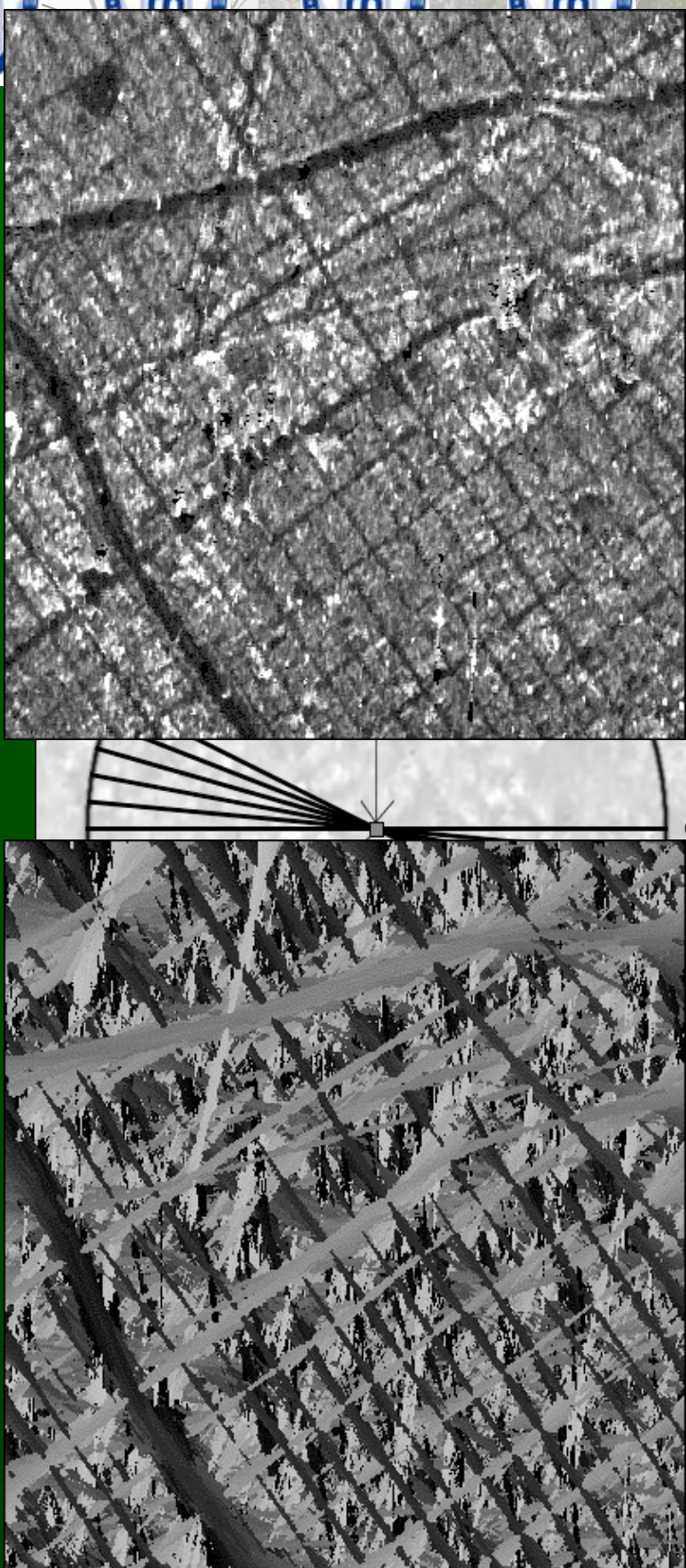
- Se retiene la dirección de interés

$$\theta_0(i, j, R) = \arg \min_{\theta} r(i, j, R, \theta), \quad \theta \in \{0^\circ, 1^\circ, 2^\circ, \dots, 178^\circ, 179^\circ\}$$

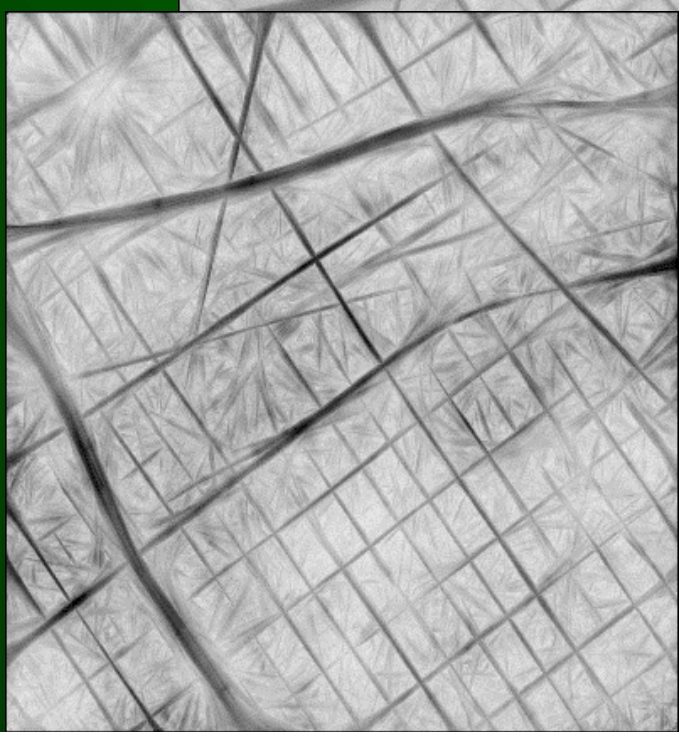
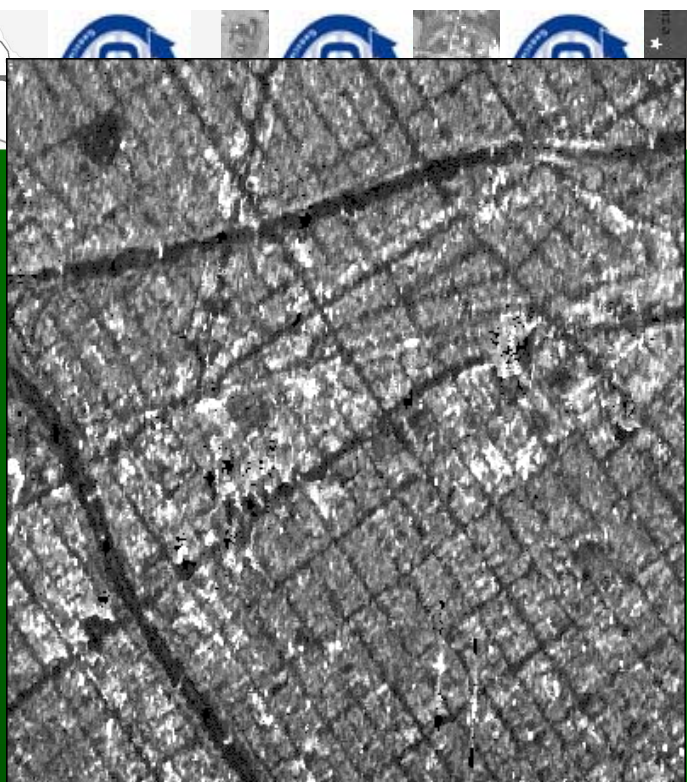
- El contraste es calculado también.

$$c_0(i, j, R) = \left\| \frac{\sum_{\theta} r(i, j, R, \theta)}{180} - r_0(i, j, R) \right\|$$

Directional Transform



Min. radiance and variance (contraste)



Binarización?

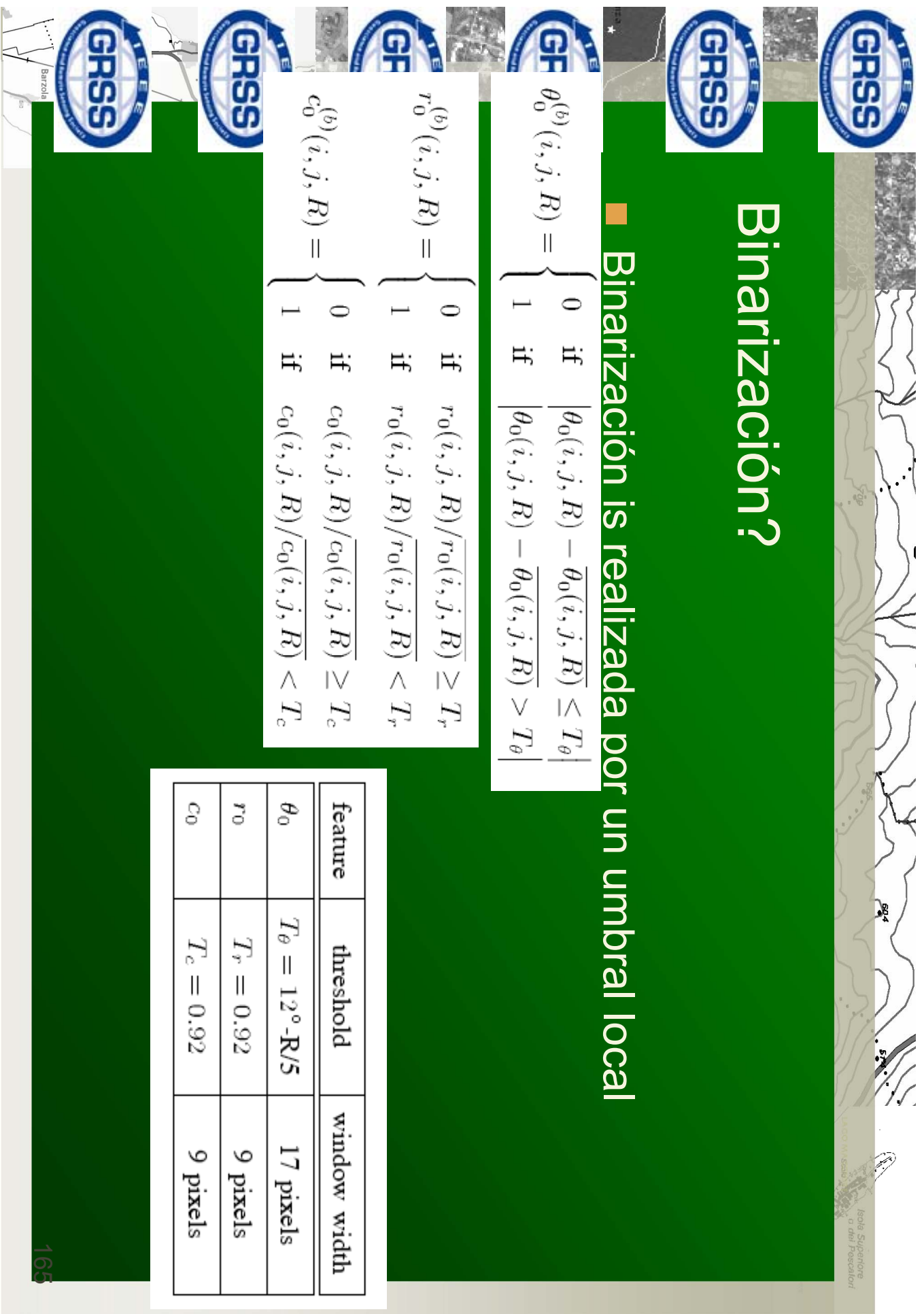
- Binarización is realizada por un umbral local

$$\theta_0^{(b)}(i, j, R) = \begin{cases} 0 & \text{if } |\theta_0(i, j, R) - \overline{\theta_0(i, j, R)}| \leq T_\theta \\ 1 & \text{if } |\theta_0(i, j, R) - \overline{\theta_0(i, j, R)}| > T_\theta \end{cases}$$

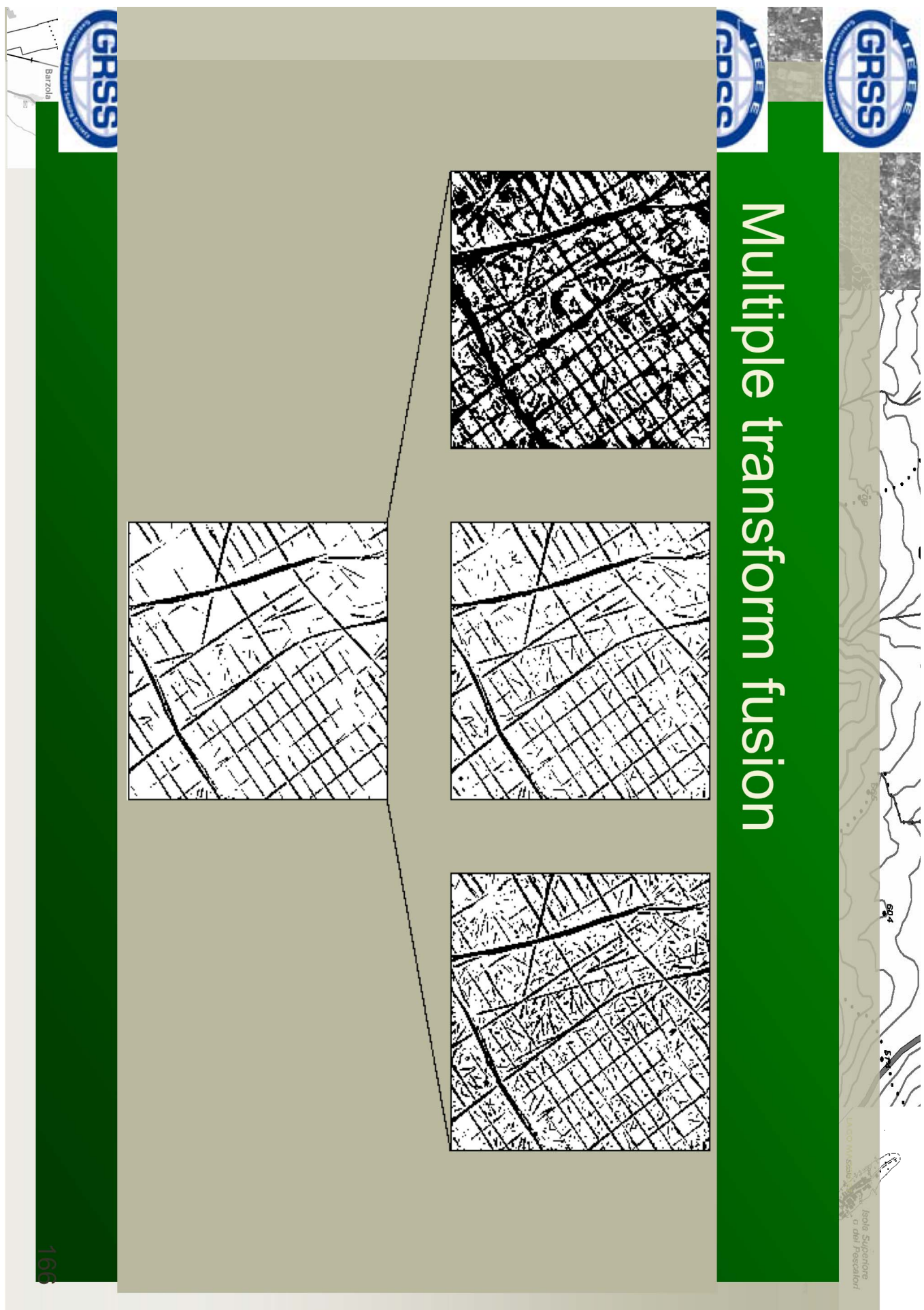
$$r_0^{(b)}(i, j, R) = \begin{cases} 0 & \text{if } r_0(i, j, R) / \overline{r_0(i, j, R)} \geq T_r \\ 1 & \text{if } r_0(i, j, R) / \overline{r_0(i, j, R)} < T_r \end{cases}$$

$$c_0^{(b)}(i, j, R) = \begin{cases} 0 & \text{if } c_0(i, j, R) / \overline{c_0(i, j, R)} \geq T_c \\ 1 & \text{if } c_0(i, j, R) / \overline{c_0(i, j, R)} < T_c \end{cases}$$

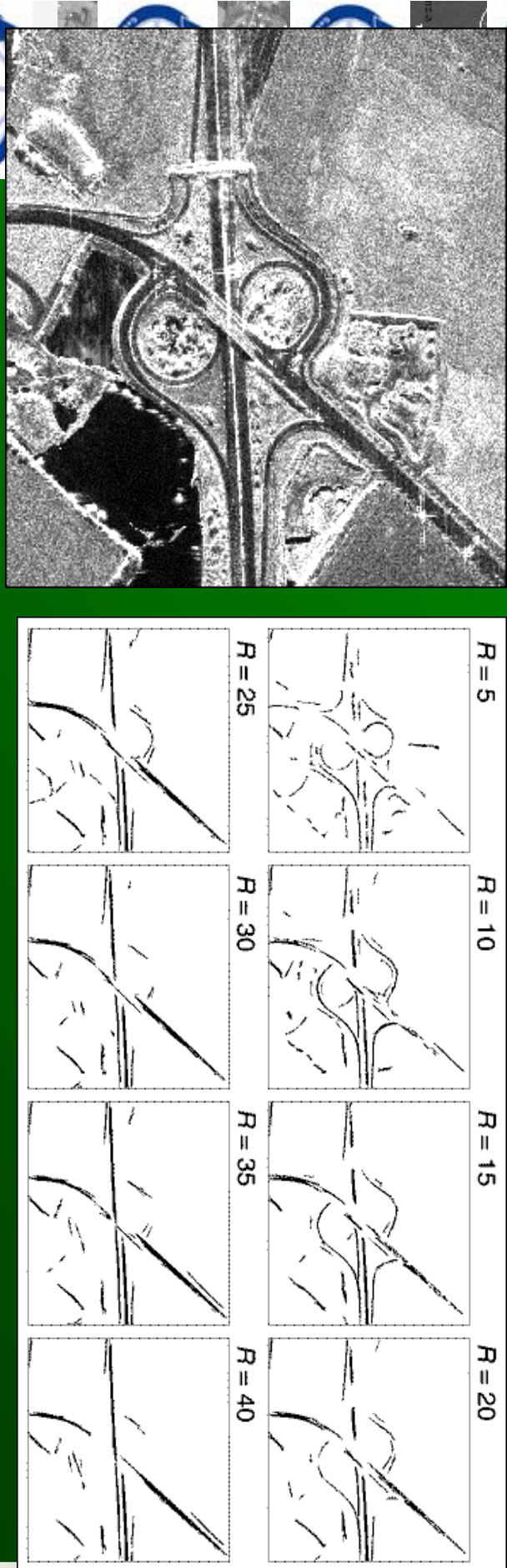
feature	threshold	window width
θ_0	$T_\theta = 12^\circ \cdot R/5$	17 pixels
r_0	$T_r = 0.92$	9 pixels
c_0	$T_c = 0.92$	9 pixels



Multiple transform fusion



Multi-Scale fusion

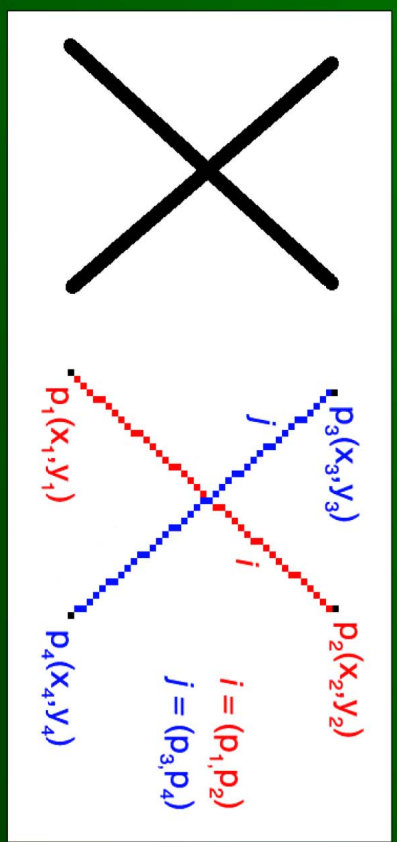


$$f(i, j) = \wedge_{\mathbf{R}} (\theta_0^b(i, j, R) \wedge r_0^b(i, j, R) \wedge c_0^b(i, j, R))$$



Extracción del candidato a carretera

- Objetivo: de pixels a segmentos

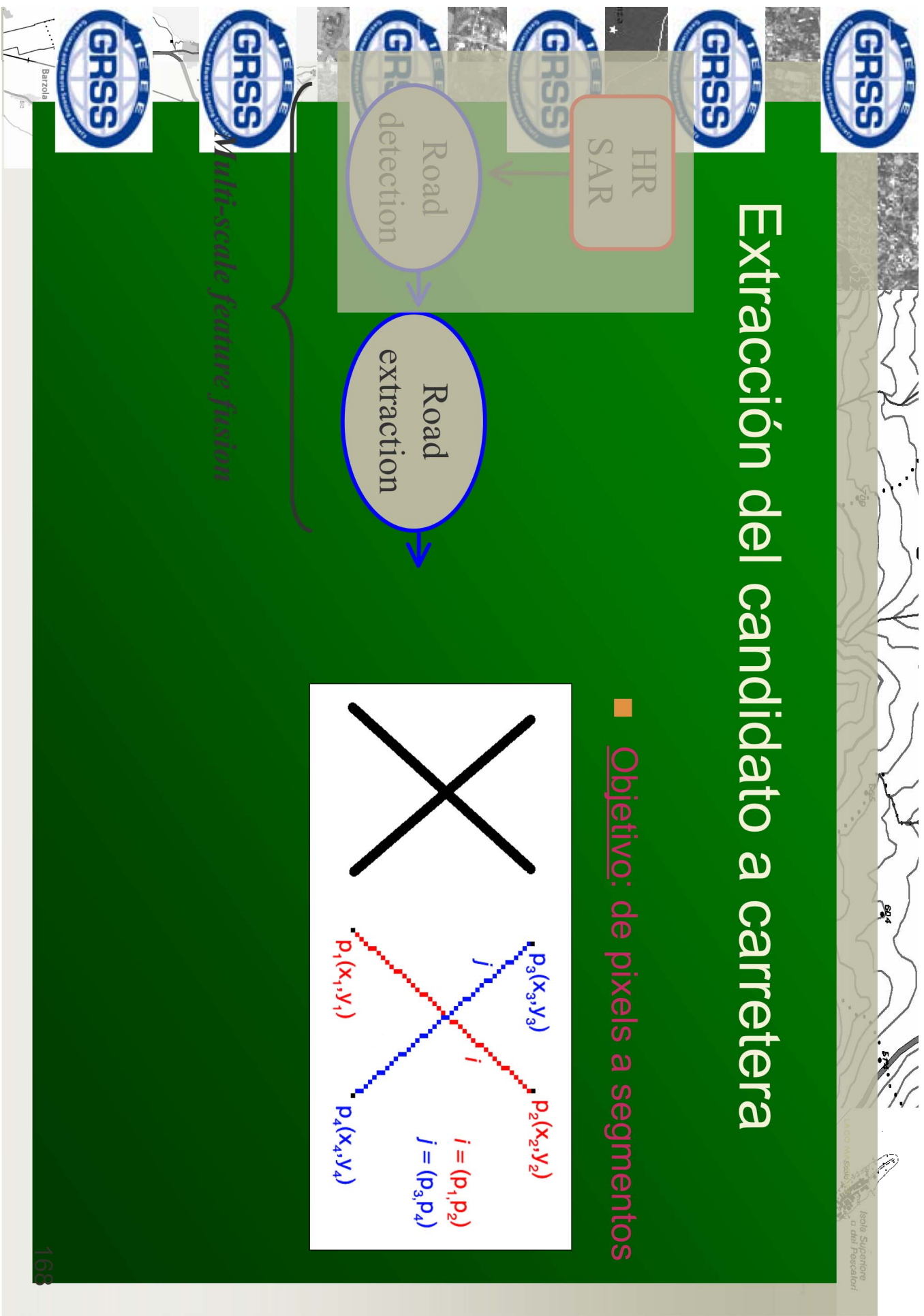


Multi-scale feature fusion

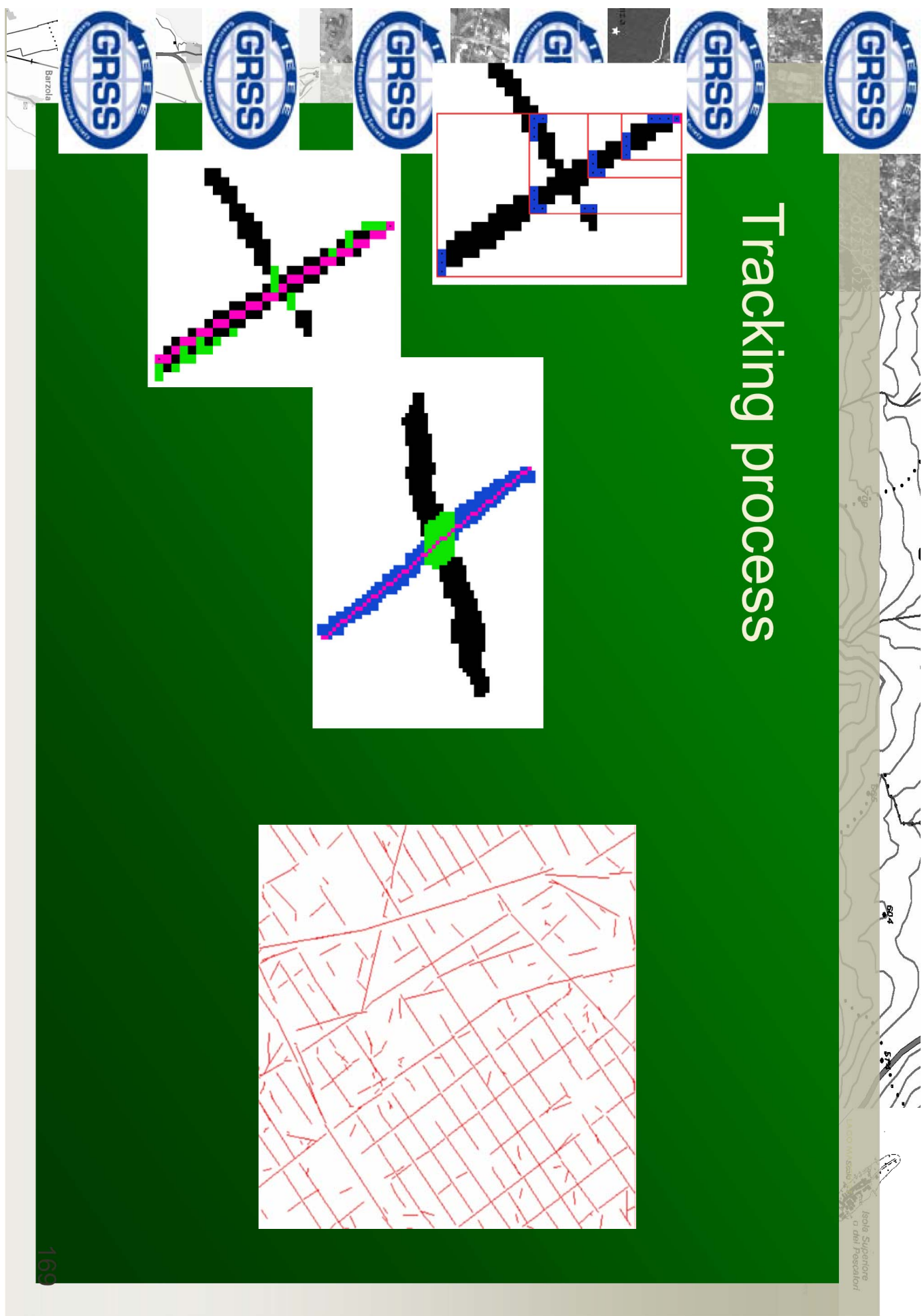
Road
detection

HR
SAR

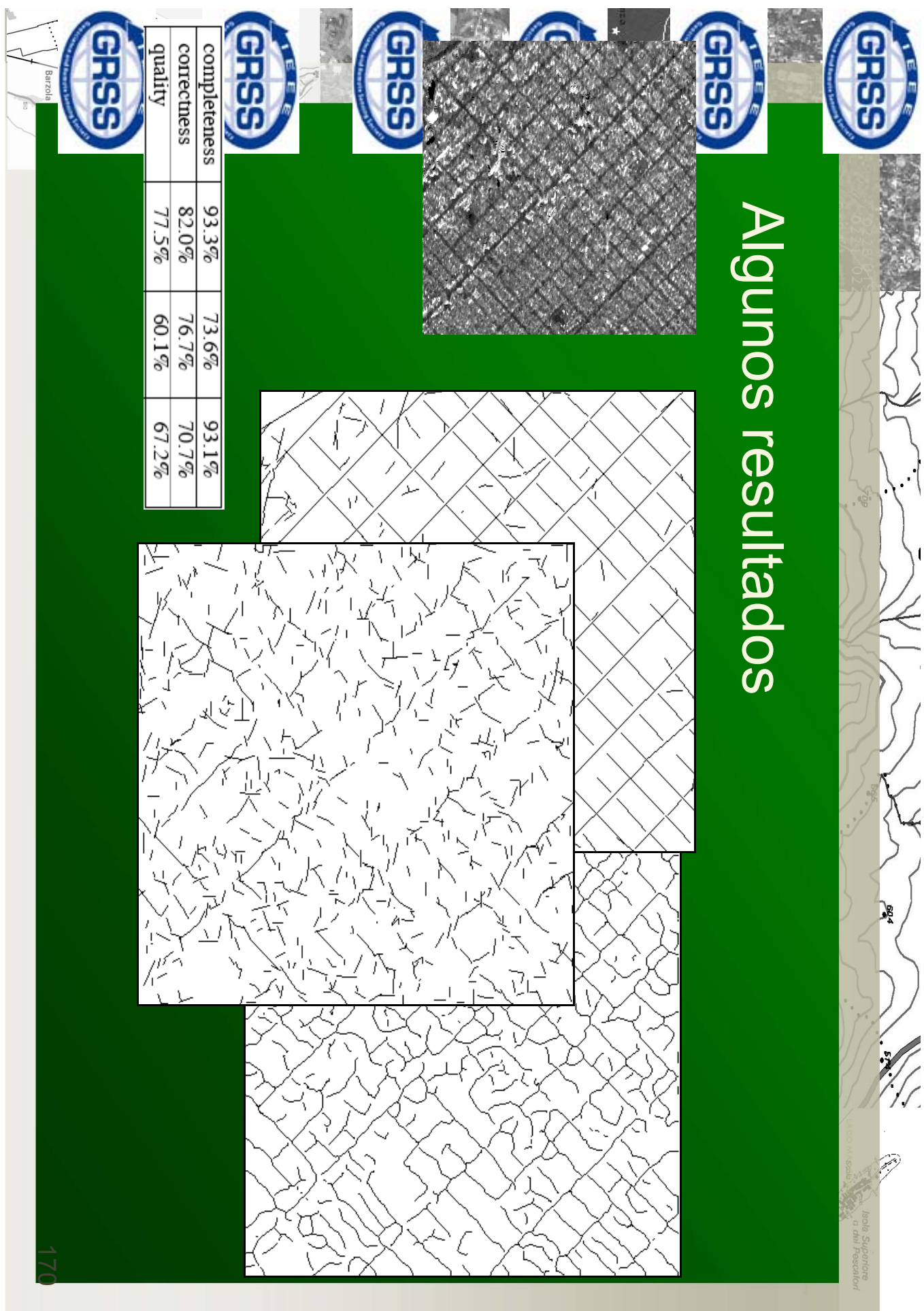
Road
extraction



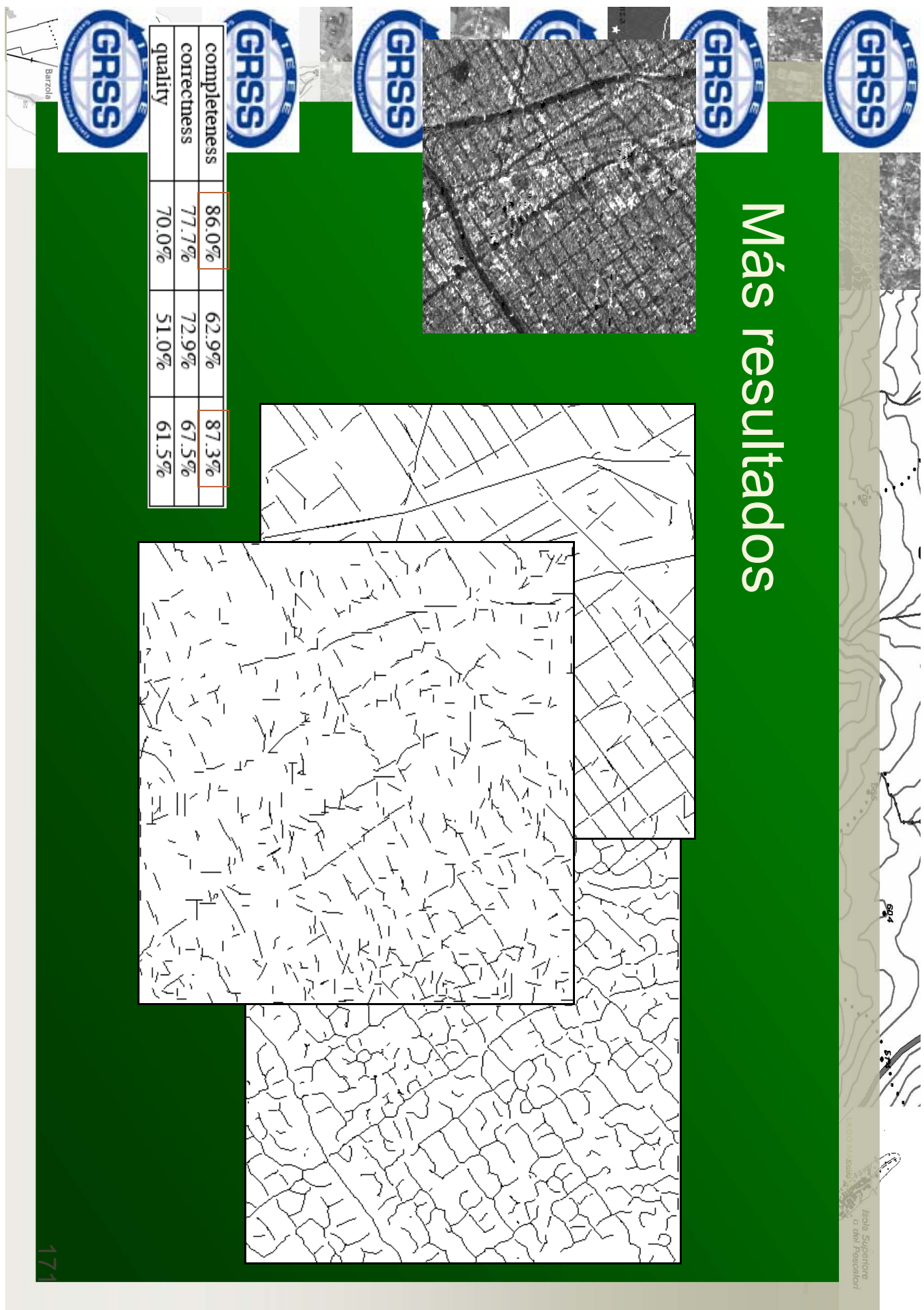
Tracking process



Algunos resultados



Más resultados



Área rural-Urbana



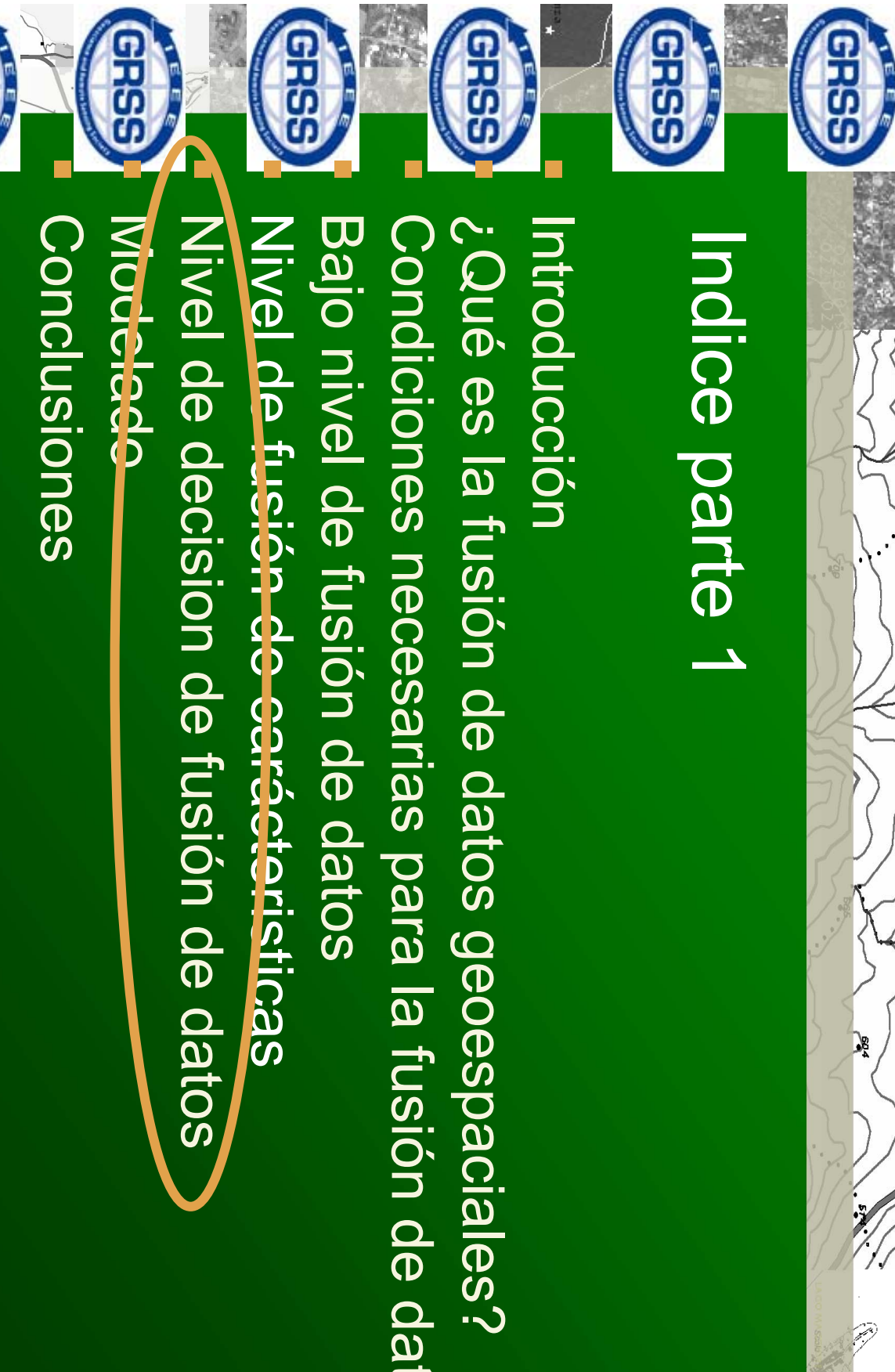
Mejoras del 15 al 20% respecto a F. Dell'Acqua, P. Gamba, and G. Lisini, "Road map extraction by multiple detectors in fine spatial resolution SAR data", *Canadian J. Remote Sensing*, vol. 29, no. 4, pp. 481-490, Aug. 2003.

Conclusiones

- Este documento presenta una metodología basada en fusión de información y permite explotar las diferentes cualidades de los segmentos candidatos a carreteras en imágenes SAR de alta resolución.
- El procedimiento, el cual esta diseñado para áreas urbanas y carreteras rectas, da un buen resultado por la fusión de 3 tipos de información, la principal radiación del área candidata, su orientación y su contraste con las áreas de alrededor.
- Despues de aplicar a la imagen fusionada un procedimiento de tracking seleccionable,conocimiento de las intersecciones, se obtiene una red mas precisa de carreteras que usando otras aproximaciones, una propuesta por los mismos autores de este documento y la referencia para Extracción óptica de calles HR.

Índice parte 1

- Introducción
- ¿Qué es la fusión de datos geoespaciales?
- Condiciones necesarias para la fusión de datos
- Bajo nivel de fusión de datos
- Nivel de fusión de características
 - Nivel de decisión de fusión de datos
- Modelado
- Conclusiones



¿Qué es la fusión de datos geoespaciales?

Fusión de datos



Barzolla
Ese



Fusión de datos Geoespaciales

Fusión de medidas

estructuradas
(e.g., fusión de imágenes)

Fusión de datos de imágenes y
Datos semánticos en un GIS

Nivel de fusión de datos

de dominio

↓

Nivel de fusión
de características

↓

Nivel de fusión
de decisión

↓

Modelado de
procesos

↓

Fusión de clasificadores

Selección de clasificador

↓

Fusión en dominio
espacial

Fusión escala-espacio

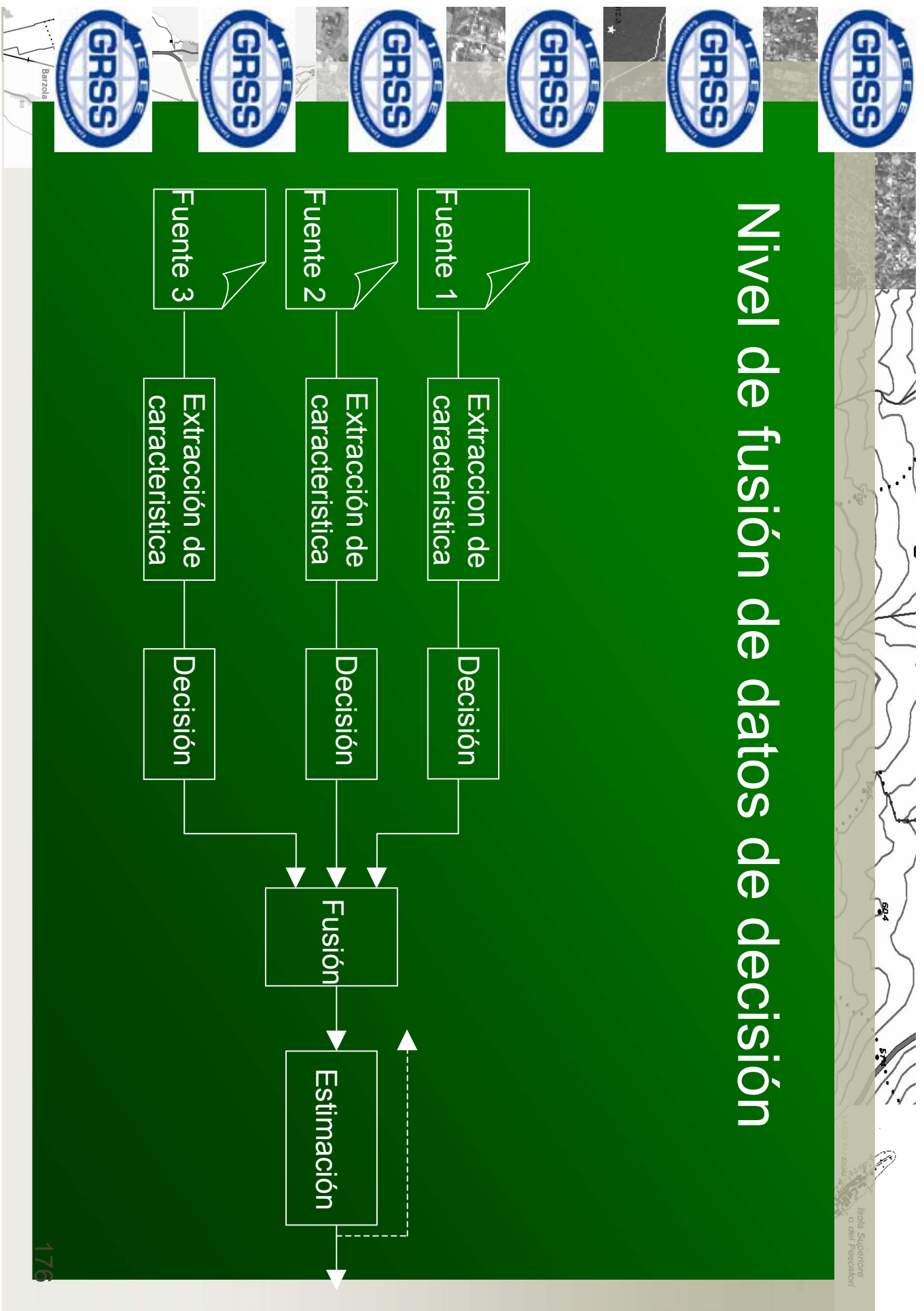
Fusión en dominio espacial

Fusión de clasificadores Selección de clasificador

↓

175

Nivel de fusión de datos de decisión



Nivel de fusión de datos de decisión

- ¿Qué información tenemos a nuestra disposición para el nivel de decisión de fusión de datos?
- Siempre: Resultados de múltiples clasificadores
- Normalmente: los datos originales con los que han sido generados los resultados
- Normalmente: Muestras de entrenamiento
- Normalmente: Resultados de la validación de esos resultados basados en las muestras de entrenamiento: matrices de confusión
- Alguna vez: Las probabilidades a posteriori(análisis Bayesiano), o sus estimaciones

Nivel de fusión de datos de decisión

- Sistemas de multiples clasificadores (MCSS)
- Las dos principales aproximaciones para el diseño de MCS [8]
 - Fusión de clasificadores: combina en paralelo las salidas de los clasificadores en orden para conseguir algun tipo de “grupo consensus”
 - Selección dinámica de clasificador: intenta predecir que clasificador es mejor para el ejemplo dado, entonces se usa ese clasificador por muestra

Nivel de fusión de datos de decisión

- Fusión de clasificadores
- Basado solo en resultados
- *Majority voting*
- Basado en matrices de confusión
- *Belief networks*
- Explotación de las estimaciones de la probabilidad a posteriori de clasificadores
 - *consensus theory [10]*
 - *combination of the Bayesian average [12]*

Nivel de fusión de datos de decisión

- Funciones de creencia
- Usa el conocimiento de las buenas decisiones con clases individuales hechas por los clasificadores

$C_k(\bar{X}_k)$ Salida del clasificador k asignado a un vector
De característica \bar{X}_k

$P(\theta = \omega_m | C_k(\bar{X}_k))$ Probabilidades estimadas de las
Matrices de confusión

$$bel(\theta = \omega_n) = \eta \prod_{k=1}^K P(\theta = \omega_m | C_k(\bar{X}_k))$$

MCS asigna la etiqueta de clase con el mayor valor de creencia



Nivel de fusión de datos de decisión

- Selección dinámica de clasificadores
- Subrayando hipótesis: todo clasificador tiene características justificando su participación en el MCS
- Basado en algún método de particionamiento de entradas, se predice que clasificador es mejor para el ejemplo dado

Nivel de fusión de datos de decisión

- Selección dinámica de clasificador por particionamiento simple (DCS-SP)
 - El espacio de características es particionado basándose en la representación global de los datos entrenados para un clasificador de las clases
 - Basado en matrices de confusión
 - No tan terriblemente dinámico

Nivel de fusión de datos de decisión

- Ejemplo
- Basado en matrices de confusión de las muestras de entrenamiento, se crea la siguiente tabla:

Class 1	Class 2	Class 3	Class 4	Class 5
$P(O_1 C1=1)$ 0.94	$P(O_2 C1=2)$ 0.84	$P(O_3 C1=3)$ 0.65	$P(O_4 C1=4)$ 0.92	$P(O_5 C1=5)$ 0.89
<u>$P(O_1 C2=1)$ 0.95</u>	<u>$P(O_2 C2=2)$ 0.82</u>	<u>$P(O_3 C2=3)$ 0.71</u>	<u>$P(O_4 C2=4)$ 0.92</u>	<u>$P(O_5 C2=5)$ 0.92</u>
$P(O_1 C3=1)$ 0.76	$P(O_2 C3=2)$ 0.33	$P(O_3 C3=3)$ 0.28	$P(O_4 C3=4)$ 0.76	$P(O_5 C3=5)$ 0.54
$P(O_1 C4=1)$ 0.92	<u>$P(O_2 C4=2)$ 0.85</u>	$P(O_3 C4=3)$ 0.62	<u>$P(O_4 C4=4)$ 0.93</u>	<u>$P(O_5 C4=5)$ 0.93</u>

- O 1: Etiqueta de clase verdadera 1; C1=1: salida clasificador 1 es 1
- Clasificador 1 dice que es clase 1. El 2 dice que es 2. El 3 clase 2 y el 4 clase 2, entonces el pixel es asignado a clase 1

Nivel de fusión de datos de decisión

- Selección dinámica de clasificador por ajuste local (DCS-LA) [8]
- Considera solo las salida de los clasificadores locales más ajustados
- Las regiones locales están definidas en el espacio de características, en términos de los k-vecinos en el entrenamiento
- Ejemplo de medida de representatividad: el porcentaje del ajuste de la clase local

Nivel de fusión de datos de decisión

■ Selección dinámica de clasificador por ajuste local (DCS-LA)

Muestra a clasificar

Classifier 1: Es crop!

Classifier 2: Es light soil!

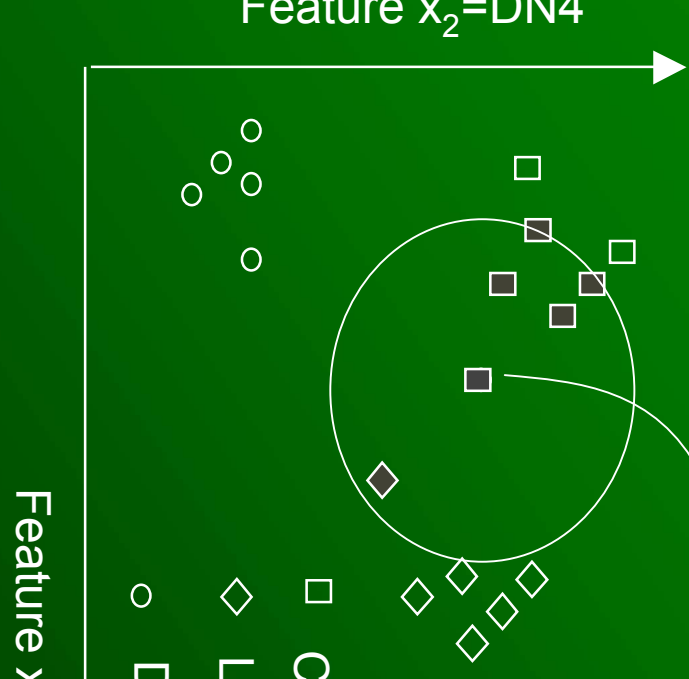
Classifier 3: Es light soil!

No hay acuerdo:

1. Conseguir las k muestras de entrenamiento cercanas
2. Ver los resultados de clasificación de los clasificadores de la muestra desconocida
3. Para cada clasificador contar cuantos de las k muestras corresponden con la salida del clasificador
4. Determinar que clasificador es el mejor en la región local
5. Asignar el pixel a la clase indicada por este clasificador

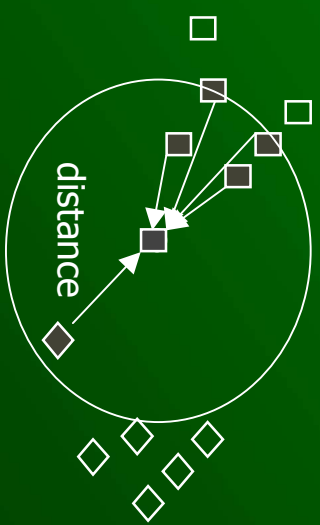
Feature $x_2 = \text{DN}4$

□ Crop
◊ Light soil
○ Dark soil



Nivel de fusión de datos de decisión

- Selección dinámica de clasificador por ajuste local modificado (DCS-LA) [15]
- El mismo principio de DCS-LA
- La medida de la bondad de un clasificador es calculada por las k muestras por su distancia



Nivel de fusión de datos de decisión

- Algunas puntualizaciones
 - Si para el conjunto de datos bajo estudio se aplica un buen clasificador en combinación con uno mediocre el resultado del MCS no mejora.
 - Ejemplo: criterio máximo a priori(MAP) con apropiados datos en combinación con mínima distancia a la media de la clase (MD)

Extracción y fusión de redes de calles de datos SAR de alta resolución

*Fabio Dell'Acqua, Paolo Gamba, Gianni Lisini
Dipartimento di Elettronica, Università di Pavia*

Índice

- Objetivo del trabajo
- Metodología
- Datos
- Técnicas de extracción de calles
 - Fuzzy extractors, ventajas y desventajas
- Extracción de calles mejorada
 - Filtrado Pre-extracción
 - Combinación Post-extracción
- Notas
- Conclusiones

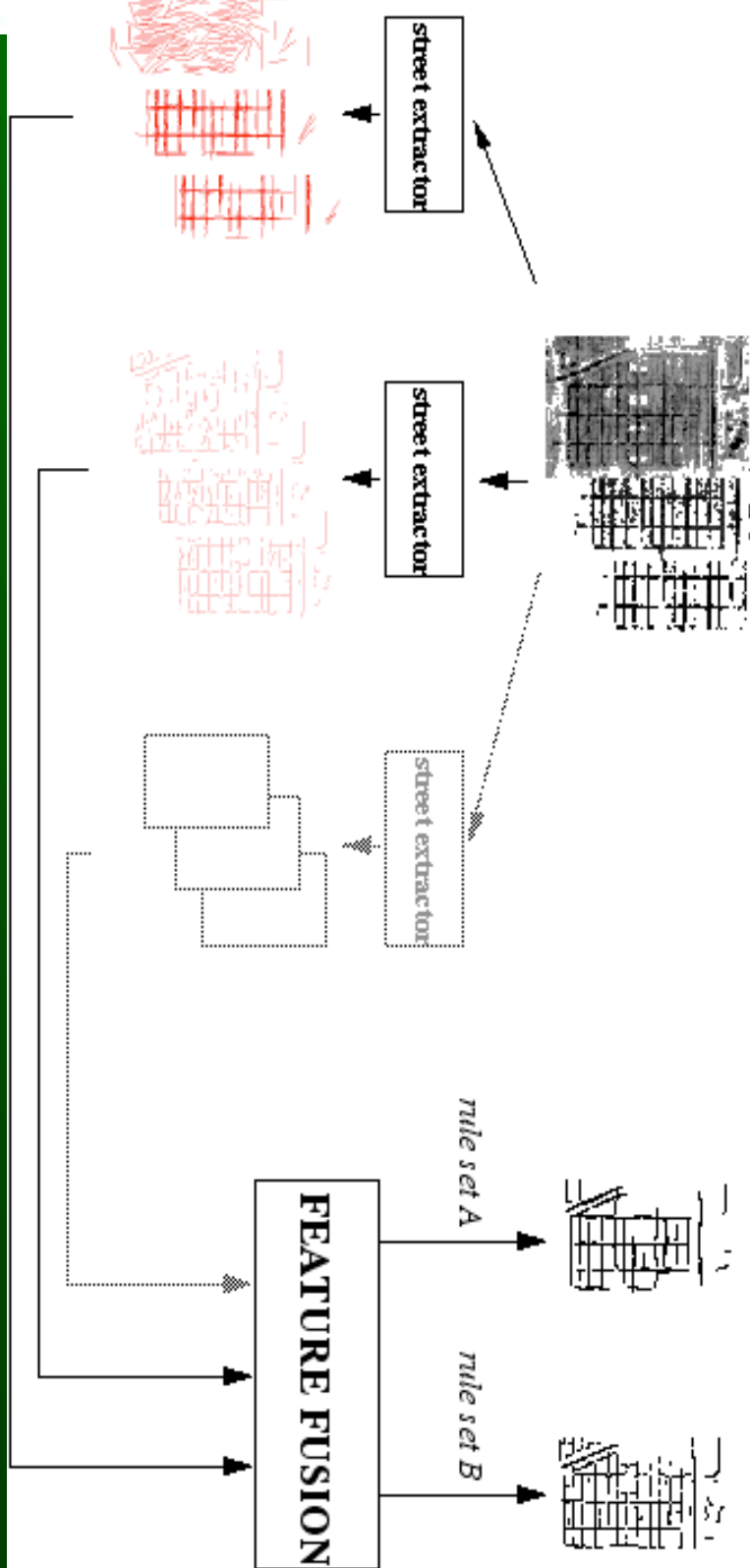
Objetivo del trabajo

Este documento presenta una mejora a las técnicas ya presentadas para extraer calles en datos SAR.

- Por la mejora de la entrada a los procedimientos;
- Por la introducción de un nuevo algoritmo;
- Por la combinación de elementos extraídos.

La aproximación de la fusión puede ser útil de varias maneras: cuando se aplican diferentes extractores a los mismos datos; cuando se usan diferentes algoritmos pre-proceso antes de usar el mismo extractor en un grupo de datos, o finalmente cuando aplicamos el mismo extractor a imágenes del mismo área.

Metodología

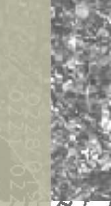
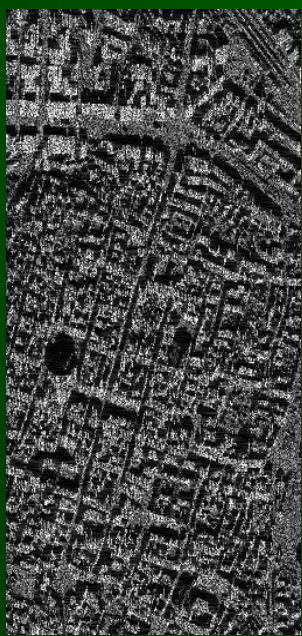


Datos

Un puzzle de diferentes sitios recogidos por el sensor AeS II X-band en Munich, con angulos de visión entre 30° y 55° (0.5 m de resolución).



Un conjunto de imágenes simuladas GRS-SMO/SkyMed de Pavia, Norte de Italia, con diferentes ángulos de visión, (3 m resolución).



Extractor de calles Fuzzy

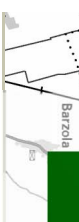
La extracción de calles en imágenes SAR está binulado a direcciones, ej. La orientación relativa entre las calles y el sensor.

Así, ayuda mas que otros detectores a encontrar eficientemente calles en imágenes SAR.

Así, tanto las rectas como las curvas deben ser reconocidas.

Eran considerados tres extractores y ahora uno mas.

Los resultados se mejoran mejorando las extracciones simples, pero también combinando mas extracciones.



Ventajas y desventajas

Fuzzy Shortest Path Extraction

Fuzzy Connection Weighted Hough Transform

- Reconoce segmentos *imagen* lineares, con relación al alto y ancho

■ *ventajas*

- Rápido y confiable
- Las calles cortadas se conectan

■ *desventajas*

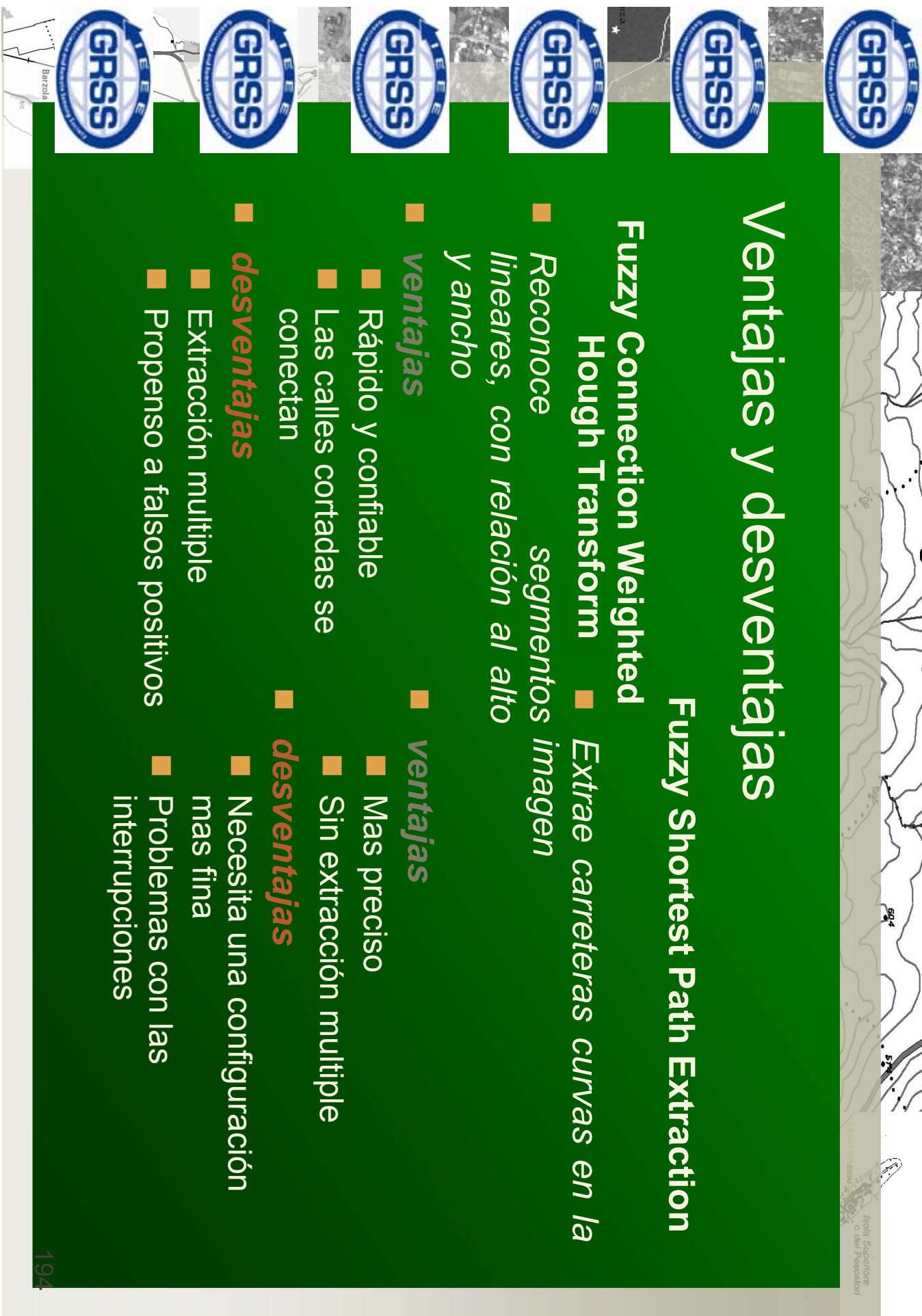
- Extracción multiple
- Propenso a falsos positivos

■ *ventajas*

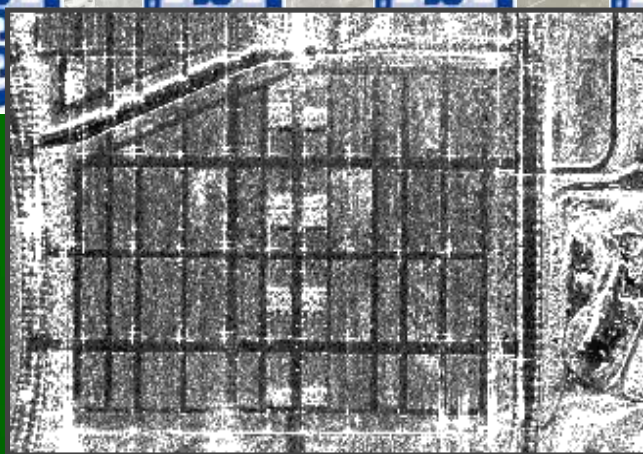
- Mas preciso
- Sin extracción multiple

■ *desventajas*

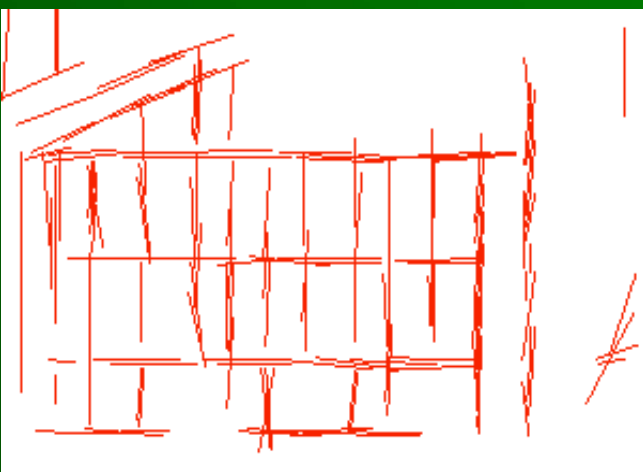
- Necesita una configuración mas fina
- Problemas con las interrupciones



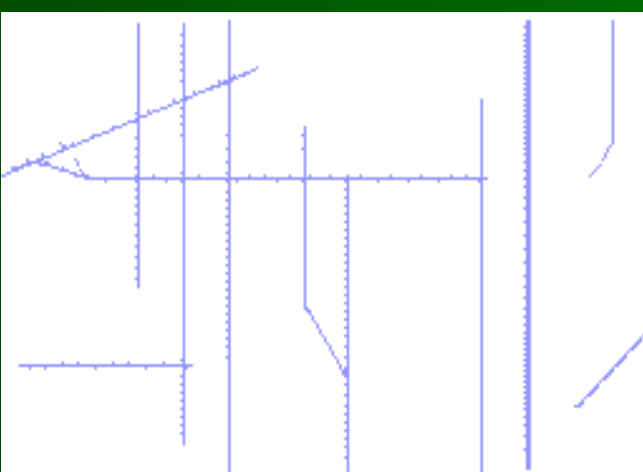
Un ejemplo



*Imagen
original*



FCWHT



FSPE

¿como podemos mejorar los resultados?

A priori

- ... reduciendo las entradas, descartando regiones no usadas y manteniendo solo posibles elementos de calles

A posteriori

- ... combinando resultados de multiples extractores o del mismo con diferentes umbrales o esquemas de clasificación

Filtrado Pre-extracción



Estrategia

- Selecciona solo regiones que pueden pertenecer a una calle

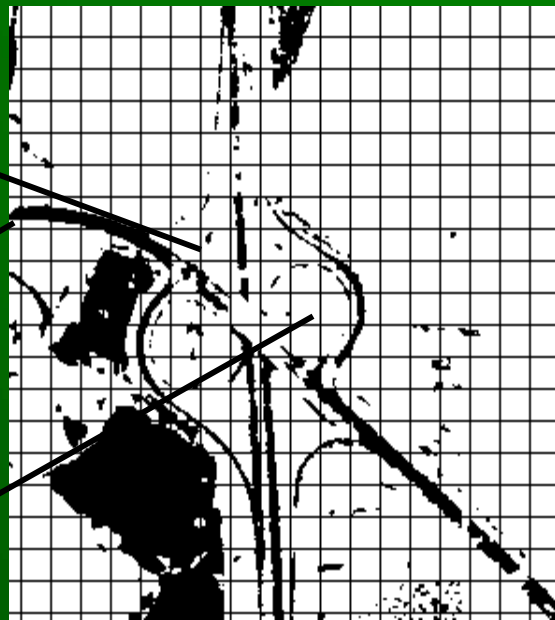
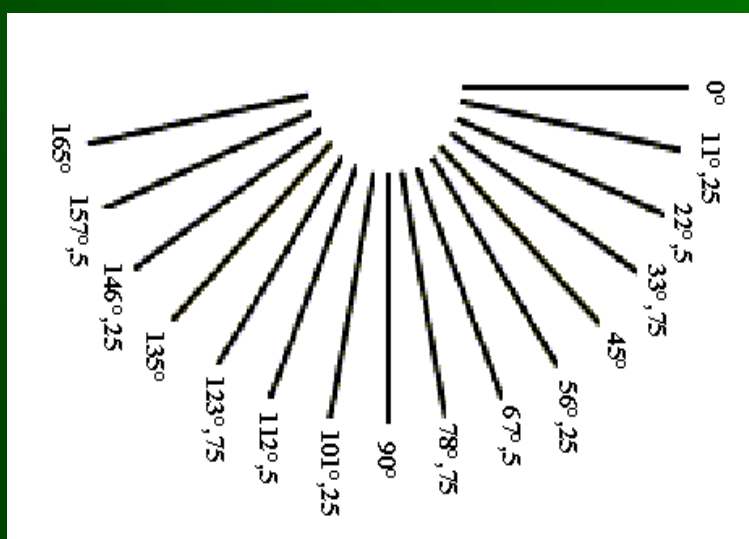
Indicadores

- Calidad
- Ancho
- Dirección
- Largo



Comparación de esquemas

Prototypes



Ejemplo de filtrado

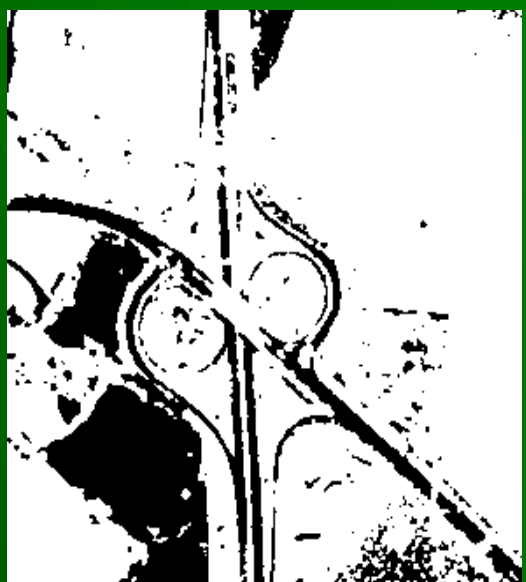
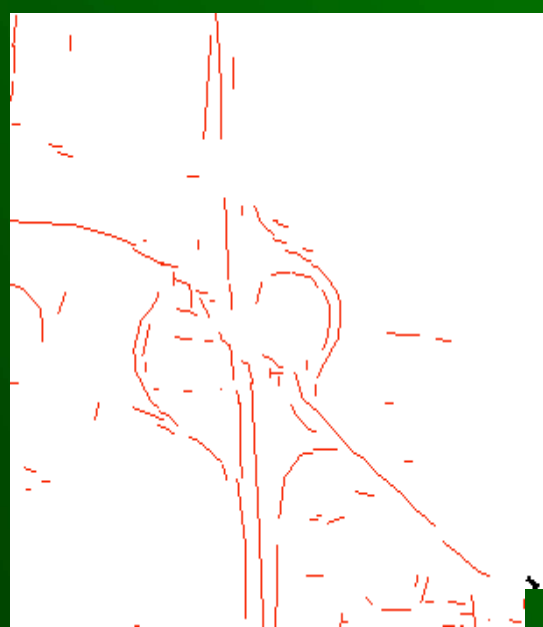
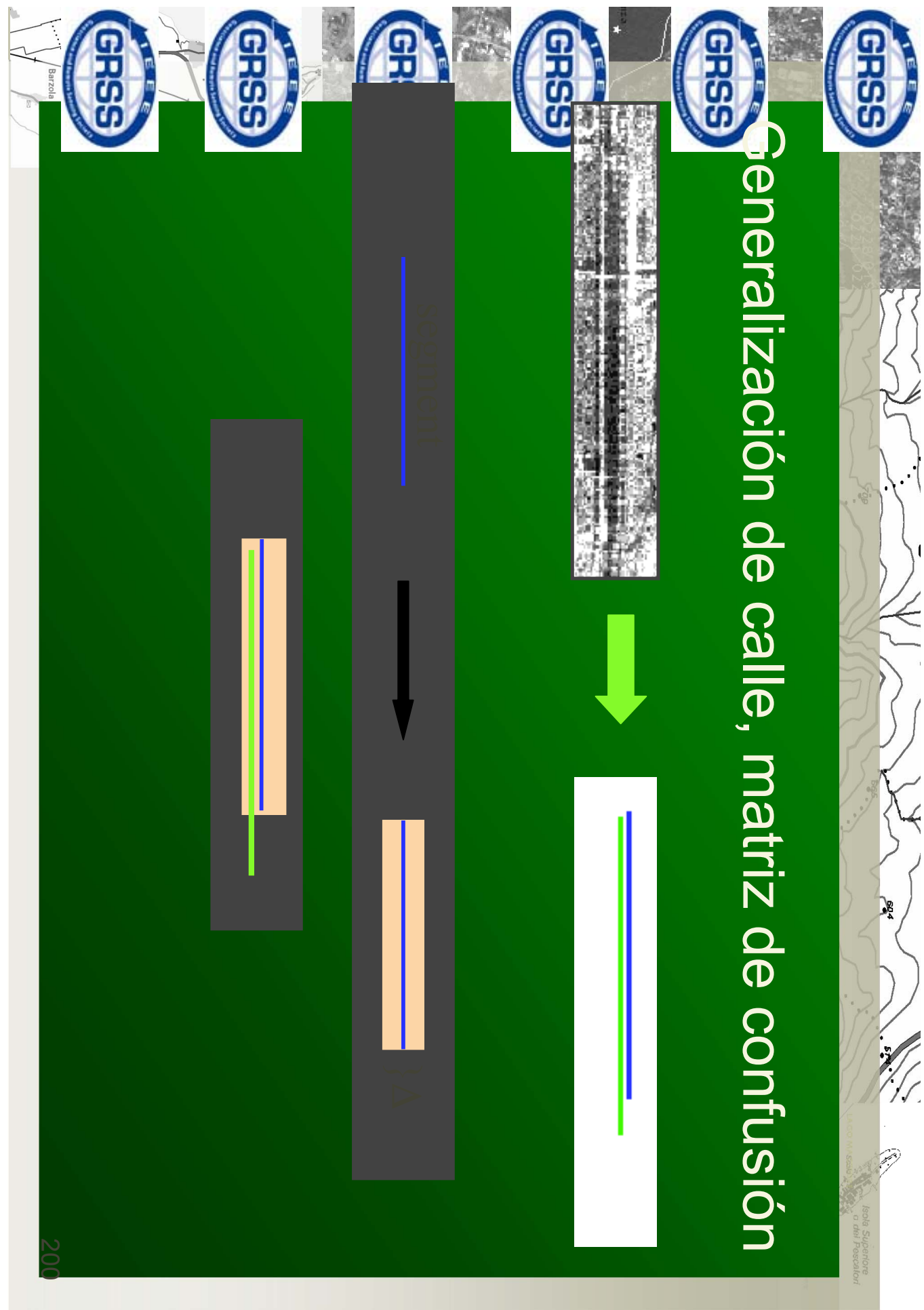


Imagen original

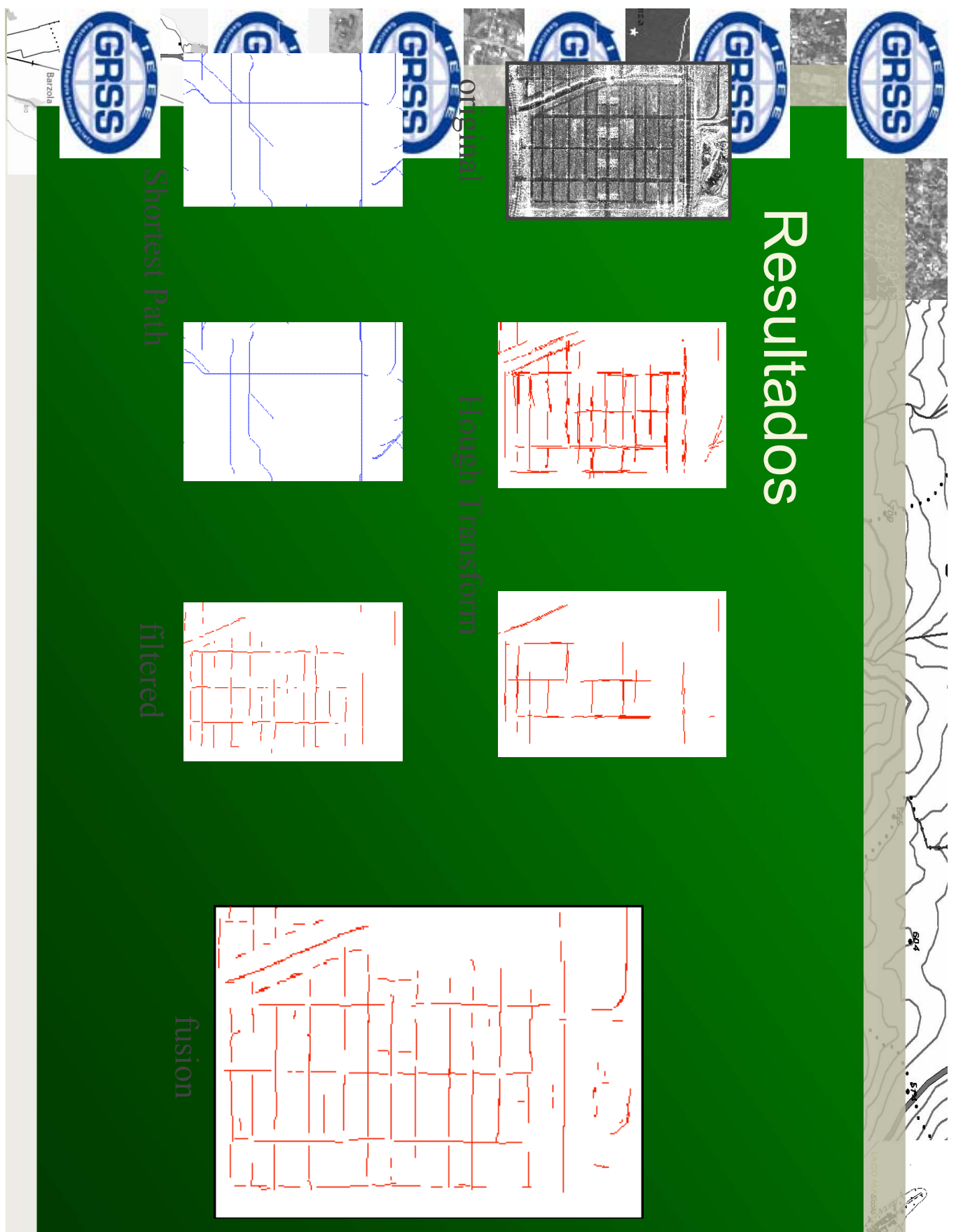


Extracción de imágenes

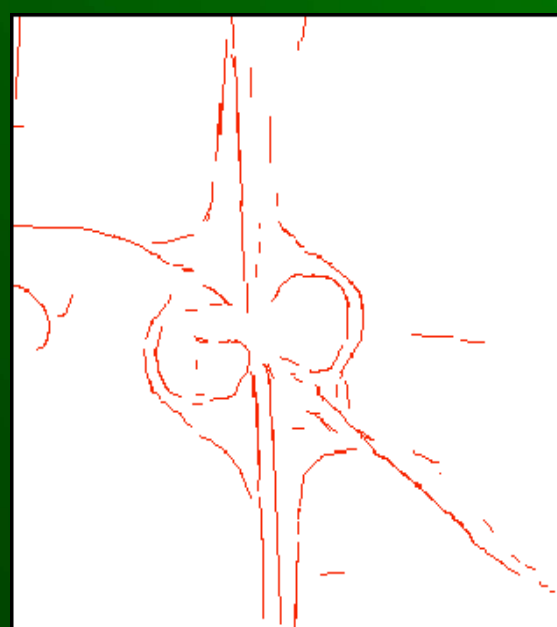
Generalización de calle, matriz de confusión



Resultados



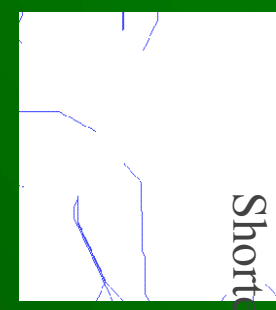
Más resultados



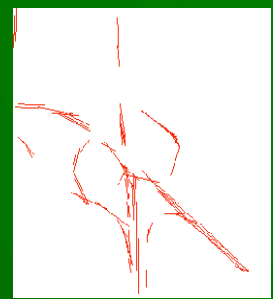
fusion



Filtered



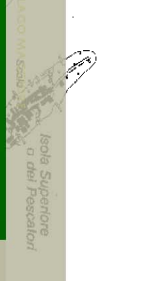
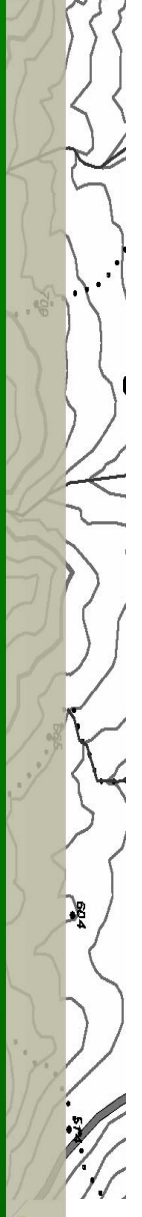
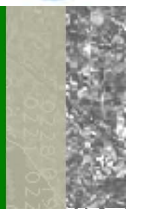
Shortest Path



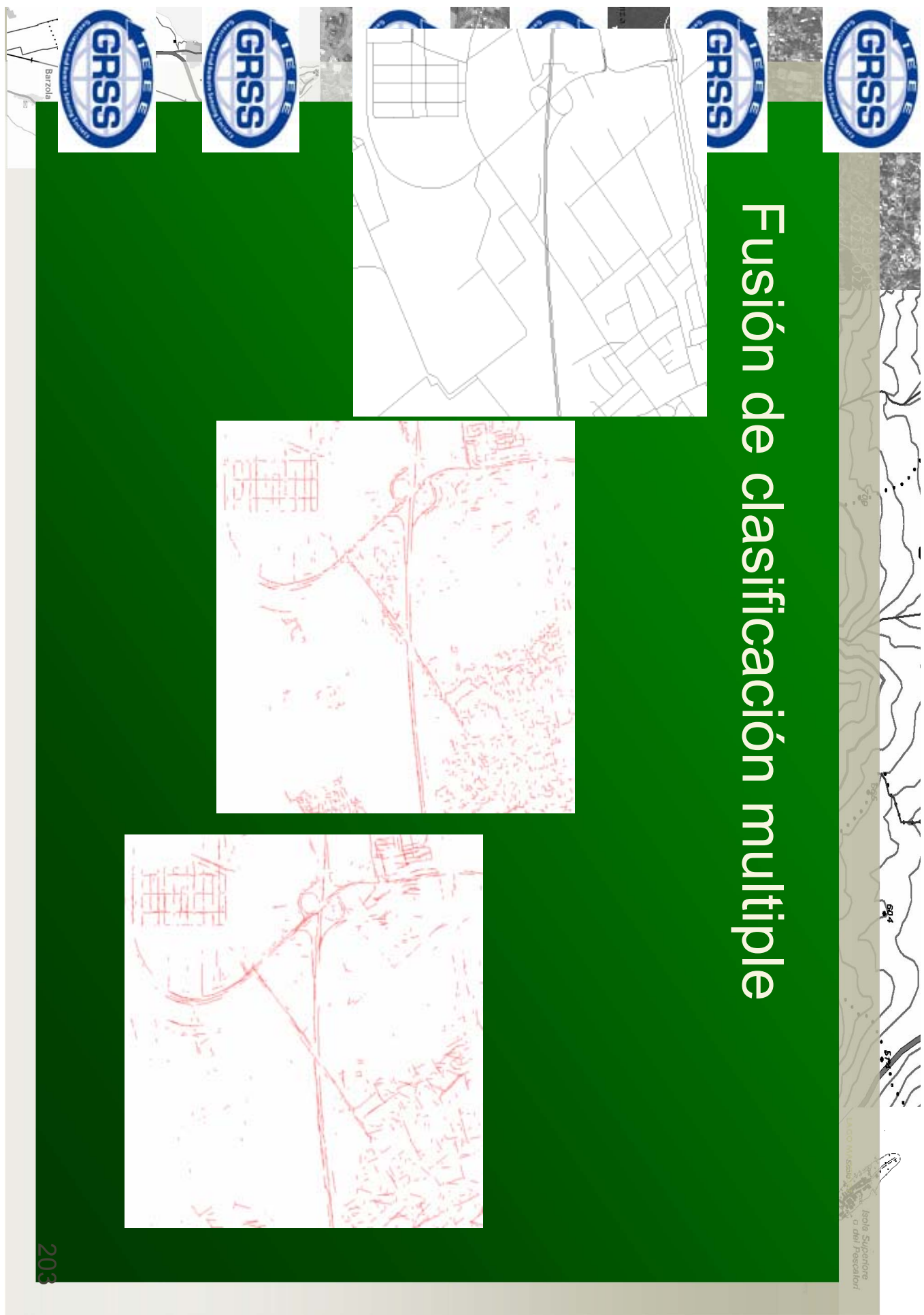
Hough Transform



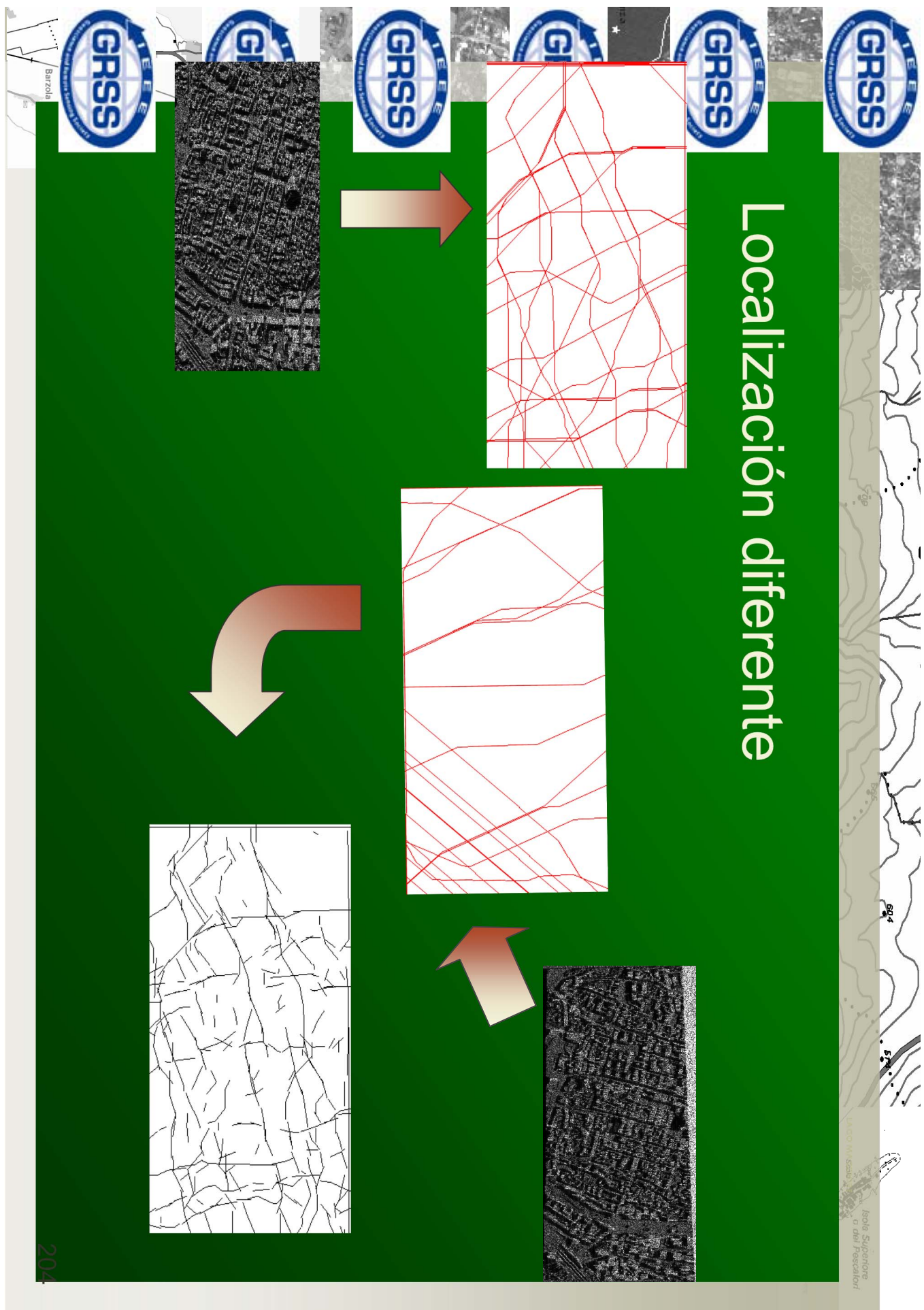
original



Fusión de Clasificación multiple



Localización diferente



Conclusiones

- Se ha propuesto un novedoso e interesante método para pre-filtrar imágenes SAR para la extracción de calles.
- Hemos desarrollado un marco de trabajo para la fusión de redes de carreteras y mejorado la extracción de calles por la aproximación de la principal característica.
- Tenemos una mejora de los resultados de extracción, principalmente por la reducción de falsos positivos.
- Así que, nuestro método es un segundo paso hacia un análisis robusto de imágenes SAR de alta definición.

Índice parte 1

- Introducción
- ¿Qué es la fusión de datos geoespaciales?
- Condiciones necesarias para la fusión de datos
 - Bajo nivel de fusión de datos
 - Nivel de fusión de características
 - Nivel de decisión de fusión de datos
- Modelado
- Conclusiones

¿Qué es la fusión de datos geoespaciales?

Fusión de datos

Fusión de datos Geoespaciales

Fusión de medidas estructuradas
(e.g., fusión de imágenes)

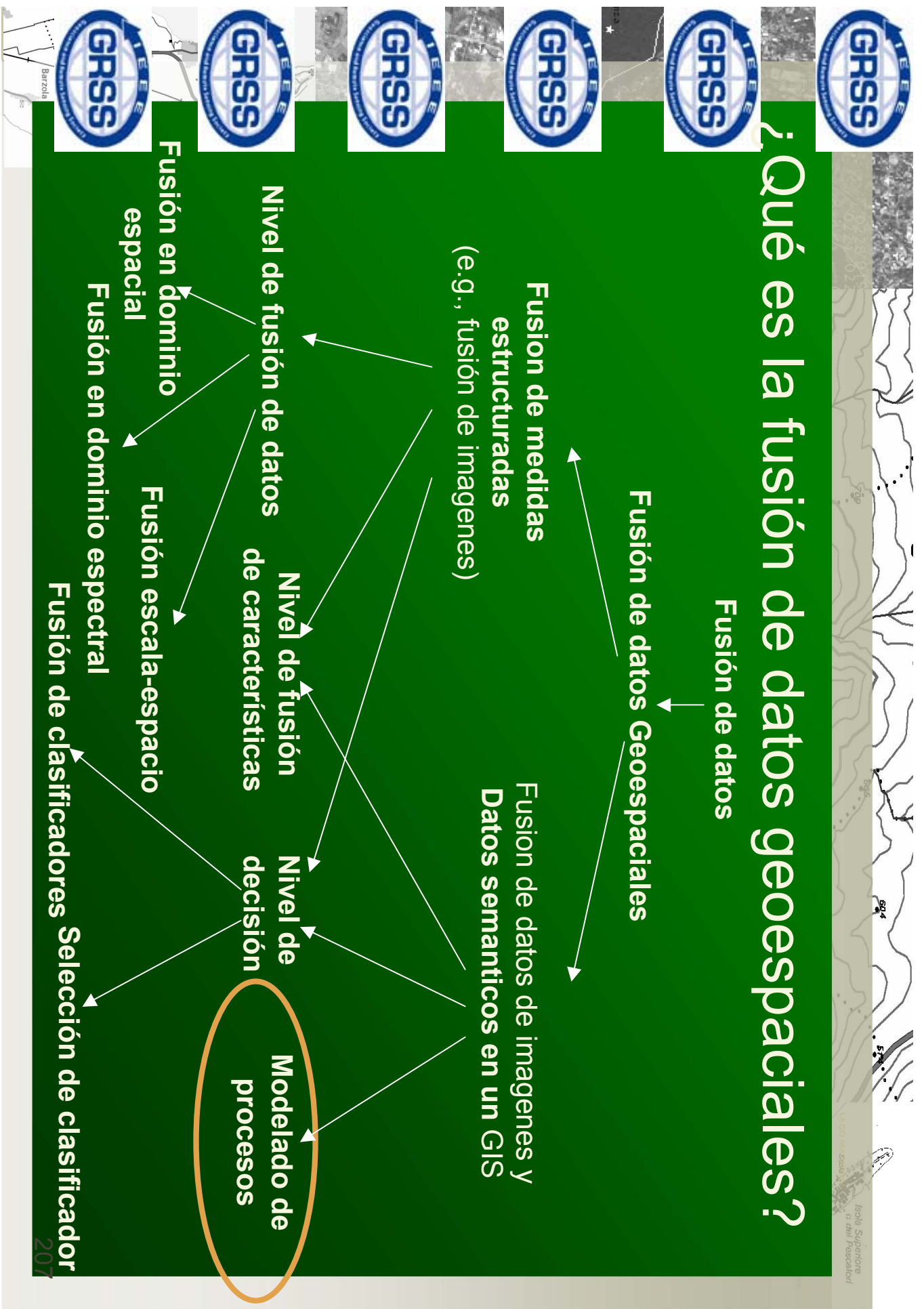
Fusión de datos de imágenes y
Datos semánticos en un GIS

Nivel de fusión de datos de características
Nivel de fusión de decisión

Modelado de procesos

Fusión en dominio espacial
Fusión en dominio espectral

Fusión de clasificadores Selección de clasificador



Modelado

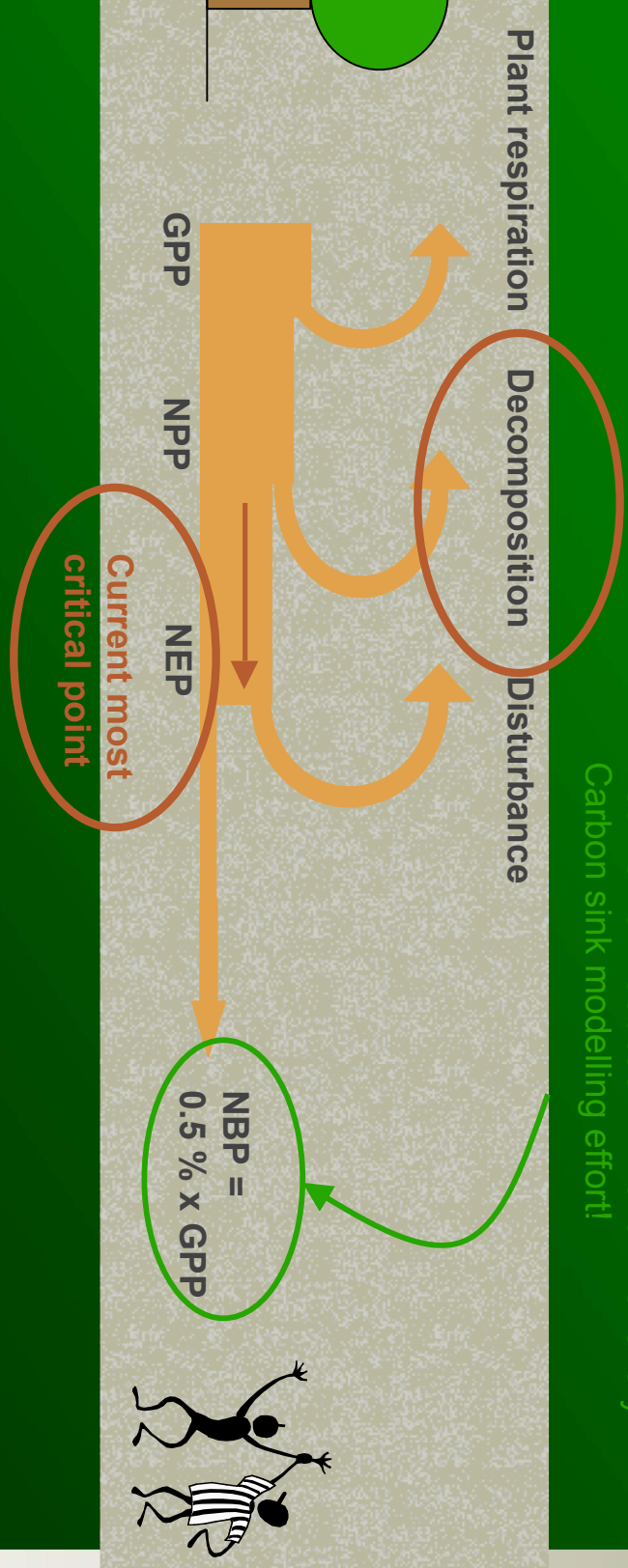
- El entendimiento de sistemas de mundo-real requiere a veces complejos modelos.
 - Algunas veces centenares de ecuaciones (modelos de ecosistemas)
 - Interacciones no continuas y no lineares
- Los modelos proveen bases organizativas para interpretar comportamientos
- Los ultimos instrumentos de fusión de datos como la decisión son importantes

Modelado

- Seis objetivos primarios para modelos [28]
 - Replicar el comportamiento del sistema bajo condiciones normales y compararlo con un campo de datos
 - Para comprender el comportamiento del sistema
 - Para organizar y utilizar información de campo y estudios de laboratorio
 - Para marcar áreas para futuras investigaciones
 - Para generalizar el modelo a partir de un solo sitio
 - Para investigar los efectos de las manipulaciones o distorsiones en el sistema en un rango de condiciones

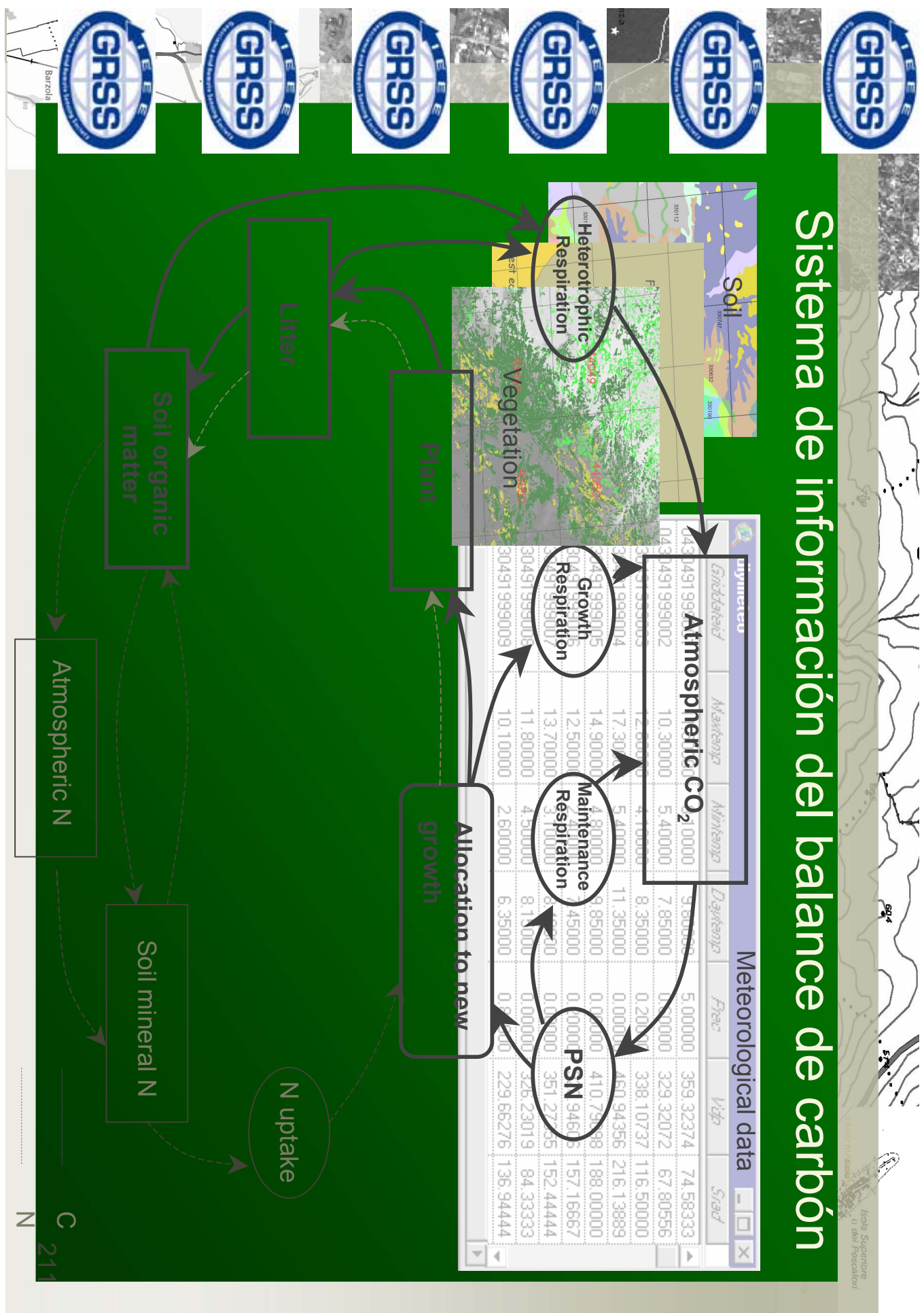
Ejemplo de modelado: JRC's Sistema de información del balance de carbón

Net Biome Production: Final aim of every
Carbon sink modelling effort!

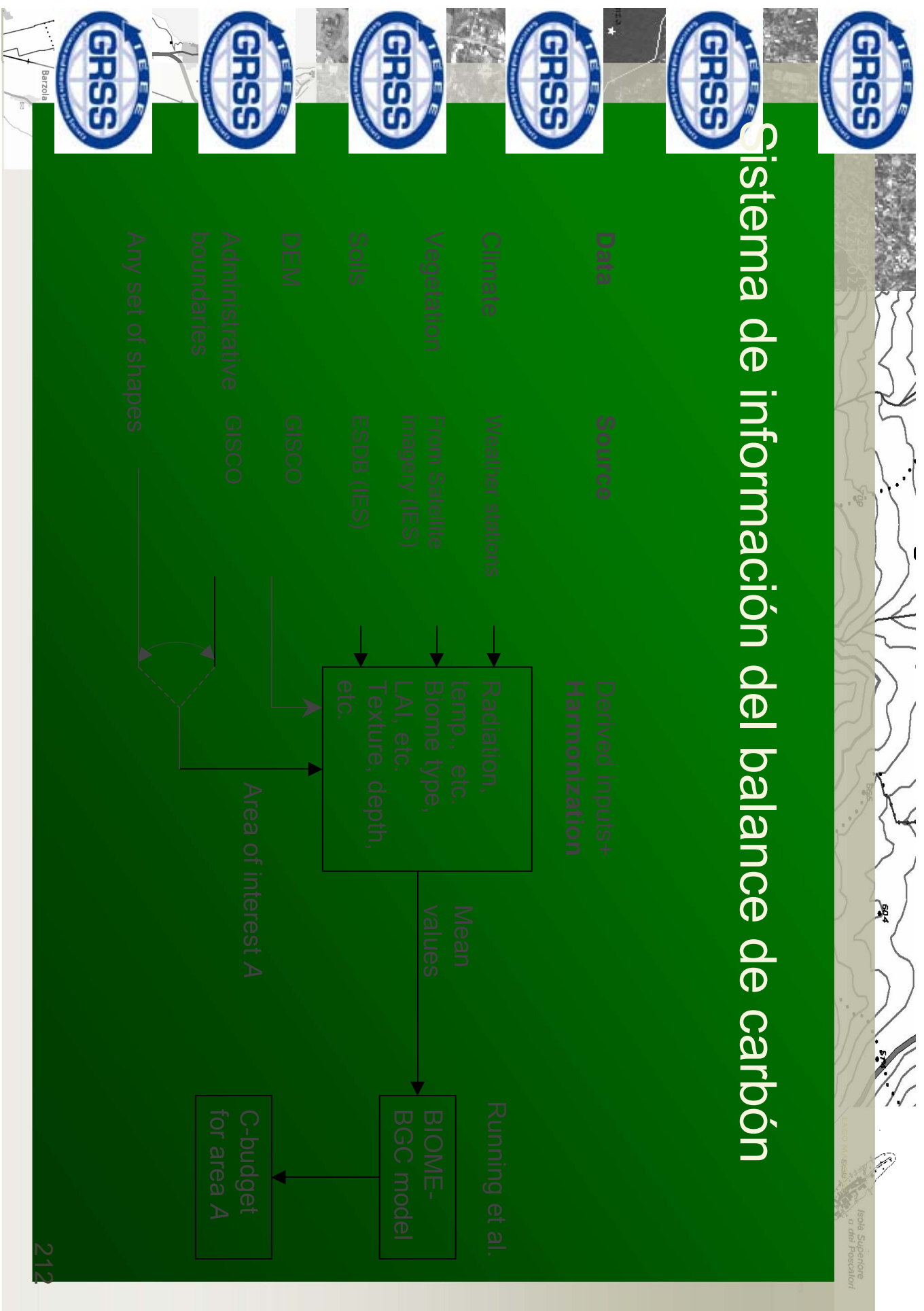


Modified after (Buchmann and Schulze, 1999. Net CO₂ and H₂O fluxes of terrestrial ecosystems. Global Biogeochemical Cycles, v. 13, n. 3, pp. 751-760)

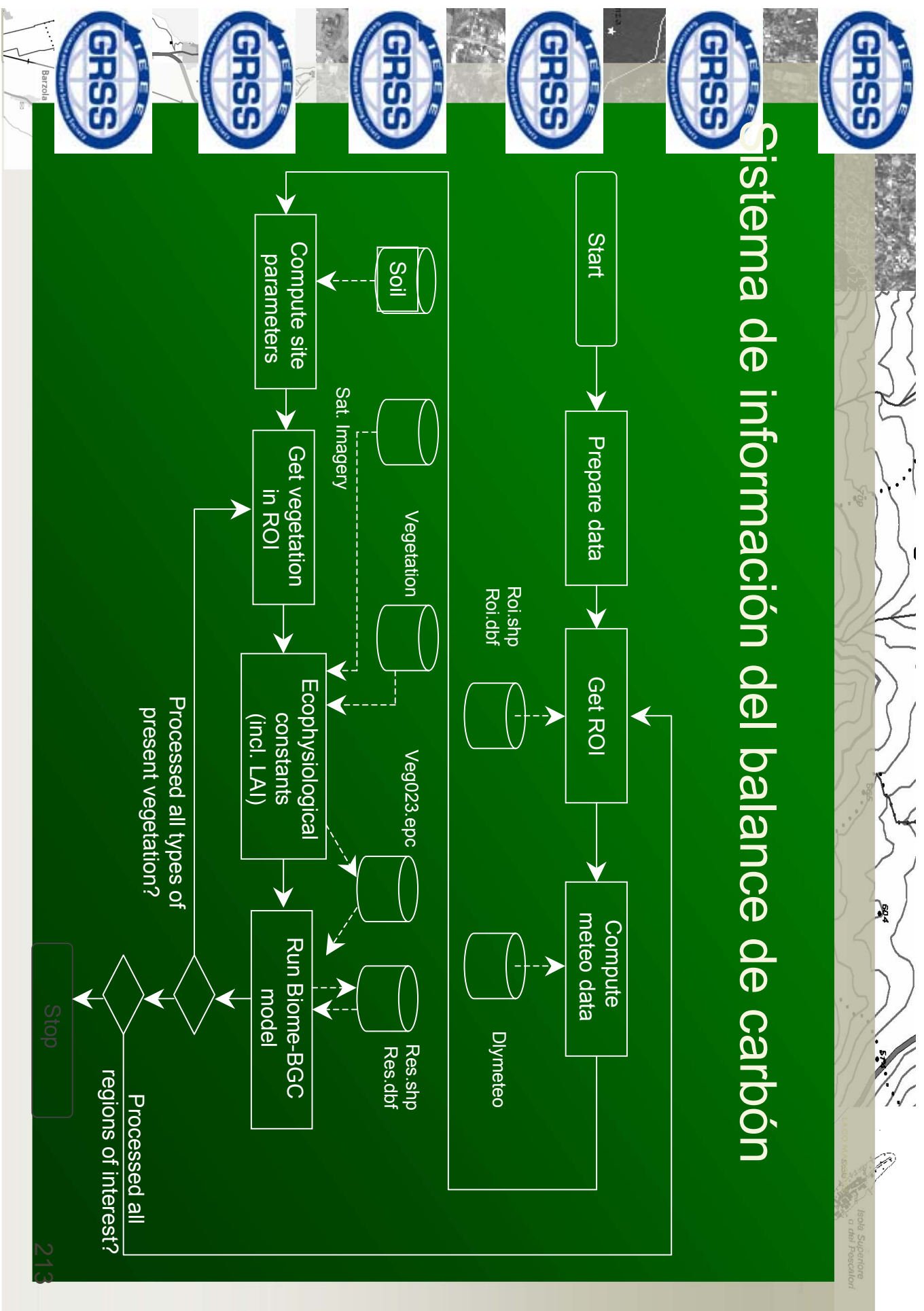
Sistema de información del balance de carbono



Sistema de información del balance de carbón



Sistema de información del balance de carbón



Sistema de información del balance de carbón

Harmonización de los datos

- Cobertura de vegetación: donde está qué
 - 12 grupos de especies (de los datos de R.Koeble)
 - Cada grupo con parámetros ecofisiológicos específicos (*datos de CANIF, ECOCRAFT, BOREAS PROJECTS*)
- Base de datos del suelo Pan-Europeo
- Modelo de elevación digital
- Datos meteorológicos

Sistema de información del balance de carbón

Ejemplo de parametrización ecofisiológica

unidades	descripción
(yday)	yearday to start new growth (when phenology flag = 0)
(yday)	yearday to end litterfall (when phenology flag = 0)
(prop.)	transfer growth period as fraction of growing season
(prop.)	litterfall as fraction of growing season
(1/yr)	annual leaf and fine root turnover fraction
(1/yr)	annual live wood turnover fraction
(1/yr)	annual whole-plant mortality fraction
(1/yr)	annual fire mortality fraction
(ratio)	(LOCATION) new fine root C : new leaf C
(ratio)	(LOCATION) new stem C : new leaf C
(ratio)	(LOCATION) new live wood C : new total wood C
(ratio)	(LOCATION) new croat C : new stem C
(prop.)	(LOCATION) current growth proportion (kgC/kgN)
	C:N of leaves

Sistema de información del balance de carbón

Validación



CARBOEUROPE cluster -
CARBODATA project

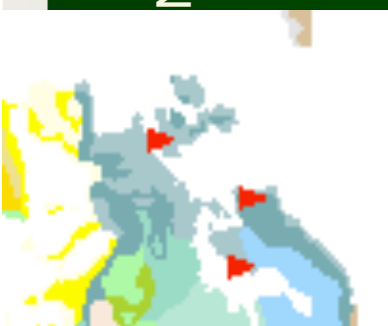
- Proyecto NIPHY/CANIF/FORECAST

⇒ datos NPP



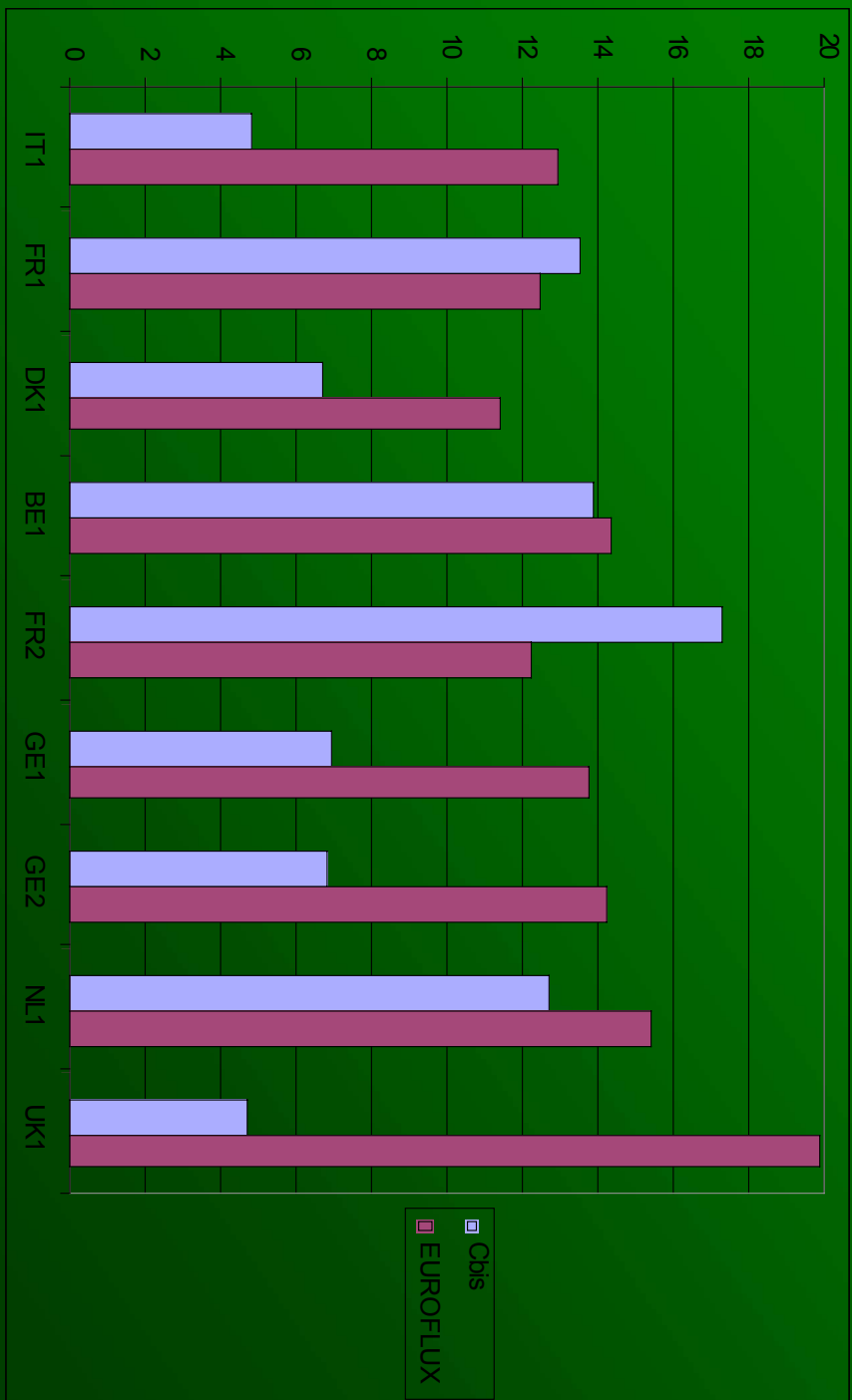
- EUROFLUX/MEDFLUX/CARBOEUROFLUX
⇒ datos GPP, NEP

- Oak Ridge National Laboratory (ORNL)
 - Base de datos de Net Primary Productivity (NPP) ⇒ datos N



Sistema de información del balance de carbón

Resultados



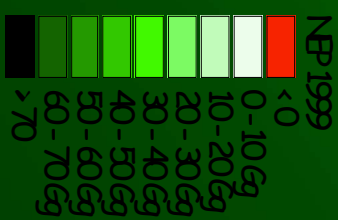
Sistema de información de Balance de carbón

Resultados

1999 Carbon sink estimate
for the EU5

NEP: Net Ecosystem Product

(c) 2000 JRC-SAI
Author: Paul Smits
Projection: Geographic
A JRC map



500
0
500
100 Kilometers

1999 Absolute NEP

(Gg) per meteo grid cell (50 x 50 km)

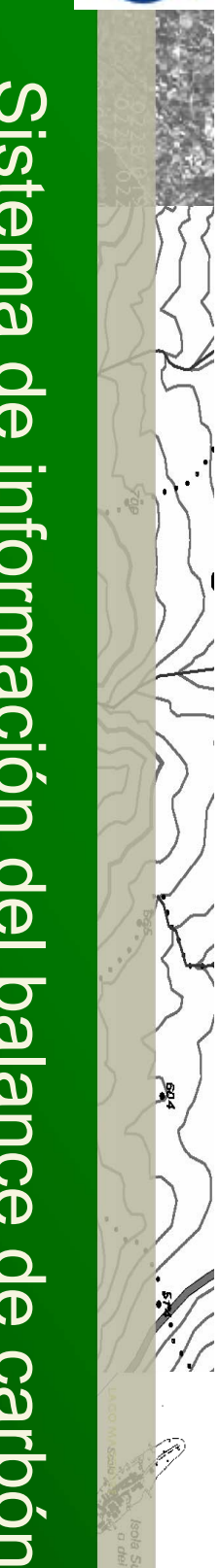


Sistema de información del balance de carbón

Resultados

	Informe nacional (IPCC)	BIOME-BGC estimación NPP
Austria	8.1	8.5
Belgium	1.9	1.9
Denmark	1.4	1.0
Finland	27.3	10.6
France	40.0	61.7
Germany	21.7	39.1
Ireland	1.9	1.0
Italy	9.9	16.5
Netherlands	1.0	1.0
Portugal	4.3	4.6
Spain	11.0	29.4
United Kingdom	4.2	7.1
EU12¹	132.7	182.4

¹ without Greece, Sweden and Luxembourg



Sistema de información del balance de carbón

Identificación de datos necesarios

■ Refinamiento de los datos disponibles

- Escala general (1:100,000) y mínima unidad de mapa (25 ha, escala de ecosistema)
- Parámetros ecofisiológicos de las especies
- Parámetros de suelo (Contenido de carbón, textura, profundidad de las zonas de raíces)
- Datos meteorológicos
- Mas entradas al modelo
 - Índices estadísticos de distorsiones (ej., índices de fuego)
 - Cambios en el uso de la tierra (ej., deforestación, reforestación)
 - Fenómenos vegetales (ej., estaciones de crecimiento)
- Datos para validar el modelo



Sistema de información del balance de carbón

Discusión

- Aproximación armonizada de la estimación del carbón escabado en EU15
- Permite incorporar fácilmente nuevos datos acerca de procesos bio-geo-químicos
- Prueba el concepto de dato simple
- Incertidumbre con los conjuntos de datos
 - La vegetación deriba de una base de datos
 - Los parámetros de textura y profundidad del suelo son aproximaciones
- Buen resultado:
 - Método consistente para ver el balance de carbón
 - Es posible comparar la contribución de diferentes regiones
 - Consistente a lo largo del tiempo

Índice parte 1

Introducción

- ¿Qué es la fusión de datos geoespaciales?
- Condiciones necesarias para la fusión de datos
- Bajo nivel de fusión de datos
- Nivel de fusión de características
- Nivel de decisión de fusión de datos
- Modelado

Conclusiones

Resumen y conclusiones

- En esta presentación
- La fusión de datos no es un método es un marco de trabajo
- La fusión debería estar basada en fundamentos físicos de teledetección
- Mantiene que el punto de partida es la calidad en relación con los objetivos y la aplicación del usuario

Resumen y conclusiones

- La tipología seguida en esta presentación:
 - Fusion de datos a bajo nivel
 - Nivel de características
 - Nivel de decisión
 - Modelado
- Fusión de datos a bajo nivel
- Debe existir correlación entre las dos imágenes a ser fusionadas

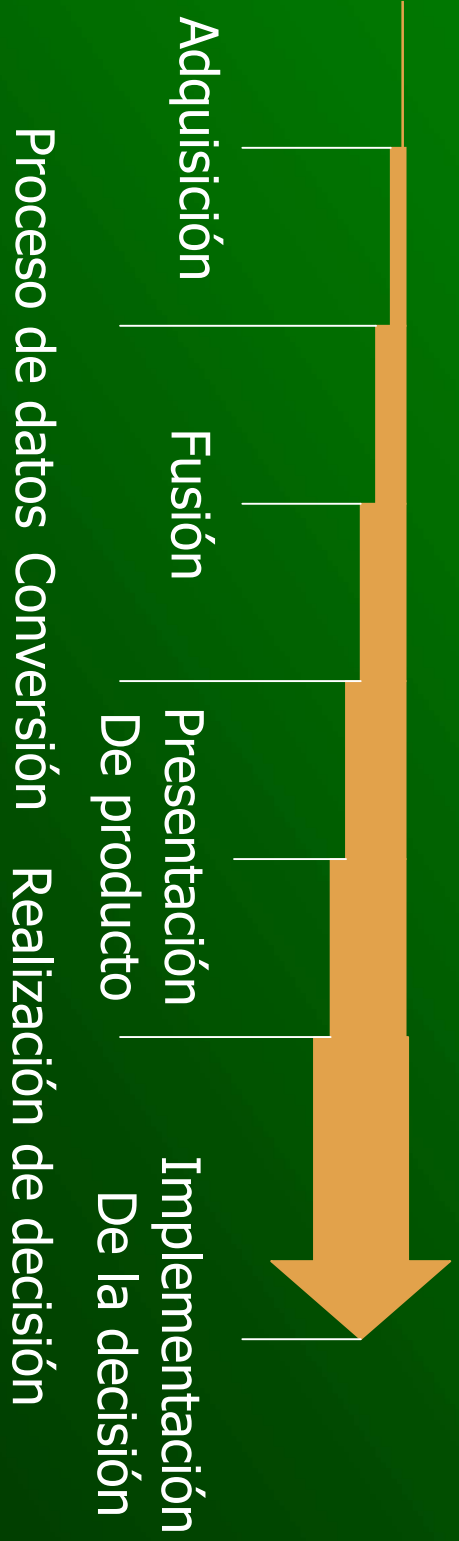
Resumen y conclusiones

- Nivel de características
 - El mejor camino para asignar clases a un vector de características esta relacionado con la teoría Bayesiana
- Nivel de decisión
 - Elegir el método depende de la información disponible; si no están disponibles las distribuciones a posteriori o sus estimas se considera DCS-LA

Resumen y conclusiones

- El problema de la fusión de datos geoespaciales [29]

Error total



Proceso de datos Conversión Realización de decisión

Resumen y conclusiones

- La ciencia se
- Más compleja
- Mas dependiente de los datos
- Multi-disciplinaria

■ Necesidad de desarrollar herramientas y técnicas que:

- Operen en multiples escalas
- Trabajem con datos con escalas no ideales
- Producir resultados que puedan ser agregados y desagregados eligiendo el proceso de decisión

Referencias

- [1] L. Wald, IEEE Trans. GRS 1999 vol. 37 pp. 1190-1193.
- [2] Hall & Llinas, Proc. IEEE, vol. 85, 1997, pp. 6-23
- [3] R.A. Schowengerdt, 1997. Remote sensing: models and methods for image processing. Academic Press. San Diego.
- [4] Lee, J.-S., 1980. "Digital image enhancement and noise filtering by use of local statistics". IEEE Trans. PAMI, vol. 2, pp. 165-168.
- [5] Wallis, R. 1976. "An approach to the space variant restoration and enhancement of images", In Proc. Symposium on Current Mathematical Problems in Image Science, Monterey, CA: Naval Post-graduate school.
- [6] IEEE Geoscience and Remote Sensing Society's Data Fusion Benchmark database. Online. <http://www.dfc-grss.org>.
- [7] D.A. Quattrochi, M.F. Goodchild, Scale in remote sensing and GIS, CRC Press 1997.

Referencias

- [8] Woods K., Kevin Bowyer, W.P. Kegelmeyer, "Combination of Multiple Classifiers Using Local Accuracy Estimates", IEEE Trans. PAMI, vol. 19, no. 4, April 1997, pp. 405-410.
- [9] D. Landgrebe, "Information extraction principles and methods for multispectral and hyperspectral image data," in: C.H. Chen (Ed.), information Processing for remote sensing. World Scientific: Singapore, 1999, p. 3-38.
- [10] J.A. Benediktsson and I. Kanellopoulos, 1999. "Classification of multisource and hyperspectral data based on decision fusion". IEEE Transactions on Geoscience and Remote Sensing, Vol. 37, No. 3, May 1999, pp. 1367-1377.
- [11] Huang, Y.S., and Suen, C.Y, 1995. A method of combining multiple experts for the recognition of unconstraint handwritten numerals. IEEE Trans. Pattern Anal. Machine Intell., 17 (1), 90-94.

Referencias

- [12] L. Xu, A. Kryzak, and C.Y. Suen, "Methods of combining multiple classifiers and their applications to handwriting recognition," IEEE Trans. Systems, Man, and Cybernetics, vol. 22, no. 3, pp. 418-435, May/June 1992.
- [13] Ho, T.K., Hull, J.J., Srihari, S.N., 1994. Decision combination in multiple classifier systems. IEEE Trans. Pattern Anal. Machine Intell. 16 (1), 66-75.
- [14] Oliver C. and S. Quegan 1998. "Understanding Synthetic Aperture Radar Images". SciTech Publishing .
- [15] P.C. Smits, Multiple Classifier System by dynamic classifier selection, submitted to IEEE Trans. Geoscience and Remote Sensing
- [16] R. Hall, Illumination and color in computer generated imagery, Springer-Verlag: New York, 1989
- [17] Craig, M.D. and A. A. Green (1987). "Registration of distorted images from airborne scanners." The Australian Computer Journal 19 (3): 148-153
- [18] Ton J. and A.K. Jain (1989). "Registering Landsat images by point matching." IEEE Trans. Geoscience and Remote Sensing 27 (5)

Referencias

- [19] Flusser J. and Suk (1994). "A moment-based approach to registration of images with affine geometric distortion." IEEE Trans. Geosc. Remote Sensing 32 (2): 382-387.
- [20] Li H., B.S. Manjunath, and S.K. Mitra (1995). "A contour-based approach to multisensor image registration." IEEE Trans. Image Processing 4 (3): 320-334.
- [21] <http://www.isotc211fgdp.info/igarss05/01071121.zip>
- [22] <http://www.isotc211fgdp.info/igarss05/01071122.zip>
- [23] W.H. Press, S.A. Teukolsky, W.T. Vetterling, and B.P. Flannery (1997). Numerical Recipes in C: The Art of Scientific Computing. Cambridge University Press. Online.
http://www.ulib.org/webRoot/Books/Numerical_Recipes/bookcpdf.html
- [24] Castleman L., 1996. Digital image processing. Englewood Cliffs, NJ: Pentice Hall.
- [25] T. Randen, "Filtering for texture classification: a comparative study". IEEE Trans. PAMI (21) 4: 291-310.

Referencias

- [26] J.N. Wilford, "Revolutions in mapping," National Geographic, vol. 193, no. 2, Feb. 1998, pp. 6-39.
- [27] C. Pohl, J.L. van Genderen, "Multisensor image fusion in remote sensing: concepts, methods, and applications," Int.J. Remote Sensing, 1998, vol. 19, no. 5, pp. 823-854.
- [28] R.H. Waring and S.W. Running, Forest Ecosystems: analysis at multiple scales. Academic Press: San Diego, CA, USA. 1998.
- [29] P.C. Smits, S.G. Dellepiane, and R. Schowengerdt, "Quality assessment of image classification algorithms for land-cover mapping: a review and a proposal for a cost-based approach," Int. Journal of Remote Sensing, 20 (8), May 1999, pp. 1461-1486.